

UNIVERSIDADE FEDERAL DO PARANÁ

FLÁVIA LANARO DE GRANDE

CONDIÇÕES DE CRISTALIZAÇÃO DE GRANITOIDES  
PALEOPROTEROZOICOS DA FOLHA RIO BACAJÁ, TERRENO BACAJÁ,  
PROVÍNCIA TRANSAMAZONAS

CURITIBA

2025

FLÁVIA LANARO DE GRANDE

CONDIÇÕES DE CRISTALIZAÇÃO DE GRANITOIDES  
PALEOPROTEROZOICOS DA FOLHA RIO BACAJÁ, TERRENO BACAJÁ,  
PROVÍNCIA TRANSAMAZONAS

Dissertação de mestrado apresentada ao  
Programa de Pós-Graduação em Geologia, Setor  
de Ciências da Terra, Universidade Federal do  
Paraná, como requisito parcial à obtenção do título  
de Mestre em Geologia.

Orientadora: Prof<sup>a</sup>. Dr<sup>a</sup>. Eleonora Maria Gouveia  
Vasconcellos

Coorientador: Prof. Dr. Carlos Eduardo de  
Mesquita Barros

CURITIBA

2025

DADOS INTERNACIONAIS DE CATALOGAÇÃO NA PUBLICAÇÃO (CIP)  
UNIVERSIDADE FEDERAL DO PARANÁ  
SISTEMA DE BIBLIOTECAS – BIBLIOTECA DE CIÉNCIA E TECNOLOGIA

Grande, Flávia Lanaro de

Condições de cristalização de granitoides paleoproterozoicos da folha Rio Bacajá, Terreno Bacajá, Província Transamazonas / Flávia Lanaro de Grande. – Curitiba, 2025.

1 recurso on-line : PDF.

Dissertação (Mestrado) - Universidade Federal do Paraná, Setor de Ciências da Terra, Programa de Pós-Graduação em Geologia.

Orientador: Eleonora Maria Gouvea Vasconcellos

Coorientador: Carlos Eduardo de Mesquita Barros

1. Granito. 2. Cristalização. 3. Hornblenda. 4. Geotermobarometria. 5. Paleoproterozoico. I. Universidade Federal do Paraná. II. Programa de Pós-Graduação em Geologia. III. Vasconcellos, Eleonora Maria Gouvea. IV. Barros, Carlos Eduardo de Mesquita. V. Título.

Bibliotecário: Elias Barbosa da Silva CRB-9/1894



MINISTÉRIO DA EDUCAÇÃO  
SETOR DE CIENCIAS DA TERRA  
UNIVERSIDADE FEDERAL DO PARANÁ  
PRÓ-REITORIA DE PÓS-GRADUAÇÃO  
PROGRAMA DE PÓS-GRADUAÇÃO GEOLOGIA -  
40001016028P5

## TERMO DE APROVAÇÃO

Os membros da Banca Examinadora designada pelo Colegiado do Programa de Pós-Graduação GEOLOGIA da Universidade Federal do Paraná foram convocados para realizar a arguição da dissertação de Mestrado de **FLÁVIA LANARO DE GRANDE**, intitulada: **CONDIÇÕES DE CRISTALIZAÇÃO DE GRANITOIDES PALEOPROTEROZOICOS DA FOLHA RIO BACAJÁ, TERRENO BACAJÁ, PROVÍNCIA TRANSAMAZONAS**, sob orientação da Profa. Dra. ELEONORA MARIA GOUVÉA VASCONCELLOS, que após terem inquirido a aluna e realizada a avaliação do trabalho, são de parecer pela sua APROVAÇÃO no rito de defesa.

A outorga do título de mestra está sujeita à homologação pelo colegiado, ao atendimento de todas as indicações e correções solicitadas pela banca e ao pleno atendimento das demandas regimentais do Programa de Pós-Graduação.

CURITIBA, 06 de Maio de 2025.

Assinatura Eletrônica  
07/05/2025 10:10:07.0  
ELEONORA MARIA GOUVÉA VASCONCELLOS  
Presidente da Banca Examinadora

Assinatura Eletrônica  
14/05/2025 14:31:17.0  
VALDECIR DE ASSIS JANASI  
Avaliador Externo (UNIVERSIDADE DE SÃO PAULO)

Assinatura Eletrônica  
07/05/2025 10:49:52.0  
CRISTINA VALLE PINTO-COELHO  
Avaliador Externo (UNIVERSIDADE FEDERAL DO PARANÁ)

## AGRADECIMENTOS

Este trabalho foi realizado a muitas mãos, com a colaboração de diversas pessoas e instituições. A elas gostaria de expressar meus agradecimentos.

Em primeiro lugar, agradeço à CPRM-UFPR-FUNPAR pela possibilidade de participar do Projeto Pronageo, que financiou meus procedimentos analíticos. Agradeço à CAPES por minha bolsa de pesquisa.

Aos meus orientadores, Prof<sup>a</sup>. Dr<sup>a</sup>. Eleonora Vasconcellos e Prof. Dr. Carlos Eduardo Barros, agradeço pela confiança, disposição e pelos infinitos ensinamentos ao longo de toda a graduação e pós-graduação. Obrigada pelo direcionamento e incentivo em momentos de dúvida, tanto acadêmicos quanto pessoais. Nossas conversas sempre reacendem meu amor e entusiasmo pela Geologia.

Aos professores Ricardo Silveira e Leonardo Lagoeiro, muito obrigada pelo apoio na solução de problemas. Agradeço especialmente à professora Cristina Pinto-Coelho pelo conhecimento compartilhado e pelas diversas conversas e conselhos. Obrigada por acreditar em mim.

Agradeço ao Laboratório de Microanálises do Instituto de Geociências da Universidade Federal do Pará (LAMICRO-IG-UFPA) e à geóloga Gisele Marques (UFPA) pelas análises de microssonda eletrônica. Obrigada ao Centro de Microscopia Eletrônica da Universidade Federal do Paraná (CME-UFPR), ao Instituto Laboratório de Análises de Minerais e Rochas (LAMIR-UFPR) e à equipe técnica pelas análises de MEV-EDS.

Sou grata à Universidade Federal do Paraná, aos programas de graduação e pós-graduação em Geologia. Agradeço ao corpo docente pelo conhecimento sólido adquirido durante os anos na universidade.

Aos amigos com quem tive o prazer de conviver na sala da pós, Robson, Angela, Gabriel, Paulo e Leonardo, muito obrigada pela parceria e apoio. Sua companhia foi um alento para o humor. Desejo a vocês todo o sucesso do mundo. Ao Robson, agradeço especialmente pelo amor, apoio, e compreensão durante este ciclo. Aos amigos Guilherme, Gabriela, Gabrielle e Lívia, com quem dividi os anos até nos tornarmos geólogos, obrigada pela força, incentivo e por sempre estarem por perto, mesmo longe.

Por fim, sou grata aos meus pais, Celia e Julio, e meus irmãos, Lívia e Gabriel, pelo apoio incondicional e por todas as oportunidades que recebi durante a vida. Obrigada por me emprestarem sua força, seu tempo, seus ouvidos e ombros sempre que precisei. Sem vocês essa caminhada não seria possível.

Muito obrigada a todos.

## RESUMO

O Terreno Bacajá corresponde à porção sul da Província Transamazonas, uma das seis províncias geocronológicas que compõem o Cráton Amazônico. Seu arcabouço geológico comprehende o embasamento neoarqueano, sequências supracrustais metassedimentares e rochas plutônicas paleoproterozoicas. A Folha Rio Bacajá se situa na porção norte do Terreno Bacajá e nela destacam-se os granitoides riacianos do Complexo Bacajaí e suítes intrusivas Arapari e João Jorge. Essas unidades comprehendem predominantemente monzogranitos e sienogranitos, e, subordinadamente álcali-feldspato granitos, quartzo álcali-feldspato sienitos, quartzo sienitos, granodioritos, quartzo monzodiorito, tonalitos e quartzo sienitos. A assembleia mineral dessas unidades é semelhante, sendo composta essencialmente por quartzo, microclínio e plagioclásio. Biotita, anfibólio, piroxênio, epidoto, titanita, allanita, apatita, zircão, muscovita, carbonato, sericita, magnetita e ilmenita ocorrem em concentrações modais menores. Além de características de deformação magmática são identificadas feições que sugerem deformação em estado sólido. Análises de química mineral foram feitas nos granitoides. O cálculo da fórmula estrutural de microclínio revela a predominância do componente ortoclásio em todas as unidades estudadas, sendo os maiores valores de sódio observados nas suítes João Jorge I e João Jorge II. Nas rochas do Complexo Bacajaí e Suíte Intrusiva Arapari há zoneamento composicional do plagioclásio, definido por núcleos compostos por oligoclásio e bordas compostas por andesina. O plagioclásio da Suíte João Jorge I é homogêneo e classificado como oligoclásio. Foram analisados cristais de biotita primários e primários reequilibrados. A biotita do Complexo Bacajaí é rica em ferro, composição observada também em algumas amostras da Suíte João Jorge I. Na Suíte Arapari há uma tendência partindo de composições ricas em magnésio em direção a cristais ricos em ferro. Dois monzogranitos da Suíte João Jorge I possuem biotita rica em magnésio, próxima à composição da flogopita. São cristais primários e primários reequilibrados. O anfibólio de todas as unidades é classificado como anfibólio cárlico. No Complexo Bacajaí predomina Fe-hornblenda enquanto nas suítes Arapari, João Jorge I e João Jorge II o anfibólio predominante é Mg-hornblenda. Em um quartzo monzodiorito da Suíte Arapari há Fe-tschermakita. A partir da composição da biotita e do anfibólio são estimadas condições de cristalização com fugacidade de oxigênio intermediária para o Complexo Bacajaí, e alta fugacidade de oxigênio para as demais unidades. A pressão de cristalização varia entre 4,5 a 7,4 kbar, com temperatura de 694 a 789°C para o Complexo Bacajaí, 3,0 a 6,0 kbar com temperatura de 599 a 851°C para a Suíte Arapari, e 2,9 a 5,0 kbar e temperatura de 709 a 868°C para a Suíte João Jorge I. A partir desses dados são estimadas profundidades finais de cristalização, respectivamente, entre 17 e 28 km, 11 e 23 km e 12 a 19 km para essas unidades. A presença de epidoto primário, allanita e titanita primária em todas as unidades sugere origem profunda para os magmas, acima de 10 kbar, sob condições oxidantes, seguida por ascensão rápida e colocação crustal rasa a intermediária. A partir da composição da biotita todas as unidades são associadas à série da magnetita, apesar dos baixos valores de susceptibilidade magnética. O Complexo Bacajaí possui afinidade com as séries magmáticas cálcio-alcalina e peraluminosa, posicionando-se próximo à série ferropotássica. Para essa unidade, é possível sugerir um ambiente de formação em arco magmático, com possível contribuição de fontes crustais. A Suíte Arapari pertence à série cálcio-alcalina, possivelmente associada a um arco magmático, com fontes profundas, evidenciadas pela composição magnesiana de biotita e anfibólio. As

rochas da Suíte João Jorge I definem dois grupos distintos, um pertencente à série cálcio-alcalina e outro associado às séries ferro-potássica e peralcalina. Essas composições sugerem fontes bimodais para os magmas dessa unidade em contexto sin a tardi-tectônico. A proximidade de corpos da Suíte Intrusiva João Jorge II com zonas de cisalhamento transcorrente sugere que a ascensão desses magmas teria sido controlada por estruturas subverticais profundas.

Palavras-chave: Faciologia de granitos; hornblenda; geotermobarometria; Paleoproterozoico; Terreno Bacajá.

## ABSTRACT

The Bacajá Terrane represents the southern portion of the Transamazon Province, one of the six geochronological provinces that make up the Amazon Craton. Its geological framework includes neoarchean basement rocks, metasedimentary supracrustal sequences, and paleoproterozoic plutonic rocks. The Rio Bacajá Sheet is located in the northern portion of the Bacajá Terrane, where the Riacian granitoids of the Bacajaí Complex and the Arapari and João Jorge intrusive suites are prominent. These units predominantly consist of monzogranites and syenogranites, with subordinate occurrences of alkali-feldspar granites, alkali-feldspar quartz syenites, quartz syenites, granodiorites, quartz monzodiorites, tonalites, and quartz syenites. The mineralogy of these units is similar, mainly composed of quartz, microcline, and plagioclase. Biotite, amphibole, pyroxene, epidote, titanite, allanite, apatite, zircon, muscovite, carbonate, sericite, magnetite, and ilmenite occur in smaller modal concentrations. In addition to features of magmatic deformation, solid-state deformation features are also identified. Mineral chemistry analyses were conducted on the granitoids. The calculation of the microcline structural formula reveals the predominance of orthoclase in all studied units, with the highest sodium contents observed in the João Jorge I and João Jorge II suites. In the rocks of the Bacajaí Complex and Arapari Intrusive Suite, plagioclase compositional zoning is observed, with cores composed of oligoclase and edges composed of andesine. The plagioclase in the João Jorge I Suite is homogeneous and classified as oligoclase. Primary and re-equilibrated primary biotite crystals were analyzed. The biotite in the Bacajaí Complex is iron-rich, a composition also observed in some samples from the João Jorge I Suite. In the Arapari Suite, there is a trend from magnesium-rich compositions towards iron-rich crystals. Two monzogranites from the João Jorge I Suite contain magnesium-rich biotite, close to the composition of phlogopite. These are primary and re-equilibrated primary crystals. The amphibole in all units is classified as calcic amphibole. In the Bacajaí Complex, Fe-hornblende predominates, while in the Arapari, João Jorge I, and João Jorge II suites, the amphibole is predominantly Mg-hornblende. In a quartz monzodiorite from the Arapari Suite, Fe-tschermarkite is present. Based on the composition of biotite and amphibole, crystallization conditions are estimated with intermediate oxygen fugacity for the Bacajaí Complex, and high oxygen fugacity for the other units. Crystallization pressure ranges from 4.5 to 7.4 kbar, with temperatures from 694 to 789°C for the Bacajaí Complex, 3.0 to 6.0 kbar with temperatures from 599 to 851°C for the Arapari Suite, and 2.9 to 5.0 kbar with temperatures from 709 to 868°C for the João Jorge I Suite. Based on these data, final crystallization depths are estimated to range between 17 and 28 km, 11 and 23 km, and 12 to 19 km for these units. The presence of primary epidote, allanite, and primary titanite in all units suggests a deep origin for the magmas of the studied units, above 10 kbar, under oxidizing conditions, followed by rapid ascent and relatively shallow crustal emplacement. Based on the composition of biotite, all units were associated with the magnetite series, despite low magnetic susceptibility values. The Bacajaí Complex shows affinity with the calc alkaline and peraluminous magmatic series, positioning close to the iron-potassic series. For this unit, a magmatic arc formation environment can be suggested, with possible contributions from crustal sources. The Arapari Suite is related to the calc alkaline series, possibly associated with a magmatic arc, with deep sources, as evidenced by the

magnesium-rich composition of biotite and amphibole. The rocks of the João Jorge I Suite exhibit two distinct groups, one associated with the calcium-alkaline series and the other with the iron-potassic and peralkaline series. These compositions suggest bimodal sources for the magmas of this unit in a syn- to late-tectonic context. The proximity of bodies from the João Jorge II Intrusive Suite to strike-slip shear zones suggests that the ascent of these magmas was controlled by deep subvertical structures.

Keywords: Granite faciology; hornblende; geothermobarometry; Paleoproterozoic; Bacajá terrain.

## LISTA DE FIGURAS

Figura 1 - Figura de localização da área de estudo. Fonte: Besser & Barros (2016).	17
Figura 2 – Cráton Amazônico e sua subdivisão em províncias geocronológicas. Fonte: Santos <i>et al.</i> 2006.....	19
Figura 3 - Mapa geológico simplificado com pontos de amostragem. Fonte: Adaptado de Besser & Barros (2015).....	25
Figura 4 – Fotomicrografias de feições de deformação em quartzo em granitoides da Folha Rio Bacajá, polarizadores cruzados. (A) Cristais de quartzo estirados em um monzogranito (FB-133) do CB; (B) e (C) possuem contatos serrilhados (seta) em agregados de subgrãos de quartzo em um monzogranito (FB-14) do CB e um granodiorito (FB-146) da SIA; (D) quartzo estirado em um monzogranito (FB-13) da SIJJ I.....	37
Figura 5 – Fotomicrografias de microclínio de granitoides da Folha Rio Bacajá, polarizadores cruzados. (A) Cristal de microclínio com pertitas em chama (porção superior) e geminação em grade bem desenvolvida (porção inferior) em monzogranito (FB-15) da SIA; (B) cristal de microclínio com pertitas em chama e venulares em granodiorito (FB-146) da SIA; (C) geminação em grade bem desenvolvida (porção superior) e pertitas em chama e venulares (porção inferior) em monzogranito (FB-13) da SIJJ I; (D) pertitas em chama bem desenvolvidas no monzogranito FB-13 (SIJJ I); (E) cristal de microclínio de granulação grossa com pertitas em chama e venulares e geminação em grade pouco desenvolvida em monzogranito (FB-44) da SIJJ I; (F) microclínio com pertitas em chama em quartzo álcali-feldspato sienito da SIJJ II.....	38
Figura 6 – Fotomicrografias de plagioclásio de granitoides da Folha Rio Bacajá, polarizadores cruzados. (A) Mirmequita bem desenvolvida em plagioclásio em contato com feldspato alcalino em monzogranito (FB-85) da SIA; (B) mirmequita bem desenvolvida em um monzogranito (FB-44) da SIJJ I; (C) e (D) são fotomicrografias de mirmequitas (seta) em sienogranito (FB-147) da SIJJ I. ....	40

- Figura 7 – Fotomicrografias de agregados maficos em granitoides da Folha Rio Bacajá. (A) e (B) Agregado orientado de anfibólio subédrico, biotita, epidoto e titanita em granodiorito (FB-146) da SIA; (C) e (D) agregado de cristais de biotita, anfibólio, apatita e magnetita em um monzogranito (FB-131) da SIJJ I; (E) e (F) agregado de anfibólio, titanita euédrica, zircão e magnetita subédrica em quartzo álcalfeldspato sienito (FB-39) da SIJJ II. As imagens (B), (D) e (F) estão com polarizadores cruzados..... 41
- Figura 8 – (A) e (B) Núcleo de clinopiroxênio com bordas intensamente uralitizadas em meio a allanita, titanita alterada para magnetita e feldspato alcalino, em um quartzo álcalfeldspato sienito (FB-39) da SIJJ II. (A) em P//; (B) em PX..... 42
- Figura 9 – (A) e (B) cristal de allanita metamítico envolto por epidoto primário em meio a quartzo e feldspato alcalino em um monzogranito (FB-133) do CB; (C) e (D) agregado mafico composto por biotita anédrica, allanita subédrica com borda de epidoto primário, titanita anédrica e apatita em quartzo monzodiorito (FB-123) da SIA; (E) e (F) epidoto primário subédrico em contato com cristal de biotita em monzogranito (FB-44) da SIJJ I; (G) e (H) cristais de titanita alterada para limonita junto a anfibólio, zircão zonado, magnetita e feldspato alcalino em quartzo álcalfeldspato sienito (FB-39) da SIJJ II. As imagens (B), (D), (F) e (H) estão com os polarizadores cruzados..... 45
- Figura 10 – Imagens obtidas com detector de elétrons retroespelhados de fases opacas de granitoides da Folha Rio Bacajá. Estrelas representam pontos analisados por EDS. (A) Ilmenita em monzogranito (FB-15) da SIA; (B) cristais de magnetita (porção superior) e ilmenita (porção inferior) em monzogranito (FB-131) da SIJJ I (C) núcleo de pirita com bordas de magnetita em monzogranito (FB-44) da SIJJ I; (D) magnetita com inclusão de apatita (espectro 63) em quartzo álcalfeldspato sienito da SIJJ II..... 46
- Figura 11 – Imagens em elétrons retroespelhados de cristais de feldspatos de granitoides da Folha Rio Bacajá analisados por microssonda eletrônica. Estrelas representam pontos analisados. (A) e (B) representam cristais de microclínio pertítico do granodiorito (FB-146)

da SIA e do monzogranito (FB-131) do CB, respectivamente; (C) microclínio pertítico com zoneamento concêntrico em quartzo álcalfeldspato sienito (FB-20) da SIJJ II; (D), (E) e (F) representam cristais de plagioclásio dos monzogranitos FB-150 do CB, FB-15 da SIA e FB-44 da SIJJ I, respectivamente.....	48
Figura 12 – Diagrama Ab-Or-An para cristais de feldspato alcalino e plagioclásio: (A) Complexo Bacajaí; (B) Suíte Intrusiva Arapari; (C) Suíte Intrusiva João Jorge I; (D) Suíte Intrusiva João Jorge II. Fonte: Deer <i>et al.</i> (1992). .	49
Figura 13 - Imagens de elétrons retroespelhados de cristais de biotita de granitoides da Folha Rio Bacajá analisados por microssonda eletrônica. Estrelas representam pontos analisados. (A), (B), (C) e (D) representam cristais de biotita subédrica dos monzogranitos FB-14 (CB), FB-15 (SIA), FB-13 (SIJJ I) e do sienogranito FB-47 (SIJJ I), respectivamente.....	50
Figura 14 – Diagrama de classificação de biotita do Complexo Bacajaí, Suíte Intrusiva Arapari e Suíte Intrusiva João Jorge I. Fonte: Deer <i>et al.</i> (1992). .	51
Figura 15 – Diagrama $\text{FeO}_{(\text{t})} + \text{MnO} - 10\text{TiO}_2 - \text{MgO}$ para a classificação de biotita do Complexo Bacajaí, Suíte Intrusiva Arapari e Suíte Intrusiva João Jorge I. Fonte: Nachit <i>et al.</i> (2005). .	52
Figura 16 – Imagens em elétrons retroespelhados de cristais de anfibólio de granitoides da Folha Rio Bacajá analisados por microssonda eletrônica. Estrelas representam pontos amostrados. (A), (B), (C) e (D) representam cristais de Mg-hornblenda nos monzogranitos FB-150 (CB), FB-85 (SIA), FB-131 (CB) e no quartzo álcalfeldspato sienito FB-20 da SIJJ II, respectivamente. .	53
Figura 17 – Diagrama $\text{Mg}/(\text{Mg}+\text{Fe}^{2+})$ vs Si para a composição de anfibólio do Complexo Bacajaí e suítes intrusivas Arapari, João Jorge I e João Jorge II. Fonte: Leake <i>et al.</i> (1997). .	54
Figura 18 – Intervalos de pressão de cristalização para os monzogranitos FB-150 (CB) e FB-85 (SIA), quartzo monzodiorito FB-123 (SIA), granodiorito FB-146 (SIA) e monzogranito FB-131 (SIJJ I), estimados a partir dos trabalhos de: (1) Hollister <i>et al.</i> (1987); (2) Johnson & Rutherford (1989); (3) Schmidt (1992) e (4) Mutch <i>et al.</i> (2016). .	56

Figura 19 - Intervalos de temperatura de cristalização para o monzogranito FB-150 (CB), monzogranito FB-85 (SIA), quartzo monzodiorito FB-123 (SIA), granodiorito FB-146 (SIA), monzogranito FB-131 (SIJJ I) e dois quartzo álcali-feldspato sienitos (FB-20 e FB-30) da SIJJ II estimados a partir dos trabalhos de: (1) Blundy & Holland (1990); (2) Holland & Blundy (1994) – equação 1 (edenita + 4 quartzo = tremolita + albita); (3) Holland & Blundy (1994) – equação 2 (edenita + albita = richterita + anortita); (4) Ridolfi *et al.* (2010) e (5) Putirka (2016). Foram obtidos valores inadequados para o monzogranito FB-150 utilizando a calibração (5), para o quartzo monzodiorito FB-123 com a calibração (4), e para os quartzo álcali-feldspato sienitos FB-20 e FB-39 através das calibrações (1), (2) e (3) ..... 61

Figura 20 – Diagramas de  $fO_2$  para análises de cristais de anfibólio do CB, SIA, SIJJ I e SIJJ II: A) diagrama  $Al^{IV}$  vs  $Fe/(Fe+Mg)$  indicando que as rochas FB-150 (CB) e FB-123 (SIA) se formaram sob condições de intermediária fugacidade de oxigênio, enquanto as demais rochas analisadas se formaram em condições de alta  $fO_2$  ou muito próximas a este limite; B) diagrama  $T(^{\circ}C)$  vs  $\log fO_2$  a partir do qual se constata que, com exceção das rochas FB-150 e FB-123, formadas entre os buffers NNO e FMQ, todas as rochas se formaram em condições relativamente oxidantes, entre os buffers NNO e HM. HM: buffer hematita-magnetita (Chou 1978); NNO: buffer níquel-óxido de níquel (Huebner & Sato 1970); FMQ: buffer fayalita-magnetita-quartzo (Huebner 1971). Fonte: Anderson & Smith (1995)..... 66

Figura 21 – Diagramas discriminantes para biotita do CB, SIA e SIJJ I: (A) diagrama  $MgO-FeO-Al_2O_3$  indicando afinidade da biotita com granitoides das séries cálcio-alcalina (CA) e ferro-potássica (Fe-K); (B) e (C) são diagramas  $FeO^*-MgO-Al_2O_3$  e  $MgO$  vs  $Al_2O_3$  que representam a afinidade das amostras com os campos dos granitos cálcio-alcalinos e granitos peraluminosos; (D) diagrama  $Al_{TOTAL}$  vs  $Fe/(Fe+Mg)$  indicando que todas as amostras são da série à magnetita. As rochas cuja biotita possui maiores quantidades de Mg plotam-se nos campos cálcio-alcalinos nos diagramas (A), (B) e (C), enquanto as rochas com biotita enriquecida em Fe possuem afinidade com as séries Fe-K e

peraluminosa. No diagrama (D) é observada uma tendência para a série à ilmenita conforme ocorre o aumento de Fe da biotita, indicando diminuição da fugacidade de oxigênio. Fonte: (A) Rossi & Chevremont (1987); (B-C) Abdel-Rahman (1994); (D) Anderson *et al.* (2008). .... 68

## **LISTA DE QUADROS**

Quadro 1 – Quantidade de lâminas petrográficas de cada unidade geológica. CB: Complexo Bacajaí; SIA: Suíte Intrusiva Arapari; SIJJ I: Suíte Intrusiva João Jorge I; SIJJ II: Suíte Intrusiva João Jorge II. ....	25
Quadro 2 - Condições de operação do MEV-EDS. Fonte: CME-UFPR (2024). ....	26
Quadro 3 - Condições de operação do MEV-EDS. Fonte: CME-UFPR (2024). ....	34
Quadro 4 - Lâminas petrográficas selecionadas para análises de MEV-EDS. ....	45

## LISTA DE TABELAS

Tabela 1 – Relação das amostras utilizadas para análises com microssonda eletrônica.....	27
Tabela 2 - Estimativas geobarométricas para rochas do Complexo Bacajaí e suítes intrusivas Arapari e João Jorge I a partir das calibrações de Hollister <i>et al.</i> (1987), Johnson & Rutherford (1989), Schmidt (1992) e Mutch <i>et al.</i> (2016). *C1 e *C2 correspondem aos cristais utilizados para o cálculo geobarométrico.....	55
Tabela 3 – Estimativas de profundidade de cristalização para rochas do Complexo Bacajaí e suítes intrusivas Arapari e João Jorge I a partir das calibrações de Hollister <i>et al.</i> (1987), Johnson & Rutherford (1989), Schmidt (1992) e Mutch <i>et al.</i> (2016). *C1 e *C2 correspondem aos cristais utilizados para o cálculo geobarométrico .....	57
Tabela 4 - Estimativas geotermométricas para as rochas do Complexo Bacajaí e suítes intrusivas Arapari, João Jorge I e João Jorge II. *C(b), *C(i) e *C(c) se referem a análises pontuais realizadas nas bordas, porções intermediárias e centro dos cristais de anfibólio, respectivamente. *HB 1 se refere à reação de calibração termométrica de Holland & Blundy (1994) edenita + 4 quartzo = tremolita + albita; *HB 2 se refere à reação de calibração termométrica de Holland & Blundy (1994) edenita + albita = richterita + anortita. ....	58
Tabela 5 - Valores de susceptibilidade magnética (SM), desvio padrão (DP) e proporção entre minerais opacos, máficos e félsicos. M1*, M2*, M3*: medidas 1, 2 e 3. Litotipo*: 1 – monzogranito, 2 – sienogranito, 3 – álcali-feldspato granito, 4 – tonalito, 5 – quartzo monzodiorito, 6 – granodiorito, 7 – quartzo álcali-feldspato sienito, 8 – quartzo sienito.	62

## **LISTA DE ABREVIATURAS E SIGLAS**

CB	Complexo Bacajaí
eV	Elétron-volt
FB	Afloramentos descritos na área da Folha Rio Bacajá por Carlos Eduardo de Mesquita Barros e Marcell Leonard Besser
kV	Quilovolt
kbar	Quilobar
mm	Milímetros
nm	Nanômetros
SI	Sistema Internacional
SIA	Suíte Intrusiva Arapari
SIJJ I	Suíte Intrusiva João Jorge I
SIJJ II	Suíte Intrusiva João Jorge II

## SUMÁRIO

<b>1 INTRODUÇÃO E JUSTIFICATIVA .....</b>	<b>16</b>
1.1 OBJETIVOS .....	16
1.2 LOCALIZAÇÃO E ACESSO .....	16
1.3 ORGANIZAÇÃO DA DISSERTAÇÃO.....	18
<b>2 GEOLOGIA REGIONAL .....</b>	<b>18</b>
2.1 EMBASAMENTO.....	19
2.2 GRUPO TRÊS PALMEIRAS .....	20
2.3 COMPLEXO BACAJÁI .....	21
2.4 SUÍTES GRANÍTICAS INTRUSIVAS.....	22
<b>3 MATERIAIS E MÉTODOS .....</b>	<b>24</b>
3.1 ANÁLISE PETROGRÁFICA .....	24
3.2 MICROSCOPIA ELETRÔNICA DE VARREDURA – MEV.....	26
3.3 MICROSSONDA ELETRÔNICA – ME .....	26
3.3.1 Química mineral .....	28
3.3.1.1 Geotermobarometria .....	29
3.4 SUSCEPTIBILIDADE MAGNÉTICA - SM.....	30
<b>4 RESULTADOS .....</b>	<b>30</b>
<b>5 CONSIDERAÇÕES FINAIS .....</b>	<b>78</b>
<b>REFERÊNCIAS.....</b>	<b>80</b>
<b>APÊNDICE 1 .....</b>	<b>86</b>
<b>APÊNDICE 2 .....</b>	<b>89</b>
<b>APÊNDICE 3 .....</b>	<b>91</b>

## 1 INTRODUÇÃO E JUSTIFICATIVA

O Terreno Bacajá se situa na porção sul da Província Transamazonas, no estado do Pará, e seu arcabouço geológico é composto por ortognaisses de idade arqueana metamorfizados em fácies xisto verde a anfibolito, rochas supracrustais e metassedimentares e rochas plutônicas paleoproterozoicas (Vasquez *et al.* 2008, Besser 2012, Barros *et al.* 2023). Na Folha Rio Bacajá destacam-se as unidades paleoproterozoicas: Complexo Bacajaí (CB) e as suítes intrusivas Arapari (SIA), João Jorge I (SIJJ I) e João Jorge II (SIJJ II). Estas unidades são compostas por granitoides de idade riaciana associados a fases colisionais e acrecionárias de um orógeno. O estudo das condições de pressão, temperatura e fugacidade de oxigênio, atuantes durante o processo de cristalização dos magmas geradores dos granitoides riacionas por meio de análises petrográficas, de química mineral, por microssonda eletrônica, de susceptibilidade magnética e da aplicação de geotermobarômetros possui potencial para elucidar as condições de cristalização dos respectivos magmas e o contexto geotectônico no âmbito do Terreno Bacajá.

### 1.1 OBJETIVOS

Este trabalho teve como principal objetivo estimar as condições de pressão, temperatura e oxidação durante a cristalização dos magmas do Complexo Bacajaí e das suítes intrusivas Arapari, João Jorge I e João Jorge II, descritos na folha Rio Bacajá (1:100.000). Pretendeu-se contribuir para o entendimento da origem dos magmas e o respectivo ambiente tectônico.

Foram definidos os seguintes objetivos específicos para esta pesquisa:

1. Caracterização petrográfica e petrológica dos granitoides do Complexo Bacajaí, Suíte Intrusiva Arapari, Suíte Intrusiva João Jorge I e João Jorge II;
2. Caracterização da química mineral de feldspatos, anfibólio e biotita dessas rochas.

### 1.2 LOCALIZAÇÃO E ACESSO

O Terreno Bacajá está situado na porção sul da Província Transamazonas e é delimitado a sul pelo núcleo arqueano pertencente à Província Carajás, a oeste

pela Província Amazônia Central, a leste pelo Cinturão Araguaia e a norte pela Bacia Sedimentar do Amazonas (Vasquez & Rosa-Costa 2008). A Folha Rio Bacajá se localiza entre os rios Xingu e Tocantins, a sul da BR-230 (rodovia Transamazônica), e abrange porções dos municípios de Anapu, Pacajá e Senador José Porfírio (Figura 1). O acesso à área é feito por estradas não pavimentadas vicinais à rodovia Transamazônica.

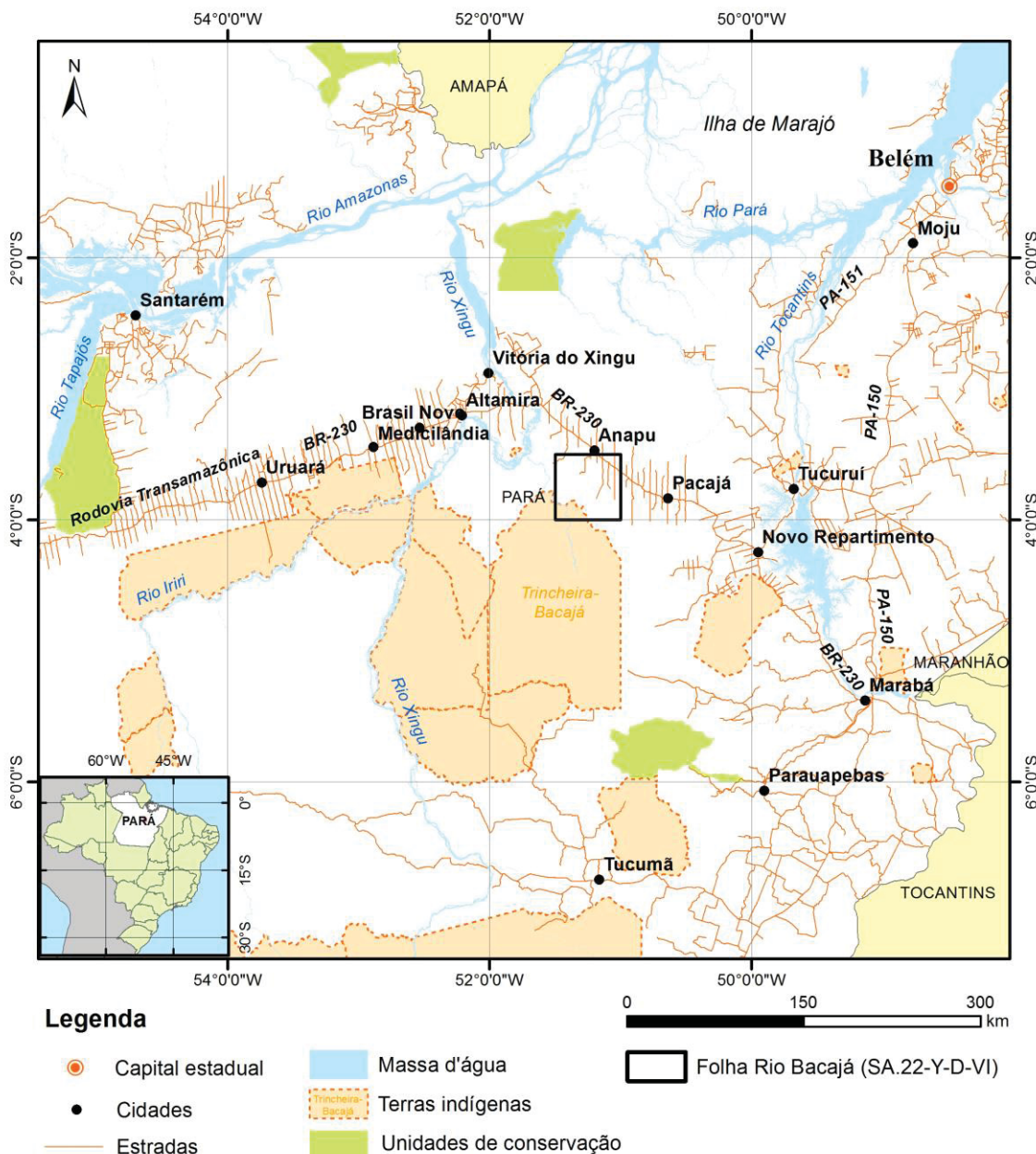


Figura 1 - Figura de localização da área de estudo. Fonte: Besser & Barros (2016).

### 1.3 ORGANIZAÇÃO DA DISSERTAÇÃO

Este trabalho foi organizado em cinco capítulos. No Capítulo 1 foram introduzidos o tema, a justificativa, os objetivos gerais e específicos desta dissertação e a localização da área de estudo. No Capítulo 2 foi feita a contextualização geológica da Folha Rio Bacajá, com ênfase na caracterização das unidades intrusivas na área de estudo. O Capítulo 3 trata dos materiais e métodos utilizados para o desenvolvimento desta pesquisa. O Capítulo 4 compreende o artigo científico correspondente aos resultados dessa pesquisa, intitulado “Química mineral de granitoides paleoproterozoicos da Folha Rio Bacajá, Terreno Bacajá, Província Transamazonas”. Este capítulo será traduzido para o inglês e formatado segundo as normas da revista *Brazilian Journal of Geology*, para a qual será submetido. No Capítulo 5 estão contidas as considerações finais e as referências utilizadas.

## 2 GEOLOGIA REGIONAL

A Província Transamazonas (Santos *et al.* 2000) ou Província Maroni-Itacaiúnas (Tassinari & Macambira 1999) corresponde a uma das seis províncias geocronológicas que compõem o Cráton Amazônico (Figura 2) e recebe esse nome pois sua evolução ocorreu durante o evento orogênico do Ciclo Transamazônico, entre os períodos Riaciano e Orosiriano (2,2 a 1,9 Ga). A orogenia do Ciclo Transamazônico foi responsável por retrabalhar terrenos preexistentes neoarqueanos e siderianos e por gerar novas rochas e faixas móveis ao redor do núcleo arqueano da Província Carajás (Tassinari & Macambira 1999, Santos *et al.* 2000).

O Terreno Bacajá se localiza na região sul da Província Transamazonas, a norte da Província Carajás. Nele são encontradas as únicas rochas de idades arqueanas de toda a província e sua formação está intimamente ligada com a formação da província Carajás. O Terreno Bacajá é composto por um conjunto de corpos plutônicos paleoproterozoicos, rochas supracrustais, rochas metassedimentares e *inliers* de rochas arqueanas, metamorfisadas em fácies xisto verde a anfibolito (Vasquez *et al.* 2008; Besser 2012). Segundo Faraco *et al.* (2005), as unidades do terreno estão estruturadas segundo NW-SE e WNW-ESSE, em concordância com as feições estruturais observadas na região.

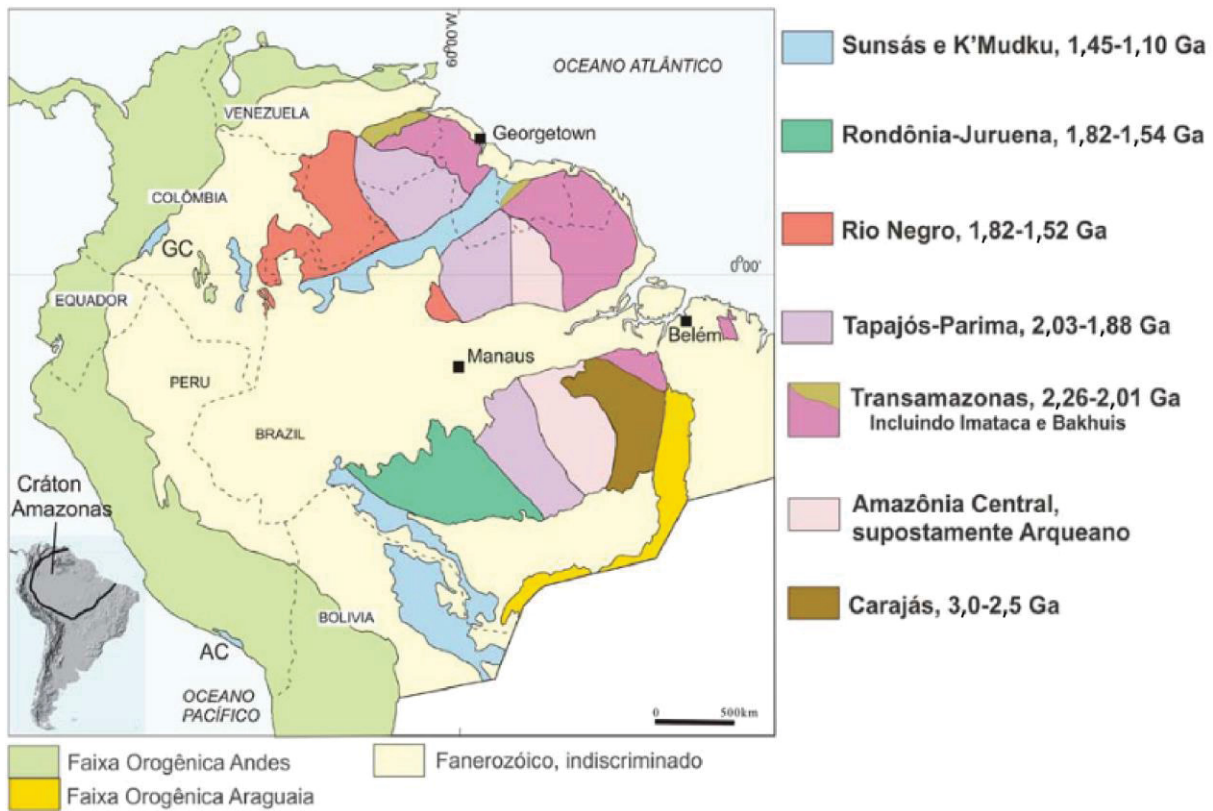


Figura 2 – Cráton Amazônico e sua subdivisão em províncias geocronológicas. Fonte: Santos *et al.* 2006.

## 2.1 EMBASAMENTO

Na porção oeste do Terreno Bacajá o embasamento consiste em gnaisses de origem ígnea e sedimentar, ortogranulitos e migmatitos. As principais ocorrências de ortognaisses são encontradas nas áreas de Uruará, Maribel e Manelão e são representados por ortognaisses metaluminosos com *boudins* de anfibolito e estruturas migmatíticas localizadas (Vasquez *et al.* 2008). Os ortognaisses são formados por metatonalitos e metagranodioritos com biotita e hornblenda, e metamonzogramitos e metaquartzo dioritos subordinados, com texturas poligonais e porfioclásticas (Vasquez *et al.* 2008). Por meio de suas feições texturais é possível inferir que essas rochas foram metamorfisadas sob condições de fácies anfibolito médio (Vasquez *et al.* 2005). Macambira *et al.* (2009) obtiveram idades U-Pb SHRIMP e idades Pb-Pb de evaporação de zircão de  $2.671 \pm 3$  e  $2.440 \pm 1$  Ma para essas rochas. Segundo Besser (2012), devido à sua composição juvenil, essas rochas podem representar um arco de ilhas ou uma suíte tonalito-trondhjemito granodiorito (TTG).

Faraco *et al.* (2005) incluíram unidades de alto grau ao embasamento do terreno. Dentre estas unidades estão: Suíte Granulítica Direita, formada por corpos

alongados de direção WNE e compostos por granulitos quartzo-feldspáticos cortados por veios de pegmatitos e granitos. Feições miloníticas são frequentes.

O Complexo Kinzigítico Ipiaçava forma uma faixa de direção NW-SE delimitada por imagens de satélite e mapas aerogeofísicos.

O Piriclasito Rio Preto é representado por corpos alongados de orientação WNW-ESE, compostos por granulitos máficos a dois piroxênios, inseridos na unidade Enderbito Cajazeiras, relacionadas ao Complexo Pium, unidade mais antiga da Província Carajás (Oliveira *et al.* 1994).

O Complexo Enderbítico Cajazeiras engloba rochas cálcio-alcalinas, metaluminosas e ricas em ETR leves, semelhantes a rochas de arcos de ilhas. Podem estar milonitzadas.

O Complexo Xingu é constituído por gnaisses tonalíticos, granodioríticos ( $2.974 \pm 15$  Ma, Pb-Pb em zircão) e dioríticos de médio a alto grau metamórfico e migmatitos ( $2.859 \pm 2$  e  $2.851 \pm 4$  Ma, Machado *et al.* 1991).

Composto por anfibolitos, metagranitoides e ortognaisses, o Complexo Aruanã se localiza nas porções nordeste e leste da Folha Rio Bacajá e engloba rochas neoarqueanas (Besser & Barros, 2016). O Anfibolito Armezinho aflora como faixas estreitas de direção WNW no nordeste do terreno e está em contato tectônico com gnaisses e granitos também do Complexo Aruanã. O Anfibolito Armezinho possui feições de metamorfismo térmico, o que permite posicioná-lo estratigraficamente abaixo dos granitoides. Os ortognaisses e metagranitoides do complexo afloram nas porções nordeste e leste do Terreno, e compreendem tonalitos, monzogramitos e sienogramitos de idade de cristalização de  $2.586,9 \pm 4,6$  Ma (Pb-Pb em zircão, Besser & Barros 2016).

## 2.2 GRUPO TRÊS PALMEIRAS

O Grupo Três Palmeiras é formado por rochas supracrustais metamorfisadas, e corresponde a um *greenstone-belt* de idade sideriana (João *et al.* 1987). As rochas máficas do Grupo Três Palmeiras possuem composição química que varia entre toleítos de arcos de ilhas e MORB (João *et al.* 1987). Dados de isótopos de Nd caracterizam fontes mantélicas para essas rochas, com pouca ou nenhuma contaminação crustal, o que corrobora com a hipótese de que essas rochas foram formadas em ambientes de arcos de ilha (Macambira *et al.* 2009).

A gênese do Grupo Três Palmeiras pode ter relação com o lançamento de porções de arcos de ilhas ou de assoalho oceânico contra a margem continental ativa, o que posicionou essas rochas em meio a unidades continentais mais jovens (Besser, 2012). Faraco *et al.* (2005) dividem o Grupo Três Palmeiras em duas partes, uma inferior, representada pelos metabasaltos e anfibolitos da Formação Itatá, e uma superior, descrita como Micaxisto Bacajá.

A Formação Itatá comprehende xistos e anfibolitos ortoderivados, metatufo e rochas metavulcânicas ácidas a intermediárias, metamorfisadas em fácies xisto verde a anfibolito (João *et al.*, 1987). Faraco *et al.* (2005) e Besser & Barros (2016) descrevem feições de metamorfismo térmico e deformação geradas pela intrusão do Complexo Bacajaí Suíte Granítica Arapari, Suíte Granítica São Jorge e Granodiorito Oca.

A Formação Bacajá corresponde à porção superior do *greenstone-belt* Três Palmeiras (Faraco *et al.*, 2005). É composta por rochas metassedimentares, metavulcânicas ácidas a intermediárias, filitos, quartzitos e formações ferríferas bandadas, metamorfisadas em fácies xisto verde a anfibolito (João *et al.* 1987, Besser & Barros 2016). Os filitos e quartzitos da Formação Bacajá ocorrem na forma de lentes com larguras decimétricas e comprimentos quilométricos, adjacentes à Formação Itatá (Besser & Barros, 2016).

## 2.3 COMPLEXO BACAJÁI

O Complexo Bacajaí foi descrito na área da Folha Altamira (João *et al.* 1987) como Granulito Bacajaí, compreendendo granulitos enderbíticos e charnockíticos com ortopiroxênio de assinatura cálcio-alcalina. Na Folha Rio Bacajá, Besser & Barros (2016) descrevem metaquartzo dioritos, metaquartzo monzodioritos, metatonalitos, metagranodioritos e monzogranitos.

Apesar de se assemelharem às rochas das suítes Arapari e João Jorge I e II em campo, a posição estratigráfica do Complexo Bacajaí acima das rochas do Grupo Três Palmeiras é confirmada por dados geocronológicos (Besser & Barros 2016). Faraco *et al.* (2005) e Monteiro (2006) obtiveram idades entre 2.114 Ma e 2.094 Ma para as rochas do Complexo Bacajaí (U-Pb SHRIMP e Pb-Pb evaporação em zircão, respectivamente). Besser & Barros (2016) obtiveram idade média de aproximadamente 2.112 Ma para essas rochas (Pb-Pb, evaporação em zircão). Além dos dados geocronológicos, a presença de textura granoblástica,

clinopiroxênio, biotita avermelhada e crescimento de muscovita a partir da sericitização do plagioclásio, corroboram para a individualização dessa unidade (Besser & Barros 2016). Segundo Barros *et al.* (2023) os granitoides do Complexo Bacajaí têm assinatura cálcio-alcalina de baixo a médio K. De acordo com diagramas geotectônicos essas rochas correspondem a granitos de arcos vulcânicos e granitos relacionados à subducção e sua origem pode estar relacionada à fusão parcial de fontes crustais e mantélicas sob altas pressões (Barros *et al.* 2023).

## 2.4 SUÍTES GRANÍTICAS INTRUSIVAS

Faraco *et al.* (2005) caracterizam o Complexo Jacaré, uma faixa de direção EW, composta por monzogranitos protomiloníticos, metamonzogranitos, tonalitos, trondjemitos. De modo subordinado afloram metagranodioritos e metassienogranitos. Os autores obtiveram idades U-Pb (SHRIMP) em metatonalitos de  $2.313 \pm 9,5$  Ma para essas rochas. O Complexo Valentim comprehende gnaisses, migmatitos, metatonalitos, metagranodioritos e metamonzogranitos, e ocorre como uma faixa NW-SE. São observados *boudins* de gabro, gnaisses e migmatitos (Faraco *et al.* 2005). Essas rochas possuem texturas granoblásticas porfiroblásticas e foram metamorfisadas em fácies xisto verde a anfibolito superior e, posteriormente deformadas.

João *et al.* (1987) descrevem uma unidade chamada Granodiorito Anapu, constituída por tonalitos, quartzo dioritos, trondjemitos e granodioritos foliados, com enclaves anfibolíticos. Vasquez & Rosa-Costa (2008) agruparam o granodiorito Anapu a um conjunto de charnoquitos e charnoenderbitos orientados na direção WNW-ESE e que compõem a Suíte Intrusiva Arapari. Besser & Barros (2016) descrevem monzodioritos, tonalitos, granodioritos e monzogranitos foliados nessa unidade. Os contatos da Suíte Arapari com o Complexo Bacajaí e com as rochas metabásicas da Formação Itatá são tectônicos, controlados por zonas transcorrentes destrais (Besser & Barros 2016). Foram obtidas idades entre 2.086 e 2.069 Ma para as rochas da Suíte Intrusiva Arapari (Pb-Pb e U-Pb em zircão, Vasquez & Rosa-Costa 2008). Segundo Barros *et al.* (2023), essas rochas são cálcio-alcalinas a álcali-cálcicas e são comparáveis a granitos de arcos magmáticos. Esses autores obtiveram idade de  $2.072 \pm 4$  Ma (U-Pb em zircão) para um quartzo monzodiorito dessa unidade. De acordo com Vasquez *et al.* (2008), o *emplacement* da Suíte

Arapari foi fortemente controlado por tectônica transcorrente, atribuindo à essas rochas origem sin-transcorrente.

A Suíte Intrusiva João Jorge é descrita por João *et al.* (1987) e Faraco *et al.* (2005) como batólitos alongados orientados NW-SE, sin-cinemáticos, intrusivos no Complexo Xingu, no Piriclasito Preto e no Anfibolito Itatá. São descritos monzogranitos e sienogranitos. Os corpos graníticos são seccionados por zonas de cisalhamento transcorrentes sinistrais, as quais controlaram o posicionamento crustal dessas rochas (Vasquez & Rosa-Costa 2008). As suítes Arapari e João Jorge são agrupadas por Vasquez & Rosa-Costa (2008) às Suítes Plutônicas Pós-Colisionais do Terreno Bacajá. Segundo Delor *et al.* (2003), associações pós-colisionais semelhantes às suítes Arapari e João Jorge ocorrem no Escudo das Guianas, pertencente aos domínios transamazônicos do Cráton Amazônico e são representadas por granitoides entre 2,07 e 2,06 Ga encaixados ao longo de falhas transcorrentes sinistrais WNW-ESE.

Na Folha Rio Bacajá, Besser & Barros (2016) distinguiram a Suíte João Jorge em dois grupos faciológicos, sendo o primeiro formado por monzogranitos e sienogranitos, e o segundo composto por sienitos e monzonitos. Seus contatos com o Complexo Aruanã são tectônicos e com a Formação Itatá são intrusivos, evidenciados pela presença de *hornfels*. Segundo Besser & Barros (2016), o primeiro grupo faciológico composto por monzogranitos e sienogranitos possui assinatura cálcio-alcalina de alto potássio a álcali-cálcica com afinidade metaluminosa. Em diagramas geotectônicos essas rochas são compatíveis com granitos de arcos magmáticos com transição para colisão continental (Besser & Barros 2016, Barros *et al.* 2023).

O segundo grupo, composto por sienitos e monzonitos, possui assinatura shoshonítica, cálcio-alcalina, peralcalinas a metaluminosas, e suas rochas se agrupam na interface entre granitos sin-colisionais/de arcos magmáticos e granitos intraplaca, comportamento geoquímico comum em rochas pós-colisionais (Besser & Barros 2016, Barros *et al.* 2023). Por meio de datação por evaporação de Pb em zircão, Vasquez *et al.* (2005) obtiveram uma idade de  $2.077 \pm 2$  Ma para um monzogranito da Suíte Intrusiva João Jorge, e Barros *et al.* (2023) obtiveram idade de 2.076 Ma para um álcali-feldspato sienito. Idades TDM de 2.210 Ma e assinaturas de  $\epsilon_{Nd}$  positivas (+1,51) sugerem curto período de residência crustal e,

possivelmente, contribuições mantélicas durante a produção de magmas shoshoníticos (Barros *et al.* 2023).

O Granitoide Felício Turvo ocorre como corpos lenticulares subconcordantes a concordantes com as estruturas regionais do Terreno Bacajá (Faraco *et al.* 2005). São descritos monzogranitos com granodioritos subordinados, foliados, metamorfizados em fácies xisto verde a anfibolito. Souza *et al.* (2003) obtiveram idades Pb-Pb de  $2.069 \pm 6$  Ma para essa unidade. Incluso na Suíte Anorogênica de 1,88 Ga (Faraco *et al.* 2004), o Granodiorito Oca é intrusivo no Grupo Três Palmeiras. Nele predominam granodioritos com trondjemitos e granitos subordinados (Faraco *et al.* 2005).

### **3 MATERIAIS E MÉTODOS**

As amostras utilizadas foram coletadas por Carlos Eduardo de Mesquita Barros e Marcell Leonard Besser na região da Folha Rio Bacajá durante a etapa de mapeamento do Projeto Pronageo: Mapeamento geológico e recursos naturais da Folha Rio Bacajá (CPRM-UFPR-FUNPAR), em 2012.

Para a elaboração desta dissertação se faz necessária a abordagem do tema de estudo a partir de diversas etapas, as quais consistem em: revisão bibliográfica; análise de susceptibilidade magnética de amostras de mão; análise petrográfica por microscopia ótica em luzes transmitida e refletida; microscopia eletrônica de varredura, com análise semiquantitativa por Espectrometria de Dispersão de Energia (MEV-EDS) e análise de química mineral por microssonda eletrônica.

#### **3.1 ANÁLISE PETROGRÁFICA**

Foi realizada a descrição de 32 lâminas petrográficas (Quadro 1). Foram selecionadas rochas representativas do Complexo Bacajaí e das suítes intrusivas Arapari e João Jorge I e II (Figura 3). Foram evitadas rochas com alto grau de alteração e deformação. As rochas foram descritas com base em sua composição mineral e aspectos estruturais e texturais utilizando-se os trabalhos de Deer *et al.* (1992), Passchier & Trouw (2005) e Wernick (2004). Porcentagens modais foram estimadas visualmente utilizando os diagramas desenvolvidos por Shvetsov (1954).

As seguintes faixas granulométricas foram utilizadas neste trabalho: <0,1 mm – muito fina; 0,1 a 1 mm – fina; 1 a 4 mm – média; 4 a 16 mm – grossa.

As análises petrográficas em luz transmitida foram realizadas em microscópio petrográfico de marca Olympus modelo BX-60; as análises petrográficas em luz refletida foram realizadas em microscópio Leica DM2500 P, disponíveis no Laboratório de Pesquisa em Microscopia (LAPEM), do Departamento de Geologia da UFPR. As fotomicrografias foram feitas no Instituto Laboratório de Análise de Minerais e Rochas (iLAMIR) com o auxílio de câmera AxioCam HRc, acoplada a microscópio Zeiss Imager.A2m, utilizando o software de captura *Image ProPlus*.

Os minerais foram abreviados com base na lista de nomenclaturas aprovadas pela Comissão de Novos Minerais e Nomes de Minerais (CNMMN) da Associação Mineralógica Internacional (IMA) em 2021.

Quadro 1 – Quantidade de lâminas petrográficas de cada unidade geológica. CB: Complexo Bacajá; SIA: Suíte Intrusiva Arapari; SIJJ I: Suíte Intrusiva João Jorge I; SIJJ II: Suíte Intrusiva João Jorge II.

Unidade	Lâminas petrográficas
CB	7
SIA	9
SIJJ I	12
SIJJ II	4

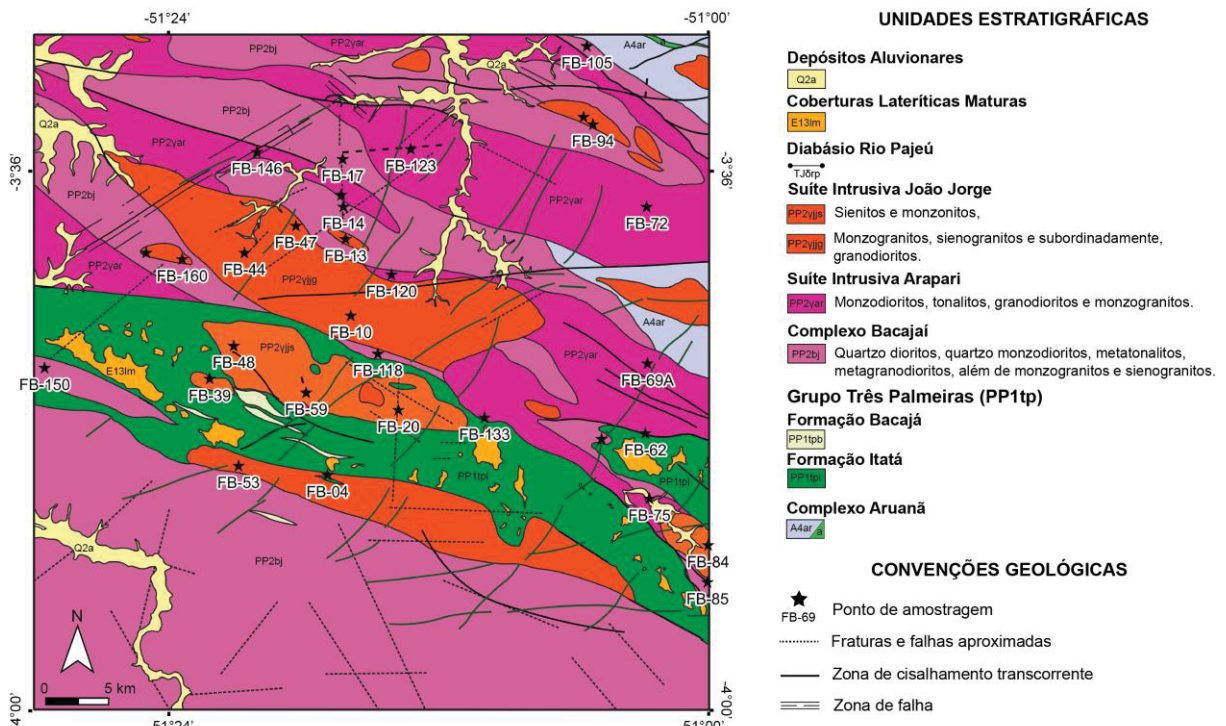


Figura 3 - Mapa geológico simplificado com pontos de amostragem. Fonte: Adaptado de Besser & Barros (2015).

### 3.2 MICROSCOPIA ELETRÔNICA DE VARREDURA – MEV

A partir das 32 lâminas petrográficas descritas em microscópio óptico foram selecionadas 3 amostras do Complexo Bacajaí, 4 da Suíte Intrusiva Arapari, 5 da Suíte João Jorge I e 2 da Suíte João Jorge II, totalizando 14 amostras. As amostras de mão foram cortadas em tabletes de aproximadamente 8 cm x 5 cm no Laboratório de Laminação Petrográfica (LAMIN) e enviadas para o laboratório Geolab para a confecção de lâminas petrográficas polidas.

A partir das 14 lâminas petrográficas, foram selecionadas 6 lâminas para a análise da composição química de minerais opacos por MEV-EDS. Os parâmetros utilizados na seleção dessas amostras foram: 1) menor grau de alteração e intemperismo; 2) menor grau de deformação e 3) maior porcentagem de minerais opacos.

As análises foram realizadas no Centro de Microscopia Eletrônica (CME-UFPR) com microscópio eletrônico de varredura de marca TESCAN e modelo VEGA3 LMU. As condições de operação do equipamento estão descritas no Quadro 2. A metalização das lâminas petrográficas foi realizada com ouro.

Quadro 2 - Condições de operação do MEV-EDS. Fonte: CME-UFPR (2024).

<b>Condições de operação – MEV-EDS</b>	
Tensão de aceleração	15,0 kV
Magnificação	200 - 1500 x
Distância de operação	9,96 - 15,02 mm
Detector	Elétrons retroespalhados
Vácuo	Alto vácuo

### 3.3 MICROSSONDA ELETRÔNICA – ME

Após a descrição petrográfica foram escolhidos os cristais a serem analisados. Em seguida, foram traçados mapas de pontos sobre as 14 lâminas polidas. Os minerais analisados são: feldspato alcalino, plagioclásio, biotita e anfibólito. A seleção dos cristais levou em consideração diferentes granulometrias, a presença de pertitas, mirmequitas e zoneamentos. Além disso, buscou-se evitar cristais muito alterados.

As 14 lâminas foram então enviadas para o Laboratório de Microanálises (LAMICRO) do Instituto de Geociências da Universidade Federal do Pará (IG-UFPA), onde foram realizadas as análises de química mineral com microssonda eletrônica

JEOL JXA-8230, equipada com 5 espectrômetros WDS. As condições de operação do equipamento são descritas a seguir: voltagem de aceleração constante = 15kV, corrente do feixe de elétrons = 20nA, diâmetro do feixe de elétrons = 10µm, método de correção dos efeitos de matriz = ZAF, tempo de contagem = 30 s para análise de Na, F e Cl e 20 s para os demais elementos.

Os elementos analisados, padrões e cristais analisadores utilizados foram, respectivamente: Na - sodalita - TAP, Al - coríndon - TAP, Si - quartzo - TAP, F – fluorita - TAP, Mg - periclásio - TAP, Sr - celestina - TAP, Ca - wollastonita - PETJ, K - microclina - PETJ, Fe - Fe<sub>3</sub>O<sub>4</sub> - LIF, Mn - rhodonita - LIF, Ba - barita - LIF, Cl – sodalita- PETH, Ti - rutilo - PETH. Foram realizadas análises pontuais no centro, porções intermediárias e bordas dos cristais selecionados, assim como em porções onde há a suspeita de variação composicional (zoneamentos, intercrescimentos etc). No total foram realizadas análises em 539 pontos, sendo 156 em feldspato alcalino, 213 em plagioclásio, 72 em biotita e 98 em anfibólio (Tabela 1).

Tabela 1 – Relação das amostras utilizadas para análises com microssonda eletrônica. (Continua)

Unidade	Amostra	Mineral analisado	Cristais analisados	Qte. análises
CB	FB-14	Plagioclásio	4	29
		Biotita	1	5
	FB-133	Microclínio	1	5
		Plagioclásio	3	25
	FB-150	Biotita	1	5
		Plagioclásio	4	32
		Anfibólio	2	13
SIA	FB-15	Microclínio	2	12
		Plagioclásio	2	14
		Biotita	1	7
	FB-85	Microclínio	2	15
		Plagioclásio	2	18
		Biotita	1	5
	FB-123	Anfibólio	2	14
		Plagioclásio	2	10
		Biotita	1	5
	FB-146	Anfibólio	1	4
		Microclínio	2	14
		Plagioclásio	2	18
		Biotita	1	5
		Anfibólio	2	14

Tabela 1 – Relação das amostras utilizadas para análises com microssonda eletrônica. (Conclusão)

Unidade	Amostra	Mineral analisado	Cristais analisados	Qte. análises
<b>SIJJ I</b>	FB-13	Microclínio	2	16
		Plagioclásio	2	17
		Biotita	1	10
	FB-44	Microclínio	2	15
		Plagioclásio	1	9
		Biotita	1	5
<b>SIJJ II</b>	FB-47	Microclínio	1	9
		Plagioclásio	2	18
		Biotita	1	5
	FB-131	Microclínio	2	13
		Plagioclásio	1	5
		Biotita	2	10
		Anfibólito	2	14
	FB-147	Microclínio	2	15
		Plagioclásio	2	18
		Biotita	1	5
	FB-20	Microclínio	3	28
		Anfibólito	3	23
	FB-39	Microclínio	2	14
		Anfibólito	3	16

### 3.3.1 Química mineral

As fórmulas estruturais dos minerais foram calculadas a partir das análises químicas fornecidas pela microssonda eletrônica, cujos dados foram fornecidos em óxidos. Os cálculos foram feitos com planilhas eletrônicas *GabbroSoft*.

- Feldspatos: cálculo estrutural na base de 32 átomos de oxigênio por malha unitária. Os cristais foram classificados com base em seus teores de moléculas de ortoclásio - Or ( $KAlSi_3O_8$ ), albita - Ab ( $NaAlSi_3O_8$ ) e anortita - An ( $CaAl_2Si_2O_8$ ) conforme a classificação proposta por Deer *et al.* (1992).
- Anfibólito: cálculo estrutural na base de 23 oxigênios a partir da classificação de Leake *et al.* (1997). Os cristais foram classificados com base em seus teores de Ca, Na, K, Ti, Mg,  $Fe^{2+}$  e Si a.f.u. (átomos por fórmula unitária). O diagrama de Anderson & Smith (1995) e o diagrama  $\log fO_2$  vs  $T^{\circ}C$  foram utilizados para estimativa da fugacidade de oxigênio durante a cristalização do anfibólito.

- Biotita: cálculo estrutural na base de 22 oxigênios de acordo com a sugestão de Rieder *et al.* (1998), pois não há análises de H<sub>2</sub>O, para micas analisadas por microssonda eletrônica. A classificação da biotita foi realizada com base em Deer *et al.* (1992). Os cristais foram classificados a partir dos componentes siderofilita ( $K_2Fe_4Al_2[Si_4Al_4O_{20}](OH)_4$ ), eastonita ( $K_2Mg_4Al_2[Si_4Al_4O_{20}](OH)_4$ ), anita ( $K_2Fe_6[Si_6Al_2O_{20}](OH)_4$ ) e flogopita ( $K_2Mg_6[Si_6Al_2O_{20}](OH)_4$ ). O diagrama de Nachit *et al.* (2005) foi utilizado para a distinção entre biotita primária, primária reequilibrada e secundária. Os dados químicos foram plotados nos diagramas discriminantes de Rossi & Chevremont (1987) e Abdel-Rahman (1994). A partir da composição química da biotita foram utilizados os diagramas de Nachit *et al.* (2005) para classificar corpos graníticos dentro de associações magmáticas e para a discriminação de diferentes gerações de biotita, respectivamente, e de Rossi & Chevremont (1987), Abdel-Rahman (1994) e Anderson *et al.* (2008) para a classificação de associações magmáticas.

### 3.3.1.1 Geotermobarometria

A partir dos cálculos de fórmulas estruturais foram aplicados geobarômetros embasados no valor de Al<sub>total</sub> em cristais de hornblenda (Hollister *et al.* 1987, Johnson & Rutherford 1989, Schmidt 1991, Mutch *et al.* 2016) das rochas do CB, SIA e SIJJ I. Para isto foram utilizadas análises feitas nas bordas dos cristais de hornblenda. Não foram realizados os cálculos barométricos para SIJJ II em decorrência de as rochas dessa unidade não possuírem a paragênese mineral necessária.

Foram aplicados geotermômetros baseados no par anfibólio-plagioclásio (Blundy & Holland 1990, Holland & Blundy 1994), em óxidos em anfibólio (Ridolfi *et al.* 2010) e em anfibólios cárquicos (Putirka 2016, equação 5) às rochas de todas as unidades. Em decorrência da alta quantidade de Fe dos cristais de anfibólio das amostras FB-150 (monzogranito) e FB-123 (quartzo monzodiorito), do CB e SIA, respectivamente, não foi possível o cálculo de sua temperatura a partir do trabalho de Ridolfi *et al.* (2010), devido à sensibilidade da fórmula à quantidade de FeO. As calibrações de Blundy & Holland (1990) e Holland & Blundy (1994) não foram

utilizadas para as rochas da SIJJ II pois não foram analisados cristais de plagioclásio dessa unidade.

Os cálculos de geotermobarometria foram realizados utilizando planilhas eletrônicas disponíveis nos materiais suplementares dos trabalhos utilizados.

### 3.4 SUSCEPTIBILIDADE MAGNÉTICA - SM

Um total de 6 amostras do Complexo Bacajaí, 9 da Suíte Intrusiva Arapari, 9 da Suíte Intrusiva João Jorge I e 3 da Suíte Intrusiva João Jorge II foram submetidas a medidas de susceptibilidade magnética, obtidas com a utilização do susceptímetro Kappameter KT-5 de marca SatisGeo, com sensibilidade da ordem de  $1 \times 10^{-5}$  SI, e que permite medir materiais com SM entre 0,00 a  $999 \times 10^{-3}$  SI. O susceptímetro foi disponibilizado pelo Laboratório de Pesquisas em Geofísica Aplicada da UFPR (LPGA-UFPR).

As medidas de SM foram realizadas em superfícies serradas das amostras de mão, a fim de proporcionar o contato homogêneo com o sensor do equipamento, evitando faces com visível alteração intempérica. Foram realizadas 3 medidas por amostra de mão, com uma medição de espaço vazio entre elas, com o intuito de aumentar a confiabilidade da medição. A média dos três resultados foi considerada representativa da SM de cada amostra.

Os dados obtidos foram organizados e tratados em planilhas eletrônicas, a partir das quais foram gerados histogramas de frequência, utilizados para discutir a evolução magmática dos granitoides com base em seu conteúdo de minerais opacos.

## 4 RESULTADOS

Esse capítulo corresponde ao manuscrito que será submetido à revista *Brazilian Journal of Geology* e será traduzido para o inglês e formatado segundo as normas da revista.

## QUÍMICA MINERAL DE GRANITOIDES PALEOPROTEROZOICOS DA FOLHA RIO BACAJÁ, TERRENO BACAJÁ, PROVÍNCIA TRANSAMAZONAS

Flávia Lanaro De Grande<sup>1</sup>, Eleonora Maria Gouvêa Vasconcellos<sup>2</sup>, Carlos Eduardo de Mesquita Barros<sup>1</sup>

<sup>1</sup>Universidade Federal do Paraná; <sup>2</sup>Programa de Pós-Graduação em Geologia – Universidade Federal do Paraná

**RESUMO:** A Folha Rio Bacajá se localiza na porção sul do Terreno Bacajá e seu arcabouço geológico abrange o embasamento neoarqueano, rochas supracrustais metassedimentares e rochas plutônicas paleoproterozoicas. Dentre as rochas aflorantes nessa região, destacam-se os granitoides riacianos do Complexo Bacajaí e as suítes intrusivas Arapari e João Jorge, associados a fases sin a tardi-colisionais de um orógeno. Estudos de detalhe sobre a química mineral e condições de cristalização (pressão, temperatura, fugacidade de oxigênio) destas unidades se fazem necessários em decorrência do potencial econômico da região, denotado pelas mineralizações de ouro e cobre, e do alto potencial de exploração de rochas ornamentais. Tais informações possuem potencial para auxiliar na estimativa das condições de cristalização dos magmas e na contextualização geotectônica do Terreno Bacajá, assim como na busca por bens minerais. Este trabalho envolveu análises petrográficas destes granitoides, análises de microssonda eletrônica em feldspatos, biotita e anfibólio e análises de MEV-EDS em fases opacas. A partir dos resultados obtidos foi presumida cristalização sob condições com fugacidade de oxigênio intermediária para o Complexo Bacajaí, e alta fugacidade de oxigênio para as demais unidades. Para essas rochas, foi interpretada origem magmática em profundidades acima de 10 kbar, seguida por ascensão crustal rápida e colocação em profundidades rasas a intermediárias, entre 11 e 28 km, concomitante a esforços compressivos. A afinidade dos granitoides da Folha Rio Bacajá com as séries magmáticas cálcio-alcalina, peraluminosa e ferro-potássica permitiu relacionar essas rochas aos estágios sin a tardi-tectônicos e a estágios sin-transcorrentes, com fontes magmáticas em profundidades variadas.

**Palavras-chave:** Faciologia de granitos; hornblenda, geotermobarometria.

## 1. INTRODUÇÃO

O conhecimento sobre a porção sul da Província Transamazônica, denominada de Terreno Bacajá, avançou significativamente desde os levantamentos geológicos pioneiros na região (João *et al.*, 1987; Faraco *et al.*, 2005; Barros *et al.*, 2007; Vasquez *et al.*, 2008; Macambira *et al.*, 2009). Nas duas últimas décadas,

esforços foram direcionados à caracterização dos plútuns riacianos aflorantes na Folha Rio Bacajá, com estudos abordando suas características petrológicas, estruturais, geoquímicas e isotópicas (Vasquez et al. 2008, Besser 2012, Besser & Barros 2016, Perico et al. 2017, Alves 2020, Barros et al. 2023, Pimentel 2024).

Este trabalho busca apresentar os primeiros dados de química mineral em feldspato alcalino, plagioclásio, biotita e anfibólio dos granitoides da Folha Rio Bacajá, assim como estimativas das condições de pressão, temperatura e fugacidade de oxigênio durante a cristalização dessas unidades, a fim de contribuir para a contextualização geotectônica do Terreno Bacajá e para a prospecção de recursos minerais na região.

## 2. GEOLOGIA REGIONAL

A Província Transamazonas (Santos et al. 2000) é uma das seis províncias geocronológicas do Cráton Amazônico e sua evolução geodinâmica se deu durante Ciclo Transamazônico, entre o Riaciano e Orosiriano (2,2 a 1,9 Ga). O Terreno Bacajá corresponde à porção sul da Província Transamazonas, situado diretamente a norte da província arqueana Carajás (Vasquez & Rosa-Costa 2008) e sua evolução está estreitamente relacionada a ela.

A Folha Rio Bacajá se localiza na porção norte do Terreno Bacajá e nela afloram anfibolitos, metagranitoides e ortognaisses neoarqueanos ( $2.586,9 \pm 4,6$  Ma, Pb-Pb em zircão) do Complexo Aruanã (Besser & Barros 2016), metatoleítos e metapelitos siderianos metamorfizados em fácies xisto verde a anfibolito (João et al. 1987), e granitoides riacianos sin a tardi-colisionais pertencentes ao Complexo Bacajaí, Suíte Intrusiva Arapari e Suíte Intrusiva João Jorge (João et al. 1987, Faraco et al. 2005, Vasquez et al. 2008, Macambira et al. 2009, Besser & Barros 2016, Barros et al. 2023).

O Complexo Bacajaí (2,1 Ga) consiste em charnoquitos e granitoides cálcio-alcalinos de baixo a médio K, associados a granitos de arcos vulcânicos e granitos relacionados à subducção (Faraco et al. 2005, Monteiro 2006, Besser & Barros 2012, Barros et al. 2023). As suítes Arapari e João Jorge ( $2.086 \pm 5$  Ma and  $2.096 \pm 6$  Ma) são compostas por plútuns alongados e tiveram sua colocação controlada por falhas transcorrentes regionais de direção NW-SE a WNW-ESE (João et al. 1987, Faraco et al. 2005, Barros et al. 2023). A Suíte Arapari compreende rochas cálcio-

alcalinas a álcali-cálcicas, comparáveis a granitos de arcos magmáticos (Barros *et al.* 2023).

A Suíte João Jorge, dividida em dois grupos faciológicos, corresponde a granitos cálcio-alcalinos de alto K a álcali-cálcicos com afinidade metaluminosa, associados a granitos de arcos magmáticos com transição para granitos de colisão continental (grupo I), e granitoides shoshoníticos, cálcio-alcalinos a peralcalinos metaluminosos, relacionados a granitos sin-colisionais/de arcos magmáticos e granitos intraplaca (grupo II) (Besser & Barros 2016, Barros *et al.* 2023). Vasquez *et al.* (2008) associam os granitoides das suítes Arapari e João Jorge a granitos controlados por zonas transcorrentes e com significativa composição crustal, similares a demais associações pós-colisionais intraplaca.

### **3. MATERIAIS E MÉTODOS**

As amostras descritas foram coletadas durante a etapa de mapeamento do Projeto Pronageo: Mapeamento geológico e recursos naturais da Folha Rio Bacajá (CPRM-UFPR-FUNPAR), em 2012, pelos geólogos Carlos Eduardo de Mesquita Barros e Marcell Leonard Besser.

Foram descritas 32 lâminas petrográficas representativas do Complexo Bacajaí (CB), Suíte Intrusiva Arapari (SIA), Suíte Intrusiva João Jorge I (SIJJ I) e Suíte Intrusiva João Jorge II (SIJJ II) segundo sua assembleia mineral e aspectos texturais e estruturais, com base nos trabalhos de Deer *et al.* (1992), Passchier & Trouw (2005) e Wernick (2004). Diagramas propostos por Shvetsov (1954) foram utilizados para estimar porcentagens modais de minerais. As análises petrográficas em luz transmitida e refletida foram realizadas no Laboratório de Pesquisa em Microscopia (LAPEM-UFPR), utilizando microscópios Olympus BX-60 e Leica DM2500 P, respectivamente. As fotomicrografias foram feitas com câmera AxioCam HRc acoplada a microscópio Zeiss Imager.A2m, utilizando o *software* de captura Image ProPlus, disponíveis no Instituto Laboratório de Análise de Minerais e Rochas (iLAMIR-UFPR). Foi seguida a lista de nomenclaturas aprovadas pela Comissão de Novos Minerais e Nomes de Minerais (CNMNM) da Associação Mineralógica Internacional (IMA) em 2021. A tabela de summarização de dados petrográficos pode ser consultada no Apêndice 1.

Análises de MEV-EDS em fases minerais opacas foram realizadas no Centro de Microscopia Eletrônica (CME-UFPR) utilizando microscópio eletrônico de

varredura TESCAN VEGA3 LMU (Quadro 3). As lâminas petrográficas foram metalizadas com ouro.

Quadro 3 - Condições de operação do MEV-EDS. Fonte: CME-UFPR (2024).

<b>Condições de operação – MEV-EDS</b>	
Tensão de aceleração	15,0 kV
Magnificação	200 - 1500 x
Distância de operação	9,96 - 15,02 mm
Detector	Elétrons retroespalhados
Vácuo	Alto vácuo

Cristais de feldspato alcalino, plagioclásio, biotita e anfibólio de 14 lâminas petrográficas foram analisados por microssonda eletrônica JEOL JXA-8230 no Laboratório de Microanálises (LAMICRO) do Instituto de Geociências da Universidade Federal do Pará (IG-UFPA). As fórmulas estruturais dos minerais foram calculadas com o auxílio de planilhas eletrônicas GabbroSoft. O cálculo de feldspatos foi realizado com base em 32 oxigênios, conforme Deer *et al.* (1992), o anfibólio foi calculado com base no trabalho de Leake *et al.* (1997), levando em conta 23 oxigênios e a fórmula da biotita foi calculada com base em 22 oxigênios, pois não foram realizadas análises de H<sub>2</sub>O, e sua classificação seguiu o trabalho de Deer *et al.* (1992). As condições de operação da microssonda assim como as planilhas de química mineral estão disponíveis no Apêndice 2 e 3 desse trabalho.

As pressões de cristalização para o CB, SIA e SIJJ I foram estimadas a partir da quantidade de Al<sub>total</sub> em anfibólio segundo os trabalhos de Hollister *et al.* (1987), Johnson & Rutherford (1989), Schmidt (1991) e Mutch *et al.* (2016). Não foram estimadas pressões para a SIJJ II pois sua assembleia mineral não é adequada às calibrações utilizadas em decorrência de seus teores insignificantes de plagioclásio. A temperatura de cristalização foi calculada com base nos trabalhos de Blundy & Holland (1990), Holland & Blundy (1994), Ridolfi *et al.* (2010) e Putirka (2016, equação 5), baseados no par anfibólio-plagioclásio, óxidos de anfibólio e anfibólios cálcicos. Não foram aplicadas as calibrações de Blundy & Holland (1990) e Holland & Blundy (1994) à SIJJ II pois não foram feitas análises de plagioclásio. A calibração de Ridolfi *et al.* (2010) não foi utilizada para o monzogranito FB-150 (CB) e quartzo monzodiorito FB-123 (SIA) em decorrência da alta quantidade de Fe em anfibólio.

A susceptibilidade magnética foi obtida com o uso de susceptibilímetro Kappameter KT-5 SatisGeo, com sensibilidade de 1x10<sup>-5</sup> SI, disponibilizado pelo

Laboratório de Pesquisas em Geofísica Aplicada da UFPR (LPGA-UFPR). Foram realizadas três medidas em superfícies serradas de amostras de mão, com uma medida de espaço vazio entre elas. A média dos valores foi considerada representativa da susceptibilidade magnética de cada amostra. Os dados foram organizados em planilhas eletrônicas e foram elaborados histogramas de frequência e gráficos comparativos.

#### **4. ANÁLISE PETROGRÁFICA**

O CB é composto por monzogranitos e sienogranitos subordinados, com estrutura fraca a moderadamente orientada e textura granular, fina a média. Por vezes ocorrem texturas granulares e heterogranulares médias a grossas. Essas rochas são compostas por quartzo (20% a 45%), microclínio (30% a 40%), plagioclásio (10% a 40%) e biotita (<1 a <5%).

A SIA compreende monzogranitos, sienogranitos, álcali-feldspato granitos, tonalitos, granodioritos e quartzo monzodioritos, com estrutura fraca a moderadamente orientada, ocasionalmente maciça e textura granular e heterogranular fina a média. São compostos por quartzo (15% a 40%), microclínio (traços a 60%), plagioclásio (5% a 60%) e biotita (<1% a <5%).

A SIJJ I é composta por monzogranitos e sienogranitos, fraca a moderadamente orientados, com textura granular fina a média e heterogranular média a grossa. Em menor número ocorrem sienitos porfiríticos médios a grossos maciços. Essas rochas são formadas por quartzo (25% a 40%), microclínio (30% a 50%), plagioclásio (10% a 30%), e biotita (<1% a <5%).

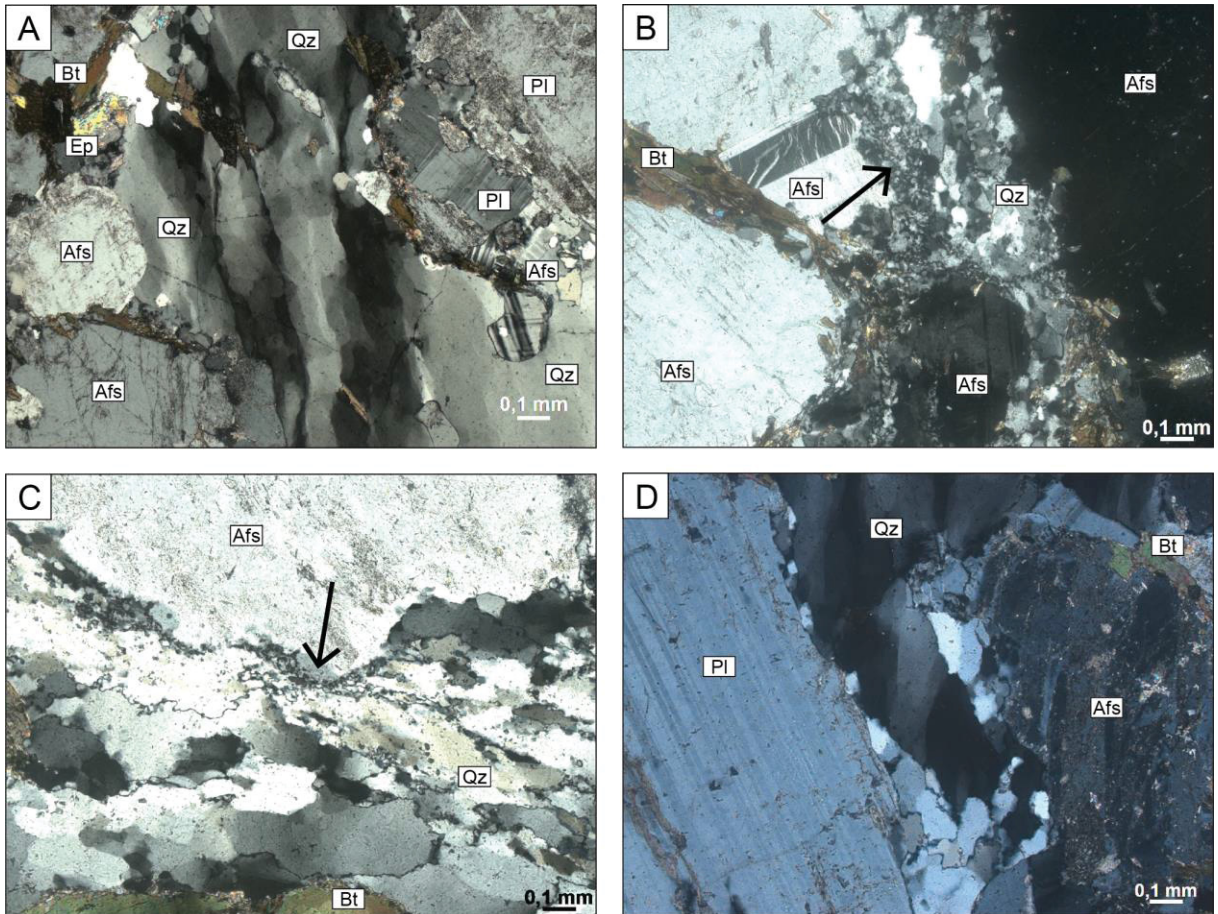
Anfibólio ocorre com pouca frequência nas rochas do CB, SIA e SIJJ I, junto a agregados de biotita, opacos e minerais acessórios.

A SIJJ II abrange quartzo álcali-feldspato sienitos, quartzo sienitos e sienogranitos maciços e textura inequigranular porfirítica, por vezes granular média a grossa. A assembleia mineral dessas rochas compreende quartzo (5% a 40%), microclínio (40% a 80%) e plagioclásio (5% a 15%). Biotita ocorre apenas em um quartzo sienito e um sienogranito enquanto anfibólio é descrito em quartzo álcali-feldspato sienitos. São observados núcleos de clinopiroxênio com bordas de anfibólio em quartzo sienitos e quartzo álcali-feldspatos sienitos. Em menor frequência ocorrem fraturas finas preenchidas por muscovita.

Pertitas e mirmequitas são comuns em todas as unidades estudadas. Com frequência é observada biotita alterada para clorita.

Os minerais acessórios dessas unidades são semelhantes, compõem menos de 1% do volume das rochas e são representados por epidoto, titanita, allanita, apatita e zircão. As fases minerais opacas correspondem a magnetita (todas as unidades), ilmenita (CB, SIA, SIJJ I) e pirita (SIJJ I), e compõem <5% dessas rochas. Sericita ocorre como produto da alteração de feldspatos.

O quartzo é anédrico, com dimensões de <0,1 a 6 mm no CB, <0,1 a 3 mm na SIA, 0,1 a 4 mm na SIJJ I e 0,2 a 5,5 mm SIJJ II. É observada orientação preferencial fraca a forte dos cristais no CB, SIA e SIJJ I. Predominam contatos curvos a levemente curvos, mas contatos serrilhados e lobados são comuns às unidades do CB, SIJJ I e SIJJ II. Em todas as unidades são identificadas feições de deformação e recristalização (Figura 4), como extinção ondulante, agregados de subgrãos e de novos grãos. Com exceção da SIJJ II, há em todas as unidades cristais de quartzo estirados e bandas de deformação.

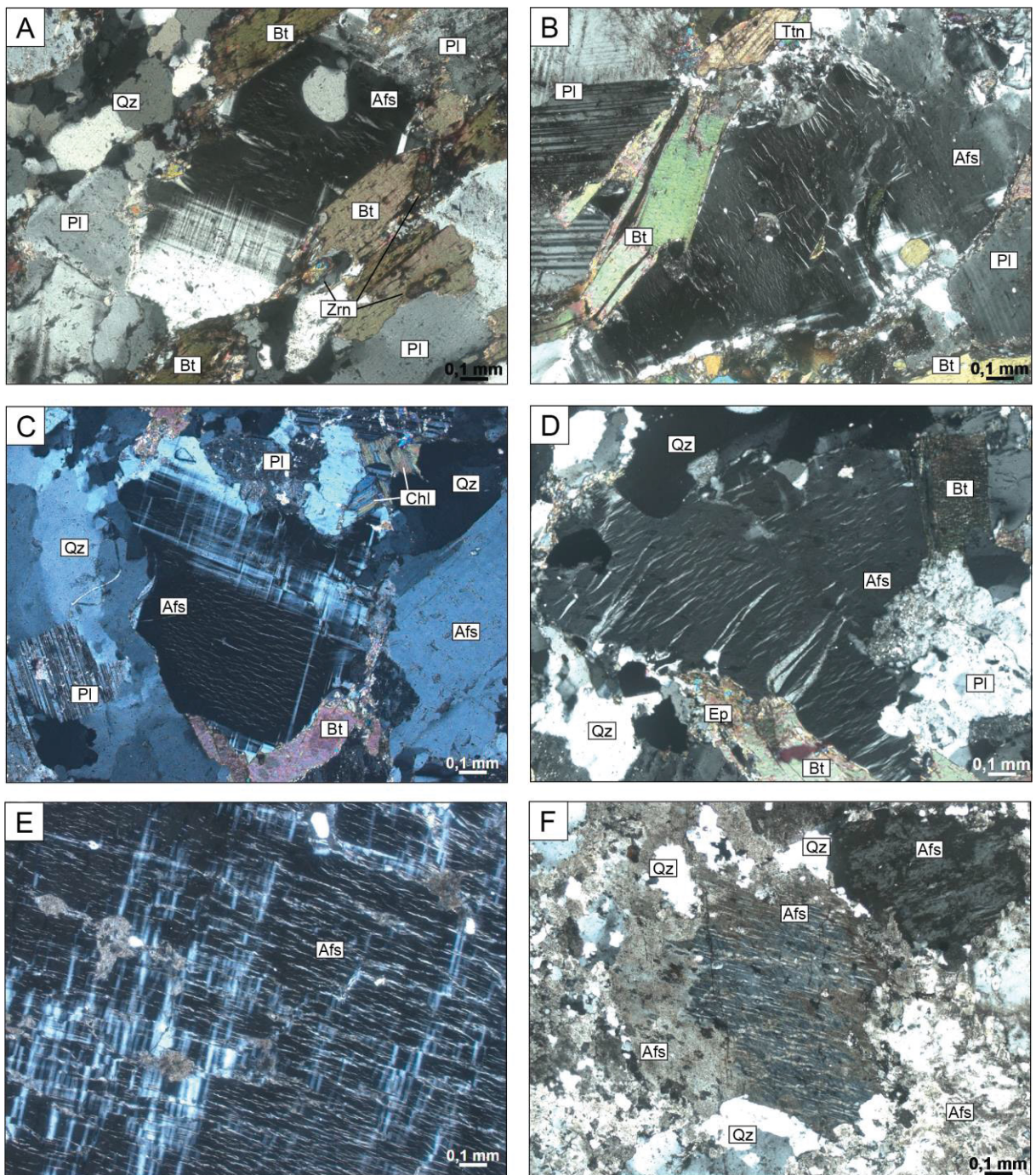


Afs: feldspato alcalino; Bt: biotita; Pl: plagioclásio; Qz: quartzo.

Figura 4 – Fotomicrografias de feições de deformação em quartzo em granitoides da Folha Rio Bacajá, polarizadores cruzados. (A) Cristais de quartzo estirados em um monzogranito (FB-133) do CB; (B) e (C) possuem contatos serrilhados (seta) em agregados de subgrãos de quartzo em um monzogranito (FB-14) do CB e um granodiorito (FB-146) da SIA; (D) quartzo estirado em um monzogranito (FB-13) da SIJJ I.

O microclínio é anédrico, podendo ser subédrico nas rochas da SIJJ I e SIJJ II e mede de 0,1 a 6 mm, exceto em um sienogranito porfírico da SIJJ I no qual atinge 15 mm. Predominam contatos retos a levemente curvos, sendo observados contatos lobados em cristais da SIJJ II. Não há orientação preferencial dos cristais de microclínio do CB e da SIJJ II. Na SIJJ I predominam cristais não orientados mas observa-se orientação preferencial fraca a moderada em monzogranitos e sienogranitos. A SIA possui microclínio fraca a fortemente orientado. Observa-se geminação em grade moderada a bem desenvolvida não pervasiva, geminação simples não pervasiva e pertitas em chama e venulares (Figura 5). Além dessas, no CB ocorrem pertitas lamelares e interpenetradas, na SIA há pertitas em filetes e interligadas, na SIJJ I há pertitas em barras e filetes e na SIJJ II, interligadas. A sericitização do microclínio é moderada a intensa nas rochas do CB e da SIA e mais branda nas rochas do SIJJ I e SIJJ II, havendo ocorrência de microclínio límpido na

última. Feições de deformação intracristalina são identificadas apenas na SIJJ I e SIJJ II, e consistem em microfraturas preenchidas por quartzo, epidoto e muscovita e *kink bands*, na primeira, e microfraturas preenchidas por muscovita, na segunda. Com exceção de um tonalito da SIA, todas as rochas possuem mais de 10% de microclínio.

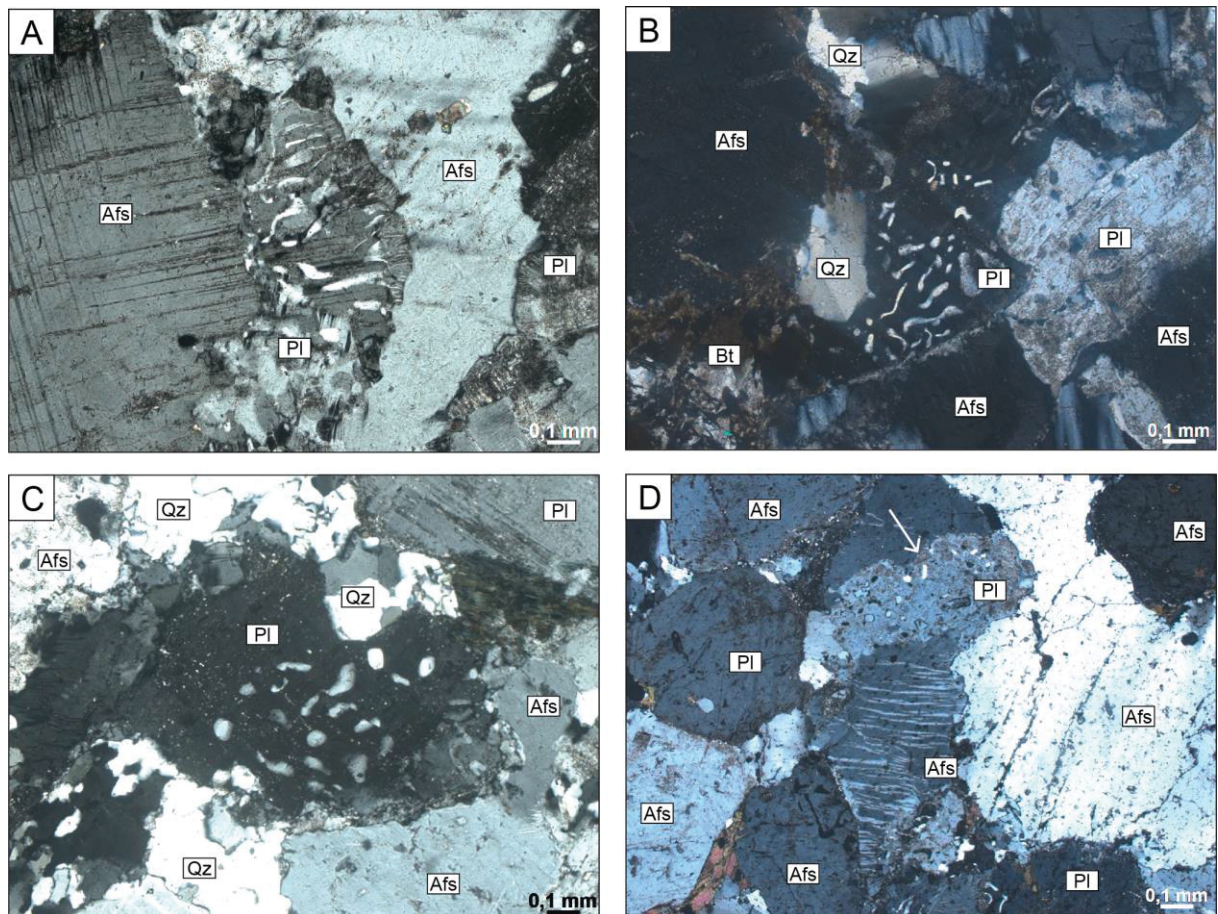


Afs: feldspato alcalino; Bt: biotita; Chl: clorita; Ep: epidoto; Pl: plagioclásio; Qz: quartzo, Ttn: titanita; Zrn: zircão.

Figura 5 – Fotomicrografias de microclínio de granitoides da Folha Rio Bacajá, polarizadores cruzados. (A) Cristal de microclínio com pertitas em chama (porção superior) e geminação em grade bem desenvolvida (porção inferior) em monzogranito (FB-15) da SIA; (B) cristal de microclínio com pertitas em chama e venulares em granodiorito (FB-146) da SIA; (C) geminação em grade bem desenvolvida (porção superior) e pertitas em chama e venulares (porção inferior) em monzogranito

(FB-13) da SIJJ I; (D) pertitas em chama bem desenvolvidas no monzogranito FB-13 (SIJJ I); (E) cristal de microclínio de granulação grossa com pertitas em chama e venulares e geminação em grade pouco desenvolvida em monzogranito (FB-44) da SIJJ I; (F) microclínio com pertitas em chama em quartzo álcali-feldspato sienito da SIJJ II.

O plagioclásio é anédrico a subédrico e mede entre 0,1 e 6 mm no CB, 0,3 e 8 mm na SIA, 0,3 e 5 mm na SIJJ I e 0,2 e 2 mm na SIJJ II. No CB e na SIJJ II não há orientação preferencial, na SIA é observada orientação fraca a moderada e na SIJJ I predominam cristais sem orientação, mas pontualmente, é descrita orientação fraca a moderada. Os contatos são retilíneos a levemente curvos e há contatos lobados na SIJJ II. Há geminação polissintética fraca a moderadamente desenvolvida, pervasiva e zoneamento concêntrico pouco desenvolvido, não pervasivo. Mirmequitas são comuns a todas as unidades, sendo mais frequentes na SIJJ I (Figura 6). Não há feições de deformação intracristalina, com exceção de um granodiorito da SIA, no qual ocorrem *kink bands* moderadamente a bem desenvolvidas, pervasivas, e de um monzogranito e um sienogranito da SIJJ I, nos quais há *kink bands* e microfraturas preenchidas por muscovita. O plagioclásio está fraca a moderadamente sausuritizado.

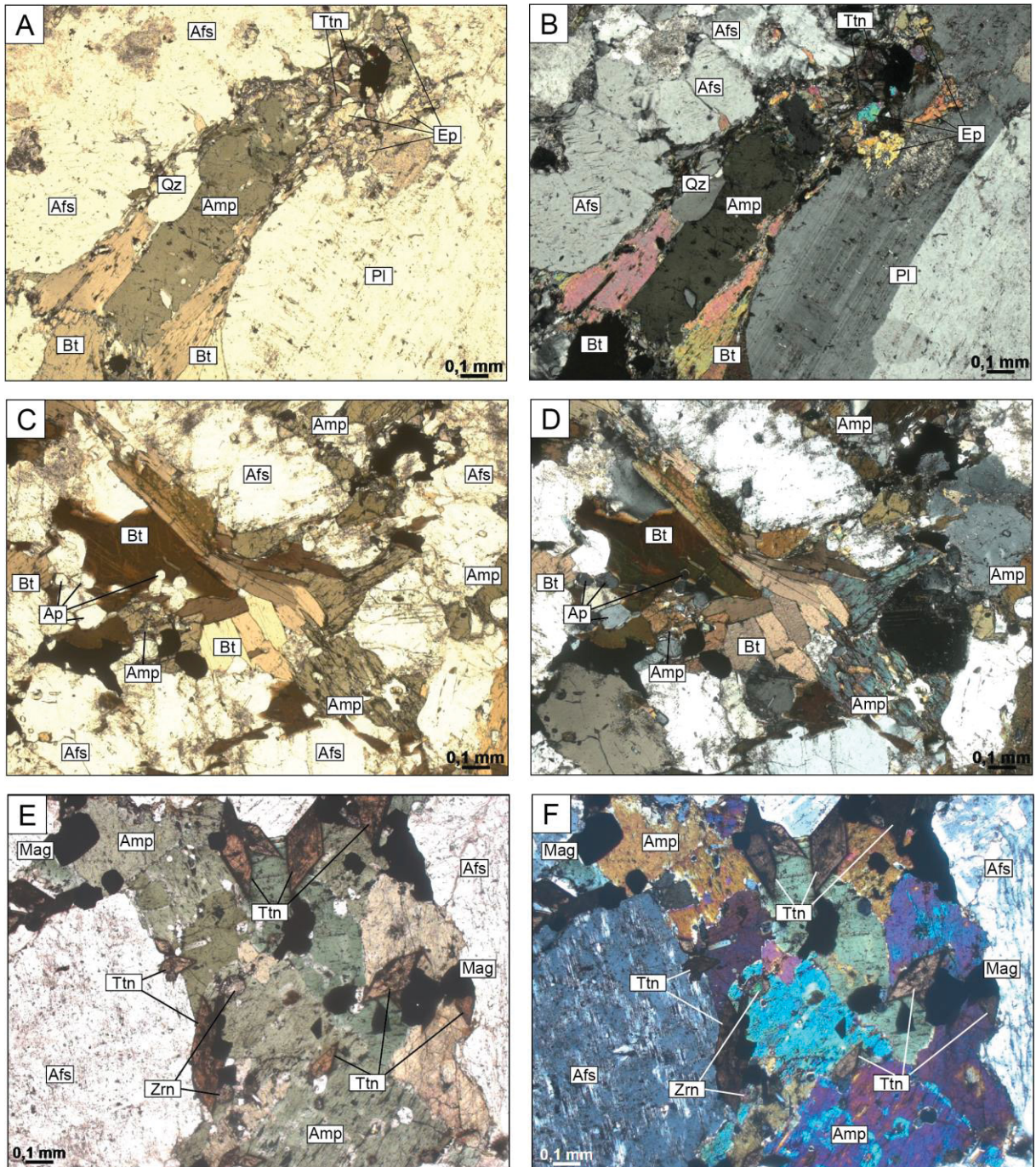


Afs: feldspato alcalino; Amp: anfibólio; Bt: biotita; Pl: plagioclásio; Qz: quartzo.

Figura 6 – Fotomicrografias de plagioclásio de granitoides da Folha Rio Bacajá, polarizadores cruzados. (A) Mirmequita bem desenvolvida em plagioclásio em contato com feldspato alcalino em monzogranito (FB-85) da SIA; (B) mirmequita bem desenvolvida em um monzogranito (FB-44) da SIJJ I; (C) e (D) são fotomicrografias de mirmequitas (seta) em sienogranito (FB-147) da SIJJ I.

A biotita é subédrica a anédrica, medindo entre 0,1 e 2 mm no CB, 0,1 e 8 mm na SIA, 0,1 e 0,3 mm na SIJJ I e entre 0,2 e 1 mm na SIJJ II. Seus contatos são retilíneos e, por vezes, levemente curvos. Com exceção das rochas da SIJJ I, salvo um monzogranito, os cristais de biotita possuem orientação preferencial fraca a moderada. Ocorre em agregados junto a anfibólio, quando presente, fases opacas e minerais acessórios (Figura 7). Está parcial a completamente substituída por clorita e alterada para minerais opacos finos ao longo das bordas e planos de clivagem. Frequentemente são observados halos pleocrôicos gerados por inclusões de zircão.

O anfibólio mede entre 0,1 e 3 mm no CB, entre 0,1 e 6 mm na SIA, entre 1,1 e 3 mm na SIJJ I e entre 0,2 e 4 mm na SIJJ II. É predominantemente anédrico a subédrico, havendo cristais euédricos na SIJJ I e seus contatos são retilíneos a levemente curvos. O anfibólio tem cor verde pálido a verde oliva e verde intenso e pleocroísmo forte em tons de verde. Ocorre em agregados não orientados de biotita, opacos e acessórios, exceto na SIA, na qual há orientação preferencial fraca. No CB, SIA e SIJJ I há alteração do anfibólio para minerais opacos finos em suas bordas e centro. Na SIJJ II o anfibólio ocorre como produto da uralitização de núcleos de clinopiroxênio e está límpido a fracamente oxidado nas bordas.

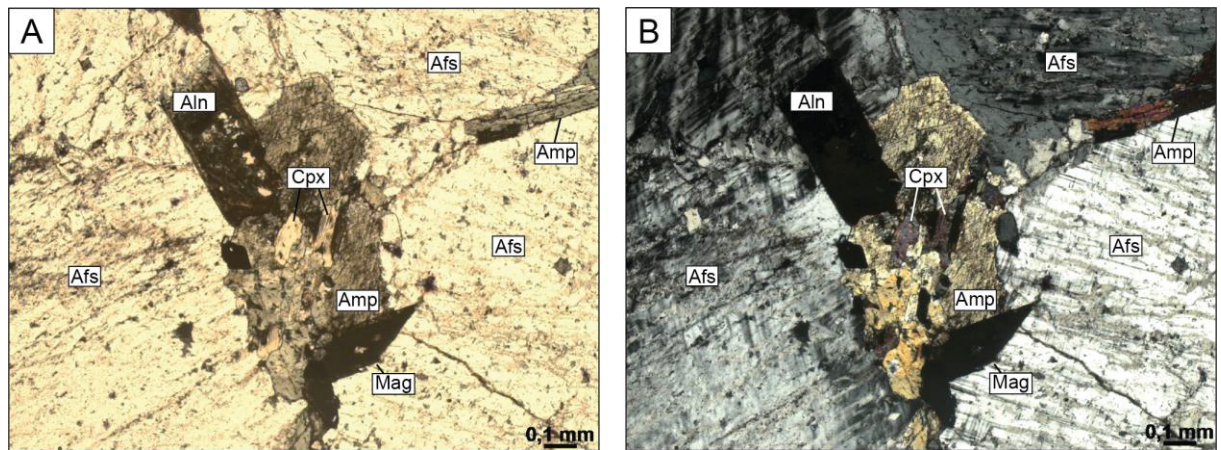


Afs: feldspato alcalino; Amp: anfibólito; Ap: apatita; Bt: biotita; Ep: epidoto; Mag: magnetita; Pl: plagioclásio; Qz: quartzo; Ttn: titanita; Zrn: zircão.

Figura 7 – Fotomicrografias de agregados maficos em granitoides da Folha Rio Bacajá. (A) e (B) Agregado orientado de anfibólito subédrico, biotita, epidoto e titanita em granodiorito (FB-146) da SIA; (C) e (D) agregado de cristais de biotita, anfibólito, apatita e magnetita em um monzogranito (FB-131) da SIJJ I; (E) e (F) agregado de anfibólito, titanita euédrica, zircão e magnetita subédrica em quartzo álcali-feldspato sienito (FB-39) da SIJJ II. As imagens (B), (D) e (F) estão com polarizadores cruzados.

O clinopiroxênio é observado apenas na SIJJ II e mede entre 0,4 e 2 mm. São cristais anédricos, com contatos retilíneos a levemente curvos. Possui cor verde

pálido e pleocroísmo fraco em tons de verde. Suas bordas estão intensamente uralitizadas e fracamente alteradas para minerais opacos (Figura 8).



Afs: feldspato alcalino; Aln: allanita; Amp: anfibólito; Cpx: clinopiroxênio; Mag: magnetita.

Figura 8 – (A) e (B) Núcleo de clinopiroxênio com bordas intensamente uralitizadas em meio a allanita, titanita alterada para magnetita e feldspato alcalino, em um quartzo álcali-feldspato sienito (FB-39) da SIJJ II. (A) em P//; (B) em PX.

Os minerais opacos foram classificados em dois grupos, primários e secundários, e foram separados por meio de sua granulação, morfologia e relação com outros minerais. Os minerais opacos primários medem entre 0,1 e 2 mm e são anédricos a euédricos. Os contatos são retilíneos a levemente curvos, e foram descritos contatos lobados na SIJJ II. A magnetita foi descrita em todas as unidades, corresponde à fase opaca predominante e ocorre frequentemente como cristais límpidos. Na SIA há cristais de magnetita com halos de epidoto primário e magnetita com interferência de cristalização de minerais acessórios, como titanita, zircão, epidoto e apatita. Na SIJJ II há magnetita com bordas de hematita. A ilmenita ocorre nas rochas da SIA e da SIJJ I em proporções semelhantes à magnetita. Na SIA ocorre ilmenita com bordas finas de magnetita. Há pequena quantidade de pirita na SIJJ I. São observados intercrescimentos de pirita com magnetita e hematita e núcleos de pirita com bordas de magnetita oxidada e reequilibrada para hematita e goethita. Os opacos se associam a agregados de biotita, anfibólito, epidoto, titanita, allanita e apatita e podem estar inclusos em quartzo, microclínio, plagioclásio, biotita, anfibólito e titanita. Na SIJJ I os opacos estão alterados para magnetita e titanita em suas bordas e para leucoxênio no centro e na SIJJ II há pseudomorfos de titanita substituídos por magnetita nas bordas e limonita no centro. Frequentemente há textura esqueletal pouco desenvolvida, não pervasiva. As fases opacas primárias

correspondem de 80 - 95% dos opacos totais no CB, 50 - 95% na SIA, 40 - 100% na SIJJ I e 80 - 85% na SIJJ II.

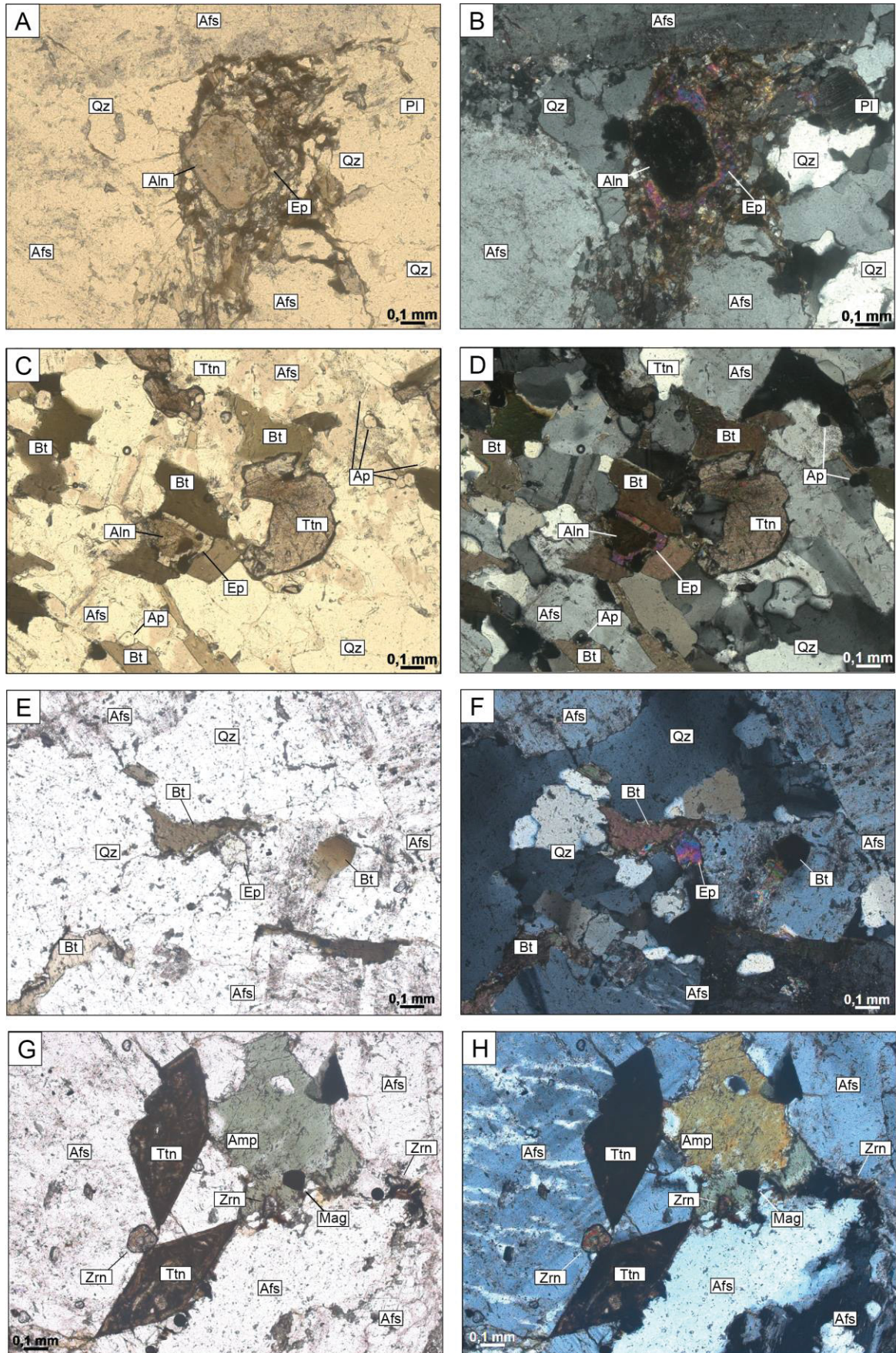
Os opacos secundários medem entre <0,1 e 0,3 mm e são anédricos, produtos de alteração de biotita, anfibólito, clorita (SIA e SIJJ I) e piroxênio (SIJJ II). Em dois monzogranitos do CB, dois monzogranitos da SIA, um monzogranito e um sienogranito da SIJJ I há simplectitos formados por cristais muito finos de opacos nos contatos entre biotita e plagioclásio ou entre biotita e microclínio.

Assim como as fases opacas, os cristais de epidoto podem ser primários ou secundários, e se distinguem por sua granulação, morfologia e associação com outros minerais. Com exceção de um monzogranito do CB e um sienogranito da SIJJ I, epidoto primário ocorre em todas as amostras. Mede entre <0,1 e 1 mm no CB, 0,2 e 1 mm na SIA e SIJJ I, e entre 0,2 e 0,7 mm na SIJJ II. O epidoto primário é anédrico a subédrico, sendo observados cristais euédricos na SIA e SIJJ I (Figura 9.C-D, 9.E-F). Geralmente o epidoto se associa a agregados de minerais maficos, ou como inclusões em quartzo, microclínio, plagioclásio e biotita. No CB, SIA e SIJJ I, o epidoto envolve cristais de allanita (Figura 9.A-F).

O epidoto secundário tem tamanho <0,1 mm, é anédrico granular e ocorre como produto da saussuritização de plagioclásio e como preenchimento de veios finos de um sienogranito da SIJJ I.

A allanita é anédrica a subédrica e mede entre 0,2 e 1 mm no CB, SIA e SIJJ I, e entre 0,2 e 0,7 mm na SIJJ II. Na SIJJ I, cristais de allanita podem ser euédricos. Este mineral se associa a agregados de minerais maficos e frequentemente possui feições metamíticas e zoneamento oscilatório.

A titanita mede entre 0,1 e 2,1 mm e é anédrica a euédrica. Ocorre em agregados de biotita e em um monzogranito da SIA, como simplectitos formados nos contatos entre anfibólito e plagioclásio. Apatita e zircão têm tamanho entre <0,1 e 1 mm, são subédricos a euédricos, ocorrem em agregados de biotita e anfibólito (Figura 9.G-H) e como inclusões em quartzo, plagioclásio, microclínio, biotita e anfibólito.



Afs: feldspato alcalino; Amp: anfibólito; Ap: apatita; Bt: biotita; Ep: epidoto; Mag: magnetita; Pl: plagioclásio; Qz: quartzo; Ttn: titanita; Zrn: zircão.

Figura 9 – (A) e (B) cristal de allanita metamítico envolto por epidoto primário em meio a quartzo e feldspato alcalino em um monzogranito (FB-133) do CB; (C) e (D) agregado máfico composto por biotita anédrica, allanita subédrica com borda de epidoto primário, titanita anédrica e apatita em quartzo monzodiorito (FB-123) da SIA; (E) e (F) epidoto primário subédrico em contato com cristal de biotita em monzogranito (FB-44) da SIJJ I; (G) e (H) cristais de titanita alterada para limonita junto a anfibólito, zircão zonado, magnetita e feldspato alcalino em quartzo álcalfeldspato sienito (FB-39) da SIJJ II. As imagens (B), (D), (F) e (H) estão com os polarizadores cruzados.

#### **4.1. MICROSCOPIA ELETRÔNICA DE VARREDURA COM ESPECTROMETRIA POR DISPERSÃO DE ENERGIA – MEV-EDS**

No Quadro 4 estão relacionadas as amostras selecionadas para análises da composição química de fases minerais opacas (Figura 10).

Quadro 4 - Lâminas petrográficas selecionadas para análises de MEV-EDS.

Unidade	Lâmina	Litotipo
SIA	FB-15	monzogranito
	FB-146	granodiorito
SIJJ I	FB-44	monzogranito
	FB-131	monzogranito
SIJJ II	FB-20	quartzo álcalfeldspato sienito
	FB-39	quartzo álcalfeldspato sienito

Nas amostras de granodiorito FB-146 (SIA), monzogranito FB-131 (SIJJ I) e quartzo álcalfeldspato sienitos da SIJJ II (FB-20 e FB-39) há cristais opacos compostos por Fe (cerca de 85% peso) e O (cerca de 15% peso), confirmando, com o amparo de análises petrográficas sob luz refletida, a presença de magnetita nessas rochas. Além de magnetita, o monzogranito FB-15 da SIA possui cristais compostos por Fe (40% peso), Ti (35% peso) e O (25% peso), assim como o monzogranito da SIJJ I, evidenciando a existência de ilmenita nessas unidades. No monzogranito FB-44 da SIJJ I foram identificados núcleos de pirita com bordas oxidadas de magnetita.

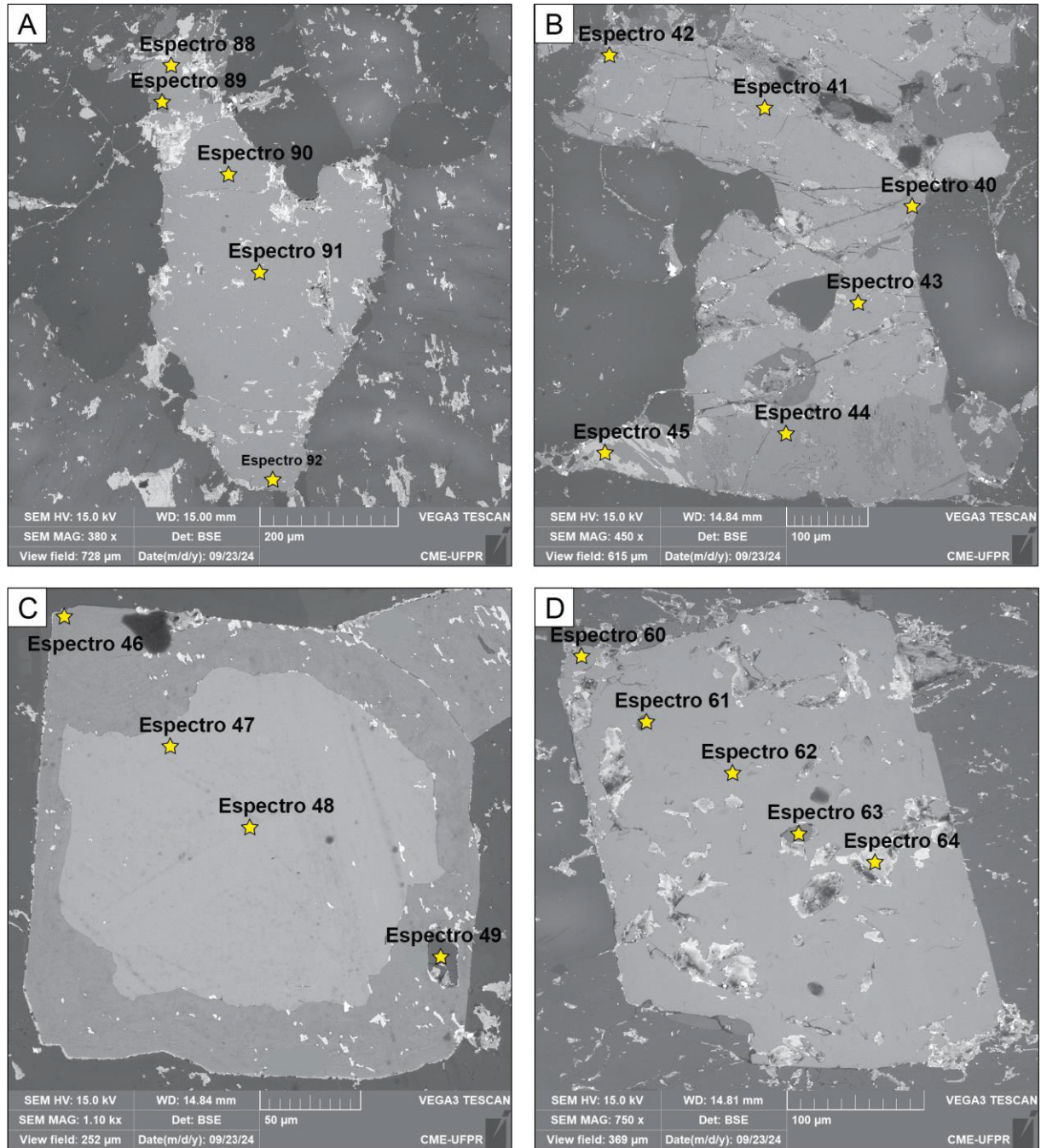


Figura 10 – Imagens obtidas com detector de elétrons retroespelhados de fases opacas de granitoides da Folha Rio Bacajá. Estrelas representam pontos analisados por EDS. (A) Ilmenita em monzogranito (FB-15) da SIA; (B) cristais de magnetita (porção superior) e ilmenita (porção inferior) em monzogranito (FB-131) da SIJJ I (C) núcleo de pirita com bordas de magnetita em monzogranito (FB-44) da SIJJ I; (D) magnetita com inclusão de apatita (espectro 63) em quartzo álcabi-feldspato sienito da SIJJ II.

## 5. QUÍMICA MINERAL

Foram analisados cristais de microclínio, plagioclásio, biotita e anfibólito por microssonda eletrônica. Os dados brutos estão apresentados no Apêndice 3.

Análises de cristais de microclínio (Figura 11.A-C) evidenciaram predominância de moléculas de ortoclásio em todas as unidades estudadas (Figura 12). Os cristais do CB e SIA possuem composições muito semelhantes, homogêneas, potássicas. Nas amostras da SIJJ I observou-se aumento sutil de sódio, evidenciado pela tendência albítica. O microclínio da SIJJ II possui a maior quantidade de sódio dentre todas as unidades, mas ainda predominam moléculas de ortoclásio. Foram analisadas pertitas, correspondentes aos pontos plotados no extremo albítico do diagrama de Deer *et al.* (1992).

Os centros e bordas de cristais de plagioclásio (Figura 11.D-F) são formados por oligoclásio, com poucas exceções. Observou-se aumento de Ca nas porções intermediárias, compostas por andesina, em relação ao centro dos cristais, compostos por oligoclásio (Figura 12) do CB e SIA. Na SIJJ I as composições de centros e bordas são homogêneas, não havendo zoneamento composicional. O plagioclásio dessa unidade foi classificado como oligoclásio.

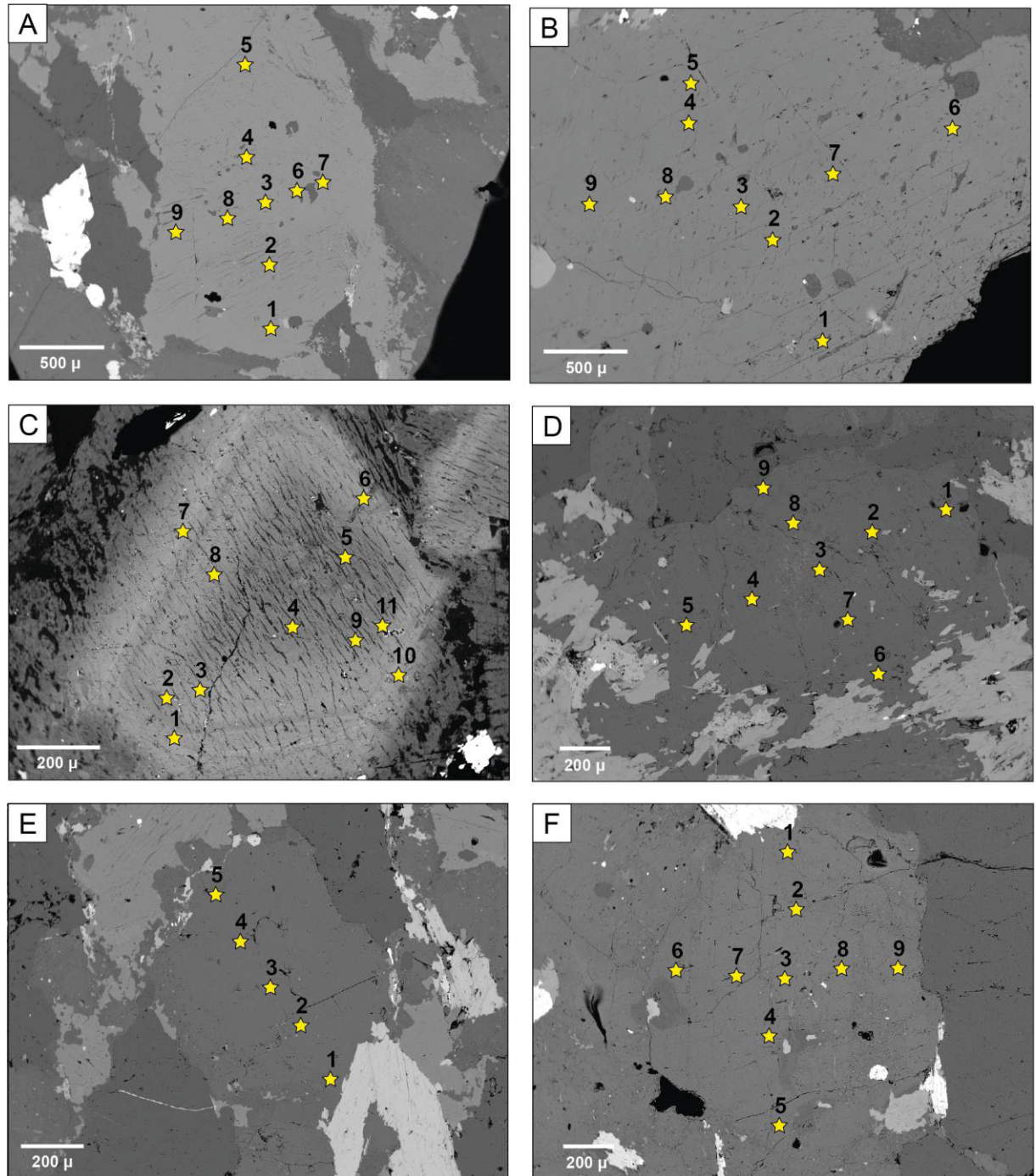


Figura 11 – Imagens em elétrons retroespelhados de cristais de feldspatos de granitoides da Folha Rio Bacajá analisados por microssonda eletrônica. Estrelas representam pontos analisados. (A) e (B) representam cristais de microclínio pertítico do granodiorito (FB-146) da SIA e do monzogranito (FB-131) do CB, respectivamente; (C) microclínio pertítico com zoneamento concêntrico em quartzo álcaldi-feldspato sienito (FB-20) da SIJJ II; (D), (E) e (F) representam cristais de plagioclásio dos monzogranitos FB-150 do CB, FB-15 da SIA e FB-44 da SIJJ I, respectivamente.

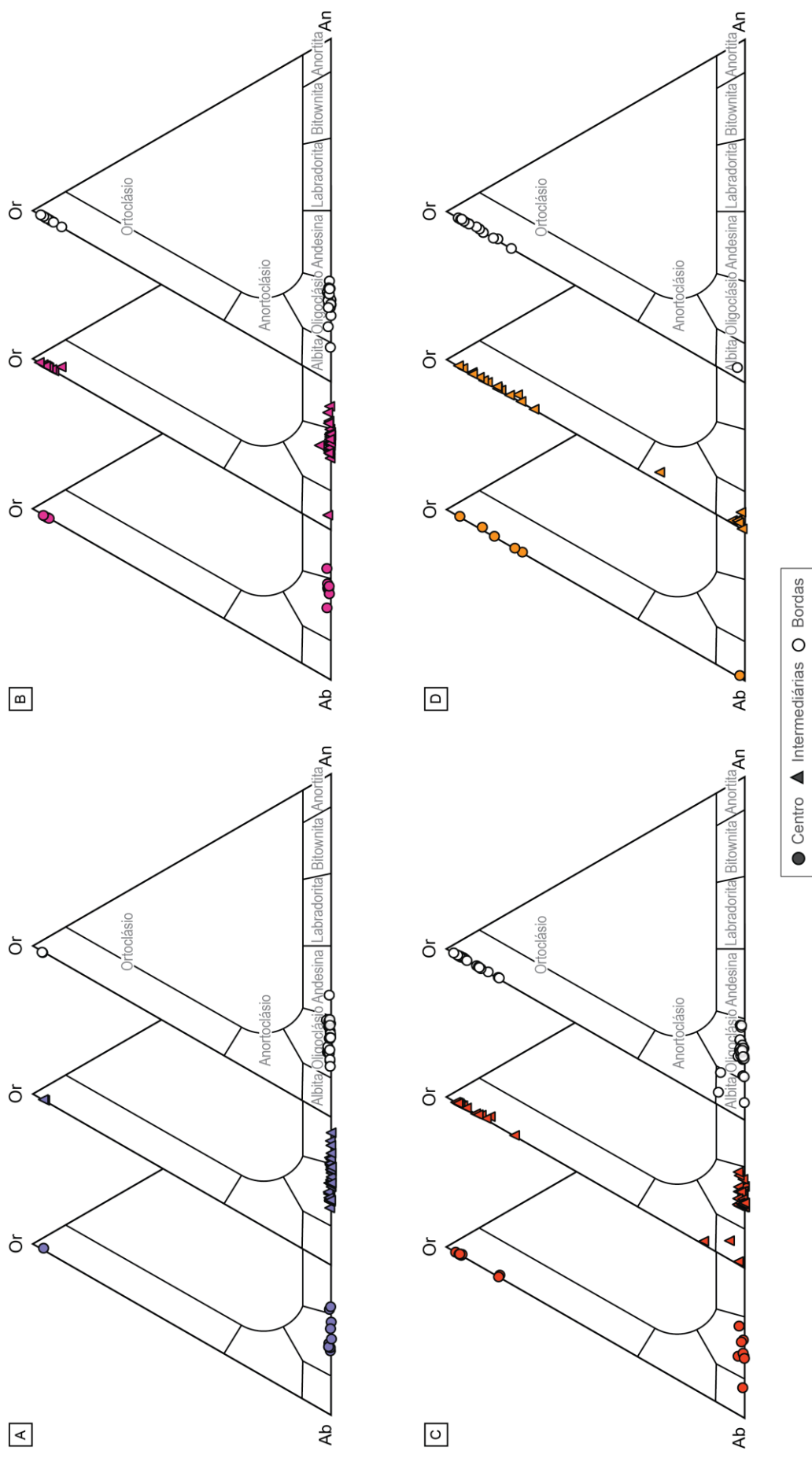


Figura 12 – Diagrama Ab-Or-An para cristais de feldspato alcalino e plagioclásio: (A) Complexo Bacajá; (B) Suite Intrusiva Arapari; (C) Suite Intrusiva João Jorge I; (D) Suite Intrusiva João Jorge II. Fonte: Deer *et al.* (1992).

A determinação da biotita do CB, SIA e SIJJ I (Figura 13) segundo a classificação de Deer *et al.* (1992) pode ser observada na Figura 14. A biotita do CB é rica em Fe e possui valores de  $\text{Fe}/(\text{Fe}+\text{Mg})$  entre 0,59 e 0,71 e o  $\text{Al}^{\text{IV}}$  está em torno de 2,4 em todas as amostras. Os cristais da SIA têm razão  $\text{Fe}/(\text{Fe}+\text{Mg})$  entre 0,47 e 0,64 e o  $\text{Al}^{\text{IV}}$  varia entre 2,2 e 2,4. O aumento de Fe é diretamente proporcional ao aumento de  $\text{Al}^{\text{IV}}$  e foi tendência em direção ao polo da siderofilita. Na SIJJ I foram observados dois grupos distintos de biotita. O primeiro grupo, representado pelos monzogranitos FB-44 e FB-131, possui  $\text{Fe}/(\text{Fe}+\text{Mg})$  entre 0,38 e 0,51 e seu  $\text{Al}^{\text{IV}}$  varia de 2,2 a 2,4, se aproximando da composição da flogopita. A biotita do segundo grupo possui  $\text{Fe}/(\text{Fe}+\text{Mg})$  entre 0,64 e 0,72 e  $\text{Al}^{\text{IV}}$  entre 2,3 e 2,5, tendendo à composição da siderofilita, assim como observado na SIA.

No CB os valores de Ti (afu) variam entre 0,232 e 0,382 e na SIA entre 0,202 e 0,376. Na SIJJ I há maior variação do Ti, entre 0,151 e 0,590.

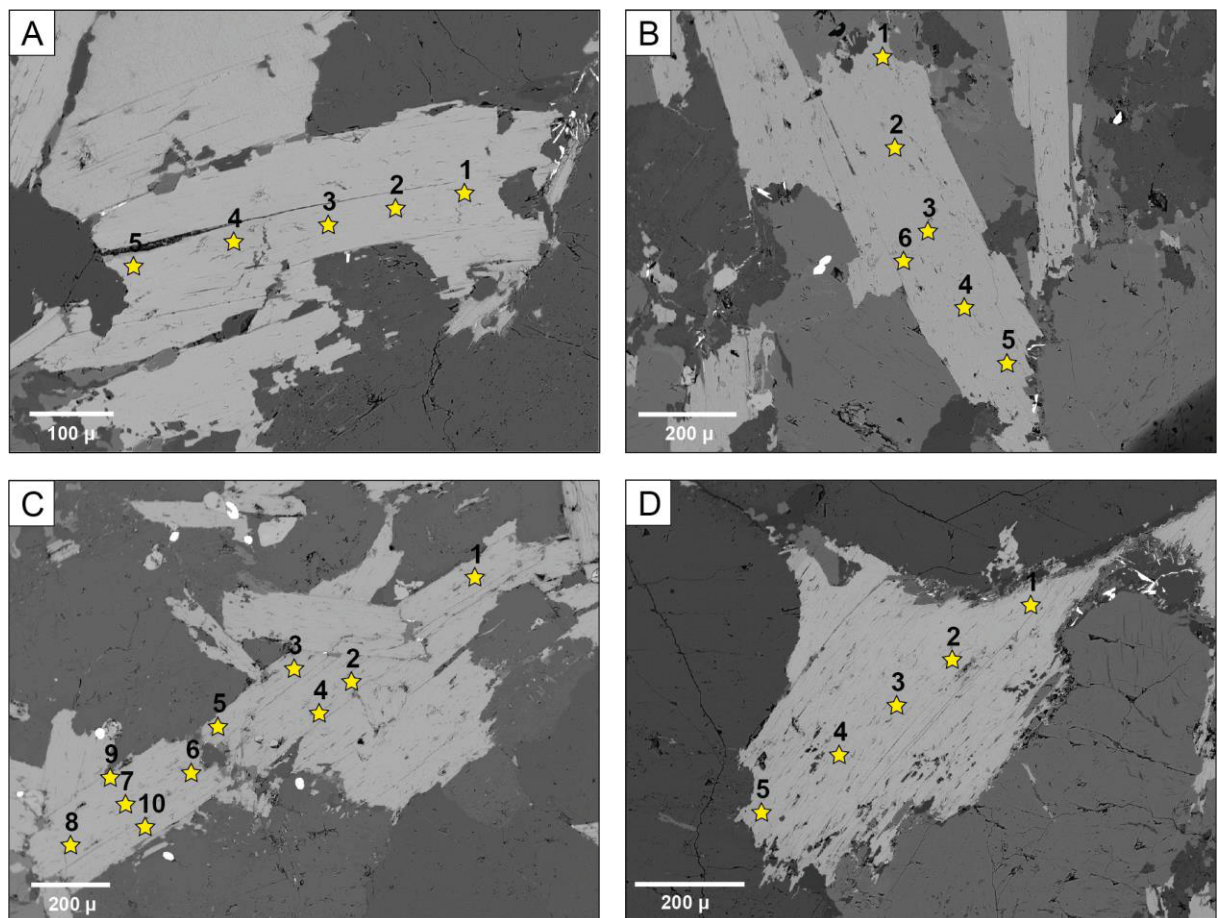


Figura 13 - Imagens de elétrons retroespelhados de cristais de biotita de granitoides da Folha Rio Bacajá analisados por microssonda eletrônica. Estrelas representam pontos analisados. (A), (B), (C) e (D) representam cristais de biotita subédrica dos monzogranitos FB-14 (CB), FB-15 (SIA), FB-13 (SIJJ I) e do sienogranito FB-47 (SIJJ I), respectivamente.

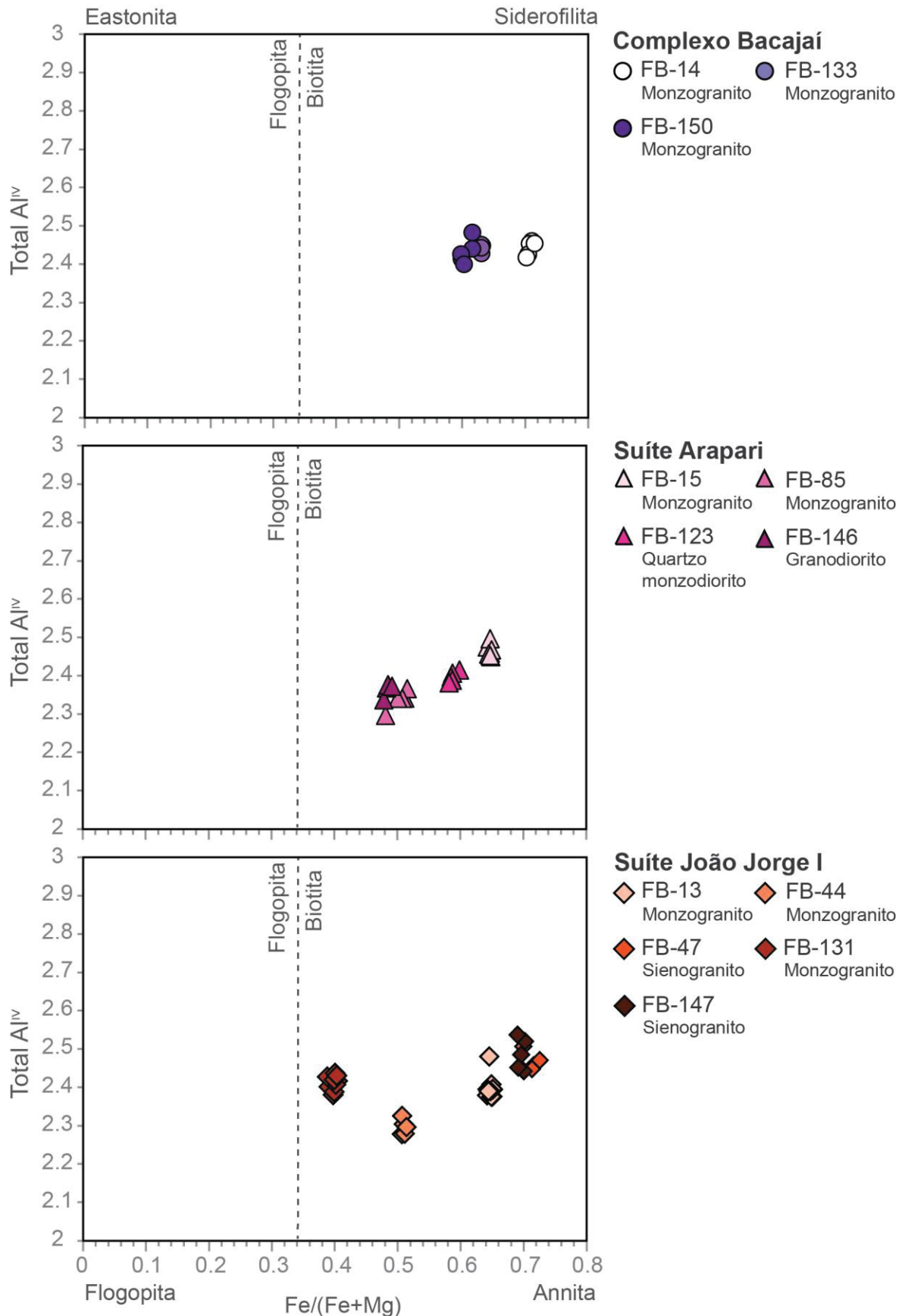


Figura 14 – Diagrama de classificação de biotita do Complexo Bacajaí, Suíte Intrusiva Arapari e Suíte Intrusiva João Jorge I. Fonte: Deer *et al.* (1992).

Segundo o diagrama  $\text{FeO}_{(\text{t})} + \text{MnO} - 10\text{*TiO}_2 - \text{MgO}$  proposto por Nachit *et al.* (2005) para a distinção entre cristais magmáticos, reequilibrados e neoformados, a biotita de todas as unidades foi classificada como primária e primária reequilibrada (Figura 15).

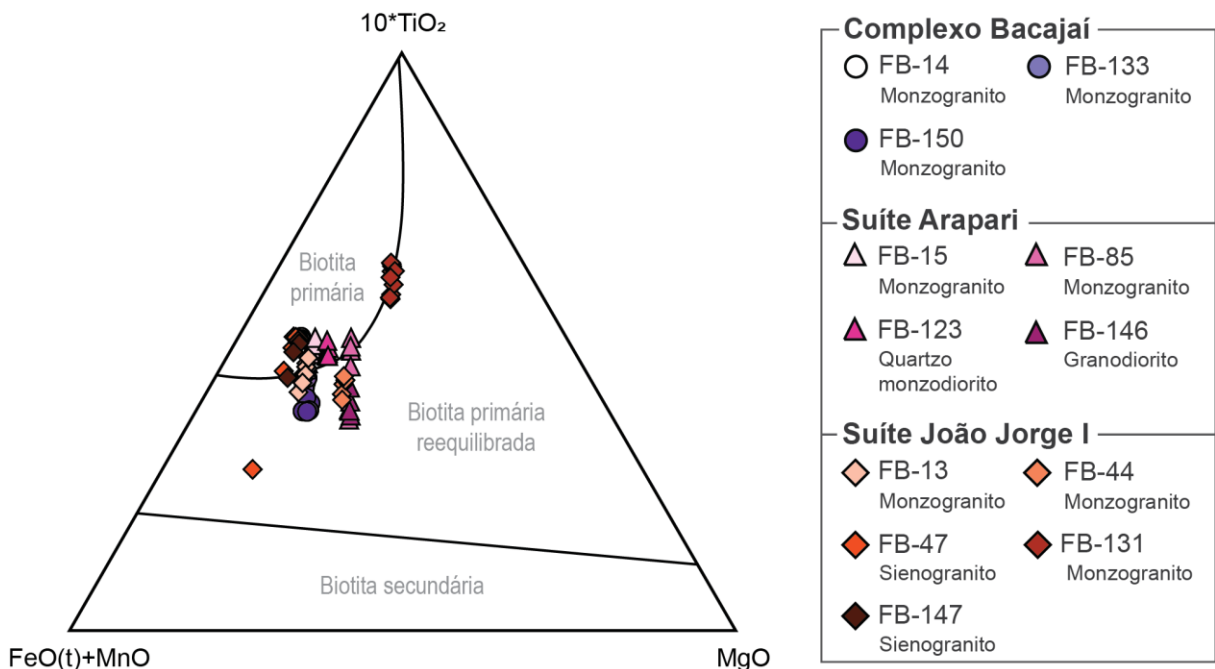


Figura 15 – Diagrama  $\text{FeO}_{(\text{t})} + \text{MnO} - 10\text{*TiO}_2 - \text{MgO}$  para a classificação de biotita do Complexo Bacajaí, Suíte Intrusiva Arapari e Suíte Intrusiva João Jorge I. Fonte: Nachit *et al.* (2005).

Os cristais de anfibólio (Figura 16) de todas as unidades pertencem ao grupo dos anfibólios cálcicos ( $\text{Ca}_\text{B} \geq 1,50$ ;  $(\text{Na}+\text{K})_\text{A} < 0,50$ ;  $\text{Ca}_\text{A} < 0,50$ ), de acordo com a classificação proposta por Leake *et al.* (1997) (Figura 17), e são homogêneos.

No CB o anfibólio foi classificado como Fe-tschermakita, com proporções de  $\text{Mg}/(\text{Mg}+\text{Fe}^{2+})$  entre 0,38 e 0,43 e  $\text{Si}^{\text{IV}}$  entre 6,26 e 6,47 afu. Na SIA ocorre Mg-hornblenda (monzogranito FB-85), com  $\text{Mg}/(\text{Mg}+\text{Fe}^{2+})$  entre 0,57 e 0,64 e  $\text{Si}^{\text{IV}}$  entre 6,52 e 6,81 afu e Fe-tschermakita (quartzo monzodiorito FB-123), com razões  $\text{Mg}/(\text{Mg}+\text{Fe}^{2+})$  entre 0,42 e 0,44 e  $\text{Si}^{\text{IV}}$  entre 6,36 e 6,42 afu. Os cristais de anfibólio do granodiorito FB-146 variam entre Mg-hornblenda e Fe-tschermakita e possuem razão  $\text{Mg}/(\text{Mg}+\text{Fe}^{2+})$  entre 0,56 e 0,60 e  $\text{Si}^{\text{IV}}$  entre 6,43 e 6,66. Na SIJJ I o anfibólio é Mg-hornblenda e possui  $\text{Mg}/(\text{Mg}+\text{Fe}^{2+})$  entre 0,65 e 0,71 e  $\text{Si}^{\text{IV}}$  entre 6,50 e 6,69 afu. Nos quartzo álcali-feldspato sienitos da SIJJ II predomina Mg-hornblenda, com  $\text{Mg}/(\text{Mg}+\text{Fe}^{2+})$  entre 0,56 e 0,74 (FB-20) e 0,71 e 0,78 (FB-39), e conteúdo de  $\text{Si}^{\text{IV}}$  entre 6,74 e 7,32 afu (FB-20) e 7,32 e 7,57 afu (FB-39).

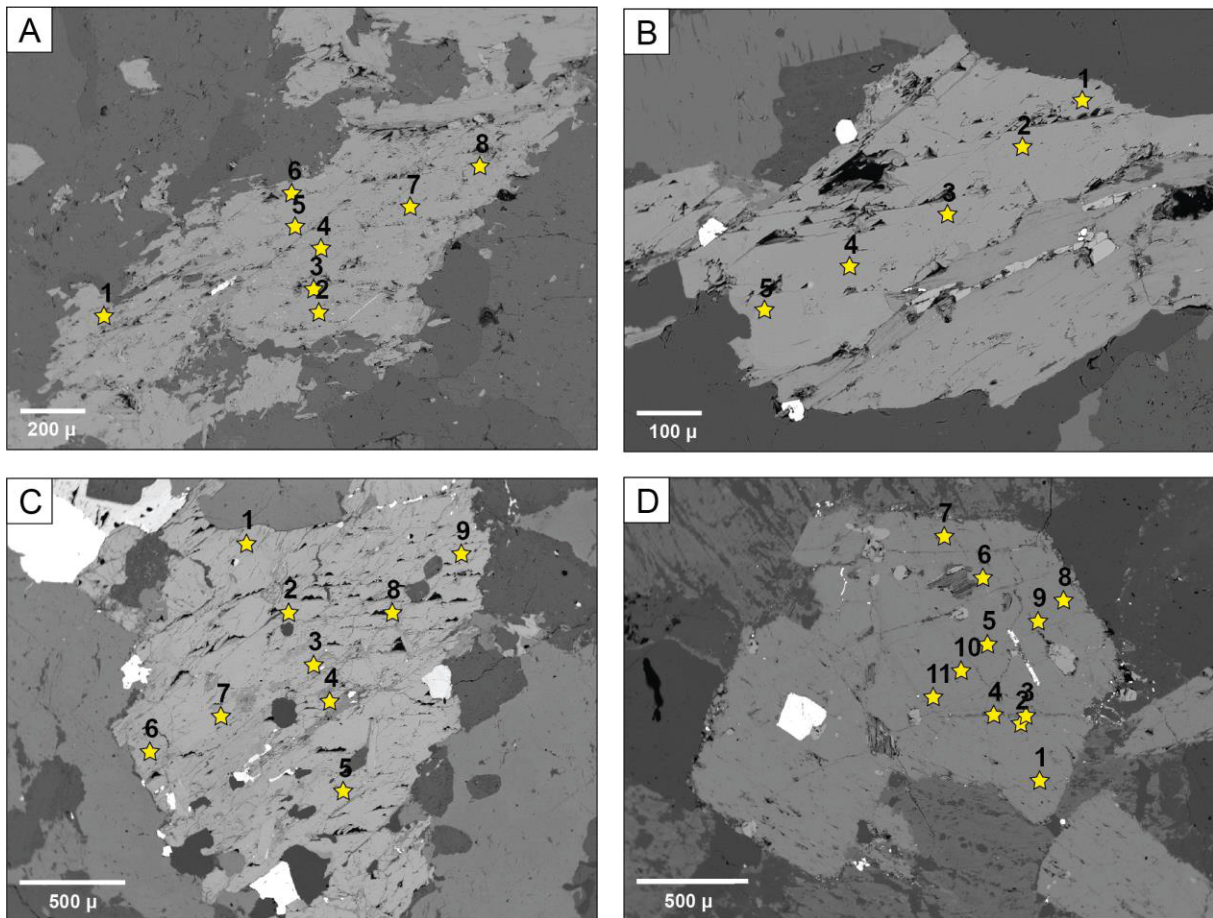


Figura 16 – Imagens em elétrons retroespelhados de cristais de anfíbolio de granitoides da Folha Rio Bacajá analisados por microssonda eletrônica. Estrelas representam pontos amostrados. (A), (B), (C) e (D) representam cristais de Mg-hornblenda nos monzogranitos FB-150 (CB), FB-85 (SIA), FB-131 (CB) e no quartzo álcali-feldspato sienito FB-20 da SIJJ II, respectivamente.

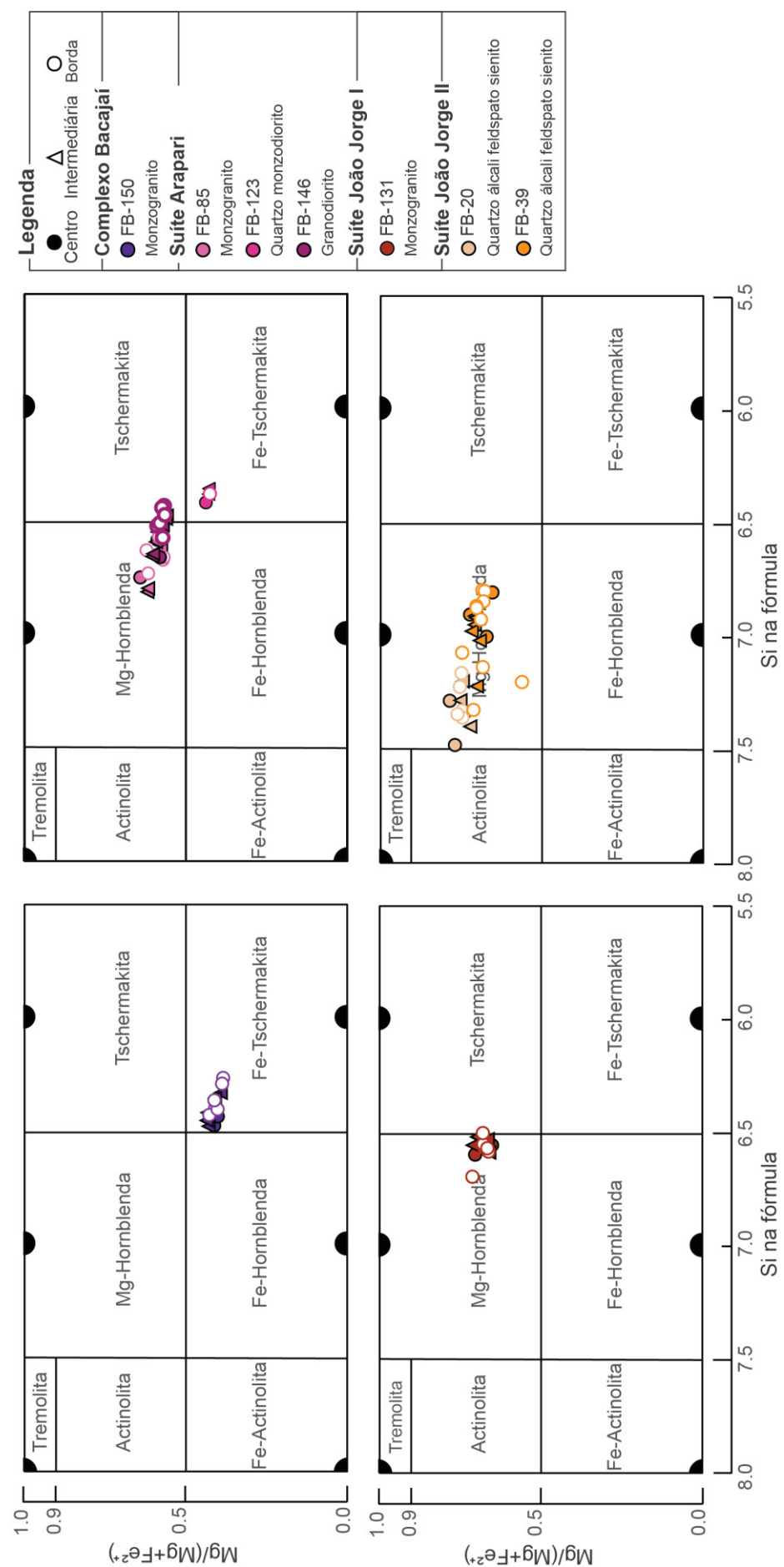


Figura 17 – Diagrama  $Mg/(Mg+Fe^{2+})$  vs Si para a composição de anfíbólito do Complexo Bacajá e suites intrusivas Arapari, João Jorge I e João Jorge II.  
Fonte: Leake et al. (1997).

### 5.1. Geotermobarometria

Anfibólios cárpicos são minerais comuns em rochas félscicas e intermediárias.

Sua série é uma solução sólida com composição sensível à pressão, temperatura e composição da rocha hospedeira, características que tornam anfibólios cárpicos minerais úteis para estimar diretamente as condições de evolução magmática (Mutch *et al.* 2016).

Na Tabela 2 estão representadas as estimativas de pressão, obtidas a partir dos geobarômetros de Hollister *et al.* (1987), Johnson & Rutherford (1989), Schmidt (1991) e Mutch *et al.* (2016) para rochas do CB, SIA e SIJJ I. Na Figura 18 estão representados seus intervalos de cristalização.

Tabela 2 - Estimativas geobarométricas para rochas do Complexo Bacajaí e suítes intrusivas Arapari e João Jorge I a partir das calibrações de Hollister *et al.* (1987), Johnson & Rutherford (1989), Schmidt (1992) e Mutch *et al.* (2016). \*C1 e \*C2 correspondem aos cristais utilizados para o cálculo geobarométrico.

Unidade	Amostra	Litologia	Cristal* (bordas)	Geobarometria			
				Pressão (kbar)			
				Hollister <i>et al.</i>	Johnson & Rutherford	Schmidt	Mutch <i>et al.</i>
Complexo Bacajaí	FB-150	Monzogranito	C1	6,2	4,8	6,2	4,9
			C1	6,0	4,6	6,1	4,8
			C1	7,1	5,4	7,0	5,6
			C1	5,9	4,5	5,9	4,6
			C2	7,4	5,7	7,3	5,8
			C2	6,7	5,1	6,7	5,3
Suíte Arapari	FB-85	Monzogranito	C1	5,0	3,8	5,2	4,0
			C1	4,2	3,3	4,6	3,6
			C1	3,8	3,0	4,2	3,3
			C1	4,7	3,6	5,0	3,9
			C2	4,4	3,4	4,7	3,6
	FB-123	Quartzo monzodiorito	C2	4,4	3,4	4,7	3,7
			C1	6,0	4,6	6,0	4,7
			C1	4,7	3,6	4,9	3,8
			C1	5,5	4,2	5,6	4,4
			C1	4,9	3,8	5,1	4,0
Suíte João Jorge I	FB-146	Granodiorito	C1	5,0	3,9	5,3	4,1
			C2	5,6	4,3	5,7	4,5
			C2	5,4	4,2	5,6	4,3
			C1	4,8	3,7	5,0	3,9
			C1	4,5	3,5	4,8	3,7
			C1	3,8	2,9	4,2	3,3

As pressões de cristalização obtidas para o monzogranito FB-150 do CB são as mais altas dentre todas as unidades, entre 4,5 e 7,4 kbar. As pressões estimadas

para as rochas da SIA e SIJJ I são semelhantes, sendo os valores para a SIA ligeiramente mais altos. Os valores obtidos para essas unidades são 3,0 a 6,0 kbar, para a SIA, e 2,9 a 5,0 kbar, para a SIJJ I. Os geobarômetros de Schmidt (1992), o qual considera pressão a principal variável responsável por variações de Alt<sub>total</sub> em hornblenda, e Hollister *et al.* (1987), o qual leva em consideração pressão e temperatura na composição do anfibólio, fornecem valores próximos. Os valores obtidos a partir dessas calibrações são: 5,9 – 7,4 kbar e 5,9 – 7,3 kbar, para o CB; 3,8 – 6,0 kbar e 4,2 – 6,0 kbar, para a SIA e 3,8 – 4,8 e 4,2 – 5,0, para a SIJJ I. As menores pressões foram calculadas a partir da calibração experimental de Johnson & Rutherford (1989). Valores intermediários foram calculados a partir do trabalho de Mutch *et al.* (2016), o qual cobre um intervalo de pressão mais amplo do que os demais trabalhos utilizados (0,8 – 10 kbar), dependente de uma quantidade maior de variáveis.

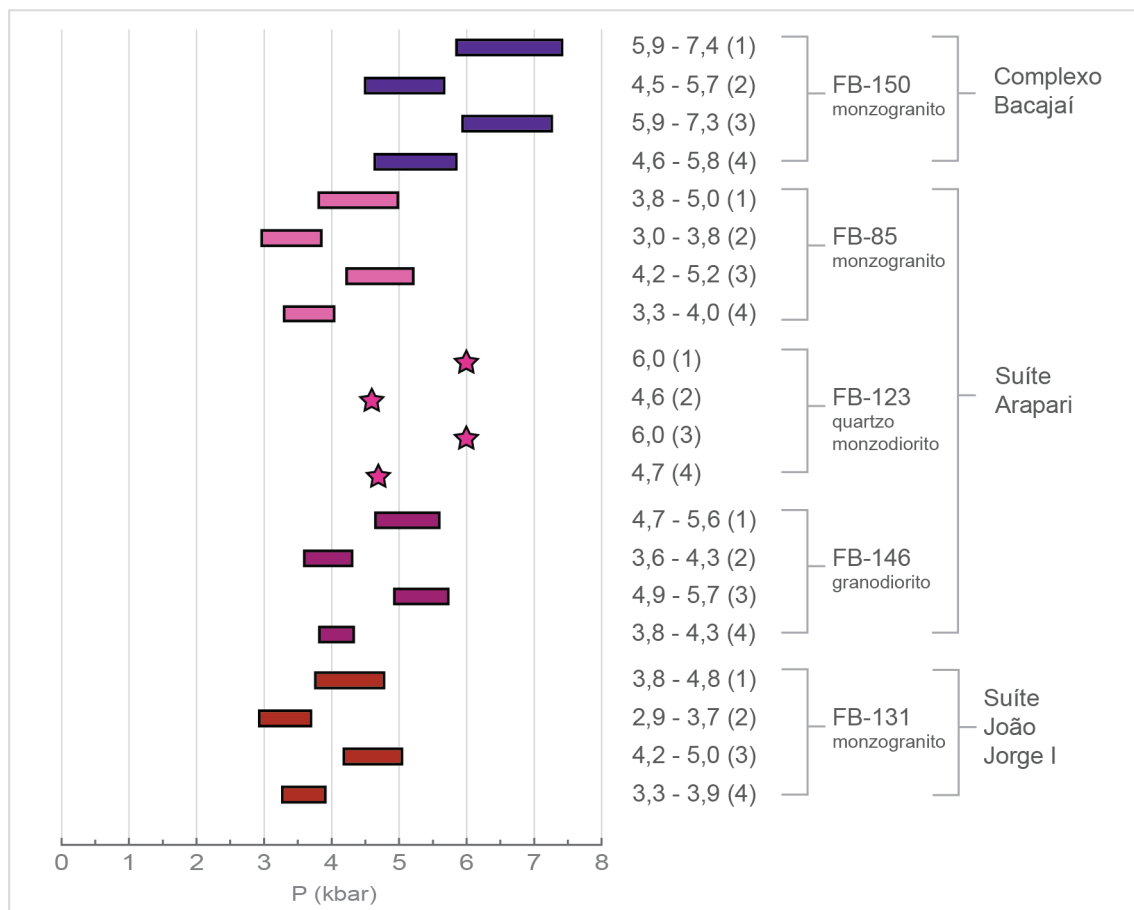


Figura 18 – Intervalos de pressão de cristalização para os monzogranitos FB-150 (CB) e FB-85 (SIA), quartzo monzodiorito FB-123 (SIA), granodiorito FB-146 (SIA) e monzogranito FB-131 (SIJJ I), estimados a partir dos trabalhos de: (1) Hollister *et al.* (1987); (2) Johnson & Rutherford (1989); (3) Schmidt (1992) e (4) Mutch *et al.* (2016).

A profundidade de cristalização (Tabela 3) foi calculada considerando a equação  $P = pgh$ , na qual  $P$  é a pressão (Pa),  $p$  corresponde à densidade média da crosta continental ( $2.700 \text{ kg/m}^3$ ),  $g$  é a aceleração da gravidade ( $\sim 9,8 \text{ m/s}^2$ ) e  $h$  é a profundidade (m).

Tabela 3 – Estimativas de profundidade de cristalização para rochas do Complexo Bacajaí e suítes intrusivas Arapari e João Jorge I a partir das calibrações de Hollister *et al.* (1987), Johnson & Rutherford (1989), Schmidt (1992) e Mutch *et al.* (2016). \*C1 e \*C2 correspondem aos cristais utilizados para o cálculo geobarométrico.

Geobarometria							
Unidade	Amostra	Litologia	Cristal* (bordas)	Profundidade (km)			
				Hollister <i>et al.</i>	Johnson & Rutherford	Schmidt	Mutch <i>et al.</i>
Complexo Bacajaí	FB-150	Monzogranito	C1	23	18	24	18
			C1	23	18	23	18
			C1	27	20	26	21
			C1	22	17	22	18
			C2	28	21	27	22
			C2	25	19	25	20
Suite Arapari	FB-85	Monzogranito	C1	19	15	20	15
			C1	16	12	17	13
			C1	14	11	16	12
			C1	18	14	19	15
			C2	16	13	18	14
	FB-123	Quartzo monzodiorito	C2	17	13	18	14
			C1	22	17	23	18
			C1	18	14	19	14
			C1	21	16	21	17
			C1	18	14	19	15
Suite João Jorge I	FB-146	Granodiorito	C1	19	15	20	15
			C2	21	16	22	17
			C2	20	16	21	16
			C1	18	14	19	15
			C1	17	13	18	14
	FB-131	Monzogranito	C1	14	11	16	12
			C1	17	13	18	14
			C2	18	14	19	14
			C2	18	14	19	14

As profundidades de cristalização obtidas para o monzogranito FB-150 (CB) definem valores entre 17 e 28 km. Para as amostras da SIA foram calculadas profundidades entre 11 e 20 km para o monzogranito FB-85; 17 a 23 kbar para o quartzo monzodiorito FB-123 e 14 a 22 km para o granodiorito FB-146. Profundidades entre 12 e 19 km foram estimadas para o monzogranito da SIJJ I.

A Tabela 4 relaciona as estimativas da temperatura de cristalização das rochas do CB, SIA e SIJJ II obtidas com base nos trabalhos de Blundy & Holland

(1990), Holland & Blundy (1994), Ridolfi *et al.* (2010) e Putirka (2016). Na Figura 19 estão representadas as faixas de temperatura calculadas para cada unidade.

Tabela 4 - Estimativas geotermométricas para as rochas do Complexo Bacajaí e suítes intrusivas Arapari, João Jorge I e João Jorge II. \*C(b), \*C(i) e \*C(c) se referem a análises pontuais realizadas nas bordas, porções intermediárias e centro dos cristais de anfibólito, respectivamente. \*HB 1 se refere à reação de calibração termométrica de Holland & Blundy (1994) edenita + 4 quartzo = tremolita + albita; \*HB 2 se refere à reação de calibração termométrica de Holland & Blundy (1994) edenita + albita = richterita + anortita. (Continua)

Geotermometria								
Unidade	Amostra	Litologia	Cristal/ Posição	Temperatura (°C)				
				Blundy & Holland		Holland & Blundy		
				1990	1994	Ridolfi et al.		
Complexo Bacajaí	FB-150	Monzogranito	C1(b)	750	707	711	-	758
			C1(b)	749	700	713	-	751
			C1(i)	752	712	723	-	751
			C1(c)	751	717	722	-	767
			C1(i)	750	708	722	-	758
			C1(b)	768	721	734	-	772
			C1(i)	756	710	733	-	755
			C1(b)	789	745	772	-	769
			C2(b)	784	714	738	-	758
			C2(i)	759	707	714	-	762
			C2(c)	748	700	714	-	762
			C2(i)	775	716	740	-	757
			C2(b)	757	694	718	-	754
Suíte Arapari	FB-85	Monzogranito	C1(b)	732	713	709	851	781
			C1(i)	736	721	723	846	784
			C1(c)	707	680	689	800	746
			C1(i)	699	686	687	800	756
			C1(b)	713	698	699	826	771
			C1(i)	690	656	652	805	750
			C1(b)	673	652	599	810	751
			C1(i)	724	694	702	834	772
			C1(b)	713	700	684	842	780
			C2(b)	707	678	677	822	758
			C2(i)	723	695	701	832	771
			C2(c)	733	710	717	840	778
			C2(i)	725	708	705	837	774
			C2(b)	706	683	667	829	762
FB-123		Quartzo monzodiorito	C1(b)	744	723	713	-	762
			C1(i)	742	714	711	-	765
			C1(c)	737	709	699	-	759
			C1(i)	756	723	717	-	759
FB-146		Granodiorito	C1(b)	732	712	709	841	775
			C1(i)	748	723	750	822	767
			C1(c)	740	726	729	831	775
			C1(i)	765	742	757	855	790
			C1(b)	748	724	731	860	790
			C1(b)	751	718	743	845	782
			C1(i)	747	716	732	847	780
			C1(i)	736	716	732	828	775

Tabela 4. (Continua)

Geotermometria								
Unidade	Amostra	Litologia	Cristal/ Posição	Temperatura (°C)				
				Blundy & Holland		Holland & Blundy		
				1990	1994	Ridolfi et al.		
					HB 1*	HB 2*		
						2010		
						Equação 5		
Suite Arapari	FB-146	Granodiorito	C1(b)	741	718	725	853	791
			C2(b)	743	703	716	860	784
			C2(i)	747	718	721	859	785
			C2(c)	748	725	726	859	785
			C2(i)	742	705	719	856	786
			C2(b)	743	707	723	855	787
	FB-131	Monzogranito	C1(b)	735	713	725	866	830
			C1(i)	737	715	738	855	823
			C1(c)	732	712	724	850	814
			C1(i)	737	716	728	858	821
			C1(b)	737	724	734	859	824
			C1(b)	720	709	714	837	802
			C1(i)	736	722	732	860	826
			C1(i)	739	723	731	864	829
			C1(b)	743	725	742	860	827
			C2(b)	737	714	731	861	825
			C2(i)	744	740	750	863	829
			C2(c)	739	725	736	867	834
Suite João Jorge I	FB-20	Quartzo álcali-feldspato sienito	C2(i)	743	733	740	867	830
			C2(b)	749	745	746	868	831
			C1(b)	-	-	-	805	788
			C1(i)	-	-	-	804	786
			C1(c)	-	-	-	812	797
			C1(i)	-	-	-	814	794
			C1(b)	-	-	-	808	792
			C1(b)	-	-	-	799	788
			C1(i)	-	-	-	803	791
			C1(i)	-	-	-	819	802
			C1(b)	-	-	-	783	774
			C2(b)	-	-	-	759	769
Suite João Jorge II	FB-39	Quartzo álcali-feldspato sienito	C2(i)	-	-	-	772	763
			C2(c)	-	-	-	782	773
			C2(i)	-	-	-	783	780
			C2(b)	-	-	-	796	786
			C2(i)	-	-	-	770	762
			C2(i)	-	-	-	784	777
			C2(b)	-	-	-	786	773
			C3(b)	-	-	-	709	710
			C3(i)	-	-	-	764	753
			C3(c)	-	-	-	764	750
			C3(i)	-	-	-	723	717
			C3(b)	-	-	-	739	730
	FB-39	Quartzo álcali-feldspato sienito	C1(b)	-	-	-	719	715
			C1(i)	-	-	-	719	709
			C1(c)	-	-	-	692	695
			C1(i)	-	-	-	700	708

Tabela 4 – Estimativas geotermométricas para as rochas do Complexo Bacajaí e suítes intrusivas Arapari, João Jorge I e João Jorge II. \*C(b), \*C(i) e \*C(c) se referem a análises pontuais realizadas nas bordas, porções intermediárias e centro dos cristais de anfibólio, respectivamente. \*HB 1 se refere à reação de calibração termométrica de Holland & Blundy (1994) edenita + 4 quartzo = tremolita + albita; \*HB 2 se refere à reação de calibração termométrica de Holland & Blundy (1994) edenita + albita = richterita + anortita. (Conclusão)

Geotermometria								
Unidade	Amostra	Litologia	Cristal/ Posição	Temperatura (°C)				
				Blundy & Holland		Holland & Blundy		
				1990	1994	HB 1*	HB 2*	
Suite João Jorge II	FB-39	Quartzo álcaldi-feldspato sienito	C1(b)	-	-	-	734	731
			C2(b)	-	-	-	744	741
			C2(i)	-	-	-	721	722
			C2(c)	-	-	-	721	724
			C2(i)	-	-	-	709	711
			C2(b)	-	-	-	709	709
			C3(b)	-	-	-	714	721
			C3(i)	-	-	-	740	737
			C3(c)	-	-	-	643	631
			C3(c)	-	-	-	711	708
			C3(i)	-	-	-	700	702
			C3(b)	-	-	-	679	669
								Equação 5

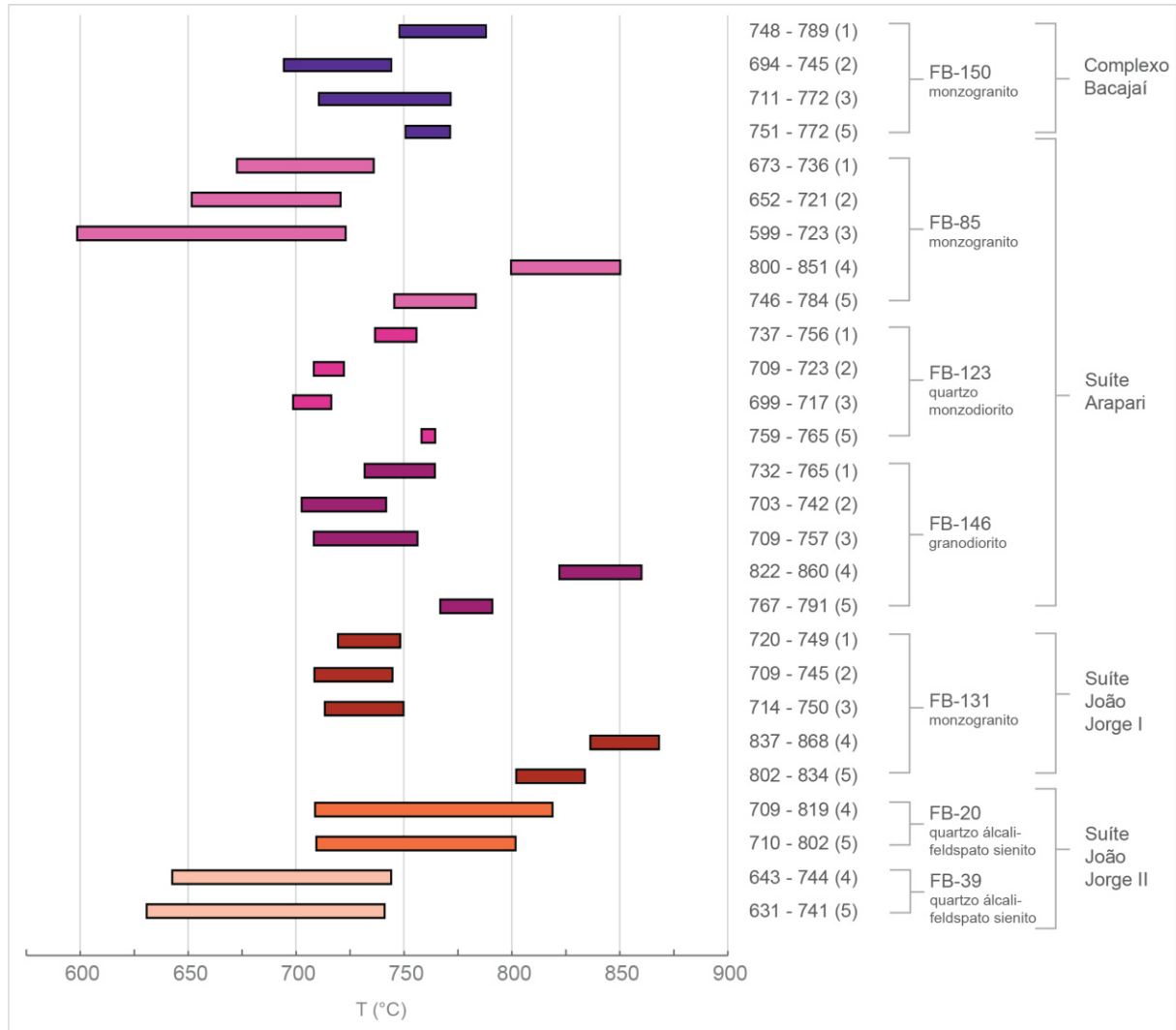


Figura 19 - Intervalos de temperatura de cristalização para o monzogranito FB-150 (CB), monzogranito FB-85 (SIA), quartzo monzodiorito FB-123 (SIA), granodiorito FB-146 (SIA), monzogranito FB-131 (SIJJ I) e dois quartzo álcali-feldspato sienitos (FB-20 e FB-30) da SIJJ II estimados a partir dos trabalhos de: (1) Blundy & Holland (1990); (2) Holland & Blundy (1994) – equação 1 (edenita + 4 quartzo = tremolita + albita); (3) Holland & Blundy (1994) – equação 2 (edenita + albita = richterita + anortita); (4) Ridolfi *et al.* (2010) e (5) Putirka (2016). Foram obtidos valores inadequados para o monzogranito FB-150 utilizando a calibração (5), para o quartzo monzodiorito FB-123 com a calibração (4), e para os quartzo álcali-feldspato sienitos FB-20 e FB-39 através das calibrações (1), (2) e (3).

As temperaturas de cristalização obtidas para as rochas do CB são semelhantes e variam de 694 a 789°C. Devido ao alto FeO em anfibólio no monzogranito FB-150 (CB) não foi possível utilizar a calibração de Ridolfi *et al.* (2010). Há uma variação significativa entre as temperaturas obtidas para as rochas da SIA. O monzogranito FB-85 forneceu temperaturas variadas, entre 599 e 851°C, enquanto para o quartzo monzodiorito foram calculadas temperaturas entre 699 e 765°C. Para o granodiorito FB-146 foram obtidos valores entre 703 e 860°C. A temperatura estimada para o monzogranito da SIJJ I é muito semelhante às

calculadas para a amostra FB-146 (SIA), entre 709 e 868°C. Os quartzo álcali-feldspato sienitos da SIJJ II forneceram valores entre 709 e 819°C (FB-20) e 631 a 744°C (FB-39).

Os maiores valores foram obtidos pelas calibrações de Ridolfi *et al.* (2010) e Putirka (2016), havendo uma diferença de cerca de 30°C entre elas. As duas equações geotermométricas de Holland & Blundy (1994) forneceram as menores temperaturas de cristalização. A equação de Blundy & Holland (1990) forneceu valores ligeiramente maiores do que as menores temperaturas.

## 6. SUSCEPTIBILIDADE MAGNÉTICA – SM

Os valores de susceptibilidade magnética (SM) de cada unidade, suas médias, desvio padrão (DP) e a proporção entre minerais opacos, máficos e félsicos obtidas por meio de estimativas visuais podem ser consultados na Tabela 5. A distribuição dos valores de SM de cada unidade está representada no Gráfico 1.

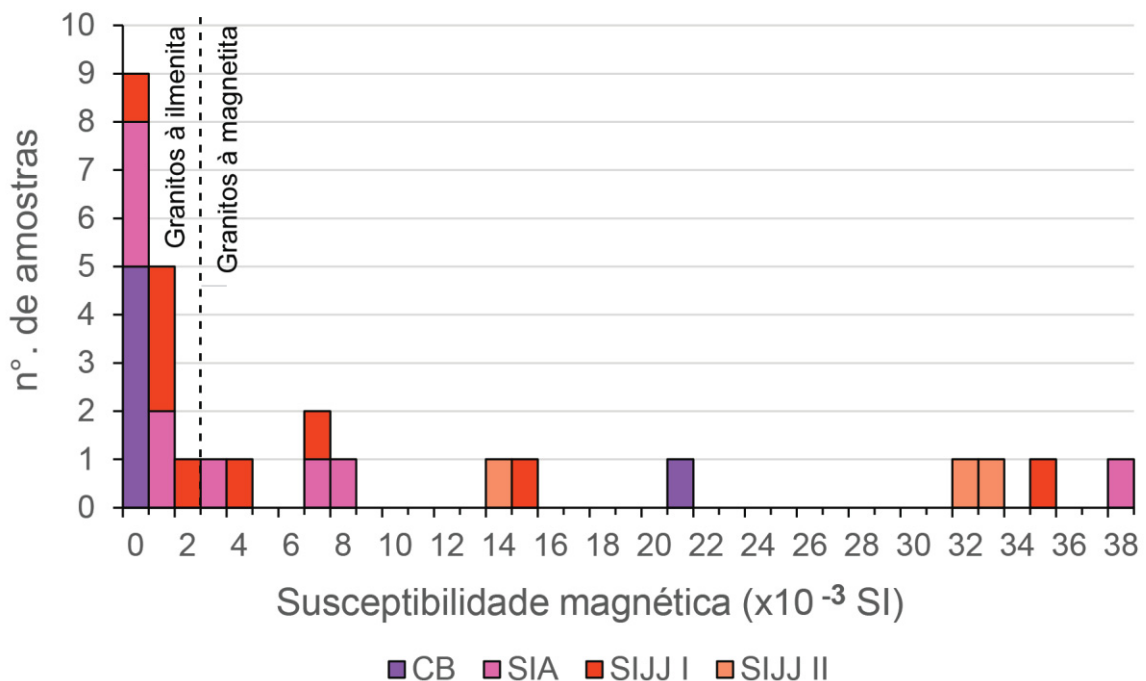
Tabela 5 - Valores de susceptibilidade magnética (SM), desvio padrão (DP) e proporção entre minerais opacos, máficos e félsicos. M1\*, M2\*, M3\*: medidas 1, 2 e 3. Litotipo\*: 1 – monzogranito, 2 – sienogranito, 3 – álcali-feldspato granito, 4 – tonalito, 5 – quartzo monzodiorito, 6 – granodiorito, 7 – quartzo álcali-feldspato sienito, 8 – quartzo sienito. (Continua)

Unidade	Amostra	Litotipo*	SM				Proporção mineral (%)			
			M1*	M2*	M3*	Média	DP	Opacos	Máficos	Félsicos
Complexo Bacajáí	FB-14	1	0,66	0,69	0,68	0,68	0,02	0,08	3,58	96,35
	FB-105	1	21,00	21,60	21,40	21,33	0,31	2,53	5,63	91,84
	FB-116	1	0,33	0,23	0,23	0,26	0,06	1,14	2,93	95,93
	FB-118B	1	0,14	0,10	0,12	0,12	0,02	0,40	6,77	92,83
	FB-133	1	0,08	0,07	0,07	0,07	0,01	0,49	6,30	93,22
	FB-150	1	0,52	0,53	0,51	0,52	0,01	1,71	19,52	78,77
Suíte Arapari	FB-15	1	0,11	0,11	0,13	0,12	0,01	1,94	4,18	93,88
	FB-62	3	0,68	0,71	0,72	0,70	0,02	1,23	2,54	96,23
	FB-69	2	1,02	1,02	1,07	1,04	0,03	2,23	2,65	95,12
	FB-72	2	37,50	38,70	39,30	38,50	0,92	2,76	6,52	90,72
	FB-75	4	0,19	0,21	0,20	0,20	0,01	1,15	3,93	94,93
	FB-84	1	1,21	1,22	1,20	1,21	0,01	0,11	4,89	95,00
	FB-85	1	7,57	7,56	7,53	7,55	0,02	1,60	8,10	90,30
	FB-123	5	3,15	3,33	3,70	3,39	0,28	1,26	6,59	92,15
	FB-146	6	8,41	8,74	8,69	8,61	0,18	2,10	9,10	88,80
Suite João Jorge I	FB-04	2	1,24	1,22	1,26	1,24	0,02	0,69	3,85	95,46
	FB-10	1	15,20	15,20	15,30	15,23	0,06	1,56	2,19	96,25
	FB-13	1	2,10	2,33	2,20	2,21	0,12	1,08	5,43	93,50
	FB-44	1	7,24	7,34	6,93	7,17	0,21	1,50	3,18	95,32

Tabela 5 - Valores de susceptibilidade magnética (SM), desvio padrão (DP) e proporção entre minerais opacos, maficos e félscicos. M1\*, M2\*, M3\*: medidas 1, 2 e 3. Litotipo\*: 1 – monzogranito, 2 – sienogranito, 3 – álcali-feldspato granito, 4 – tonalito, 5 – quartzo monzodiorito, 6 – granodiorito, 7 – quartzo álcali-feldspato sienito, 8 – quartzo sienito. (Conclusão)

Unidade	Amostra	Litotipo*	SM				Proporção mineral (%)			
			M1	M2	M3	Média	DP	Opacos	Máficos	Félscicos
Suíte João Jorge I	FB-47	2	1,45	1,46	1,46	1,46	0,01	0,48	3,09	96,43
	FB-120	1	1,58	1,56	1,49	1,54	0,05	0,36	3,74	95,90
	FB-131	1	34,90	34,90	35,70	35,17	0,46	4,77	15,07	80,17
	FB-147	2	0,82	0,64	0,80	0,75	0,10	0,43	2,79	96,79
	FB-160	1	4,41	3,82	4,76	4,33	0,48	0,81	1,38	97,81
Suíte João Jorge II	FB-20	7	32,20	32,80	32,80	32,60	0,35	3,13	4,35	92,52
	FB-39	7	34,30	34,10	32,70	33,70	0,87	2,24	4,76	93,00
	FB-48	8	14,90	15,00	14,50	14,80	0,26	2,18	4,11	93,71

Gráfico 1 – Distribuição dos valores de susceptibilidade magnética (SM) das rochas do Complexo Bacajaí, Suíte Intrusiva Arapari, Suíte Intrusiva João Jorge I e Suíte Intrusiva João Jorge II.



Os monzogranitos do CB possuem valores de SM entre 0 e  $1 \times 10^{-3}$  SI, com exceção do monzogranito FB-105, com  $21,33 \times 10^{-3}$  SI. Os valores de SM do CB são os menores dentre as unidades estudadas, o que reflete a pequena quantidade de minerais maficos. O monzogranito FB-105 tem a maior porcentagem de minerais opacos dentre as rochas dessa unidade, compondo 2,53% de sua assembleia mineral. Não é clara a relação entre SM e %opacos para as rochas com pequena quantidade de opacos (>2%), mas na amostra FB-105 a relação é diretamente proporcional.

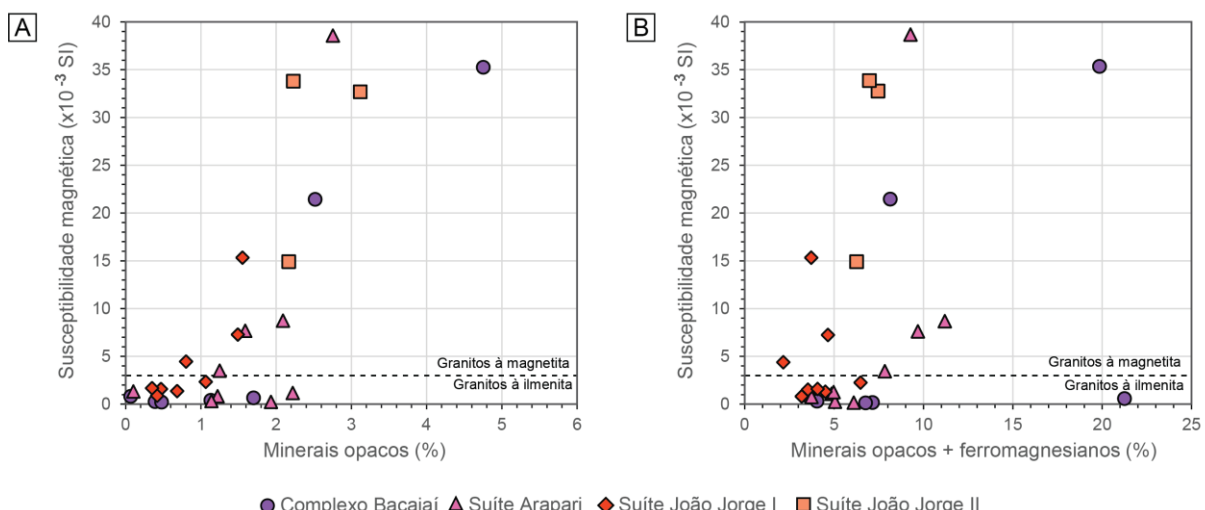
A rochas da SIA possuem valores variados de SM. Cinco dos nove granitoides da SIA possuem valores de SM até  $2 \times 10^{-3}$  SI (FB-15, FB-62, FB-69, FB-75 e FB-84), três possuem valores até  $9 \times 10^{-3}$  SI (FB-85, FB-123 e FB-146), e uma amostra tem valor de  $38,5 \times 10^{-3}$  SI (FB-72). Como constatado no CB, a relação entre SM e a %opacos das rochas da SIA não é clara para rochas com pequeno teor de opacos, sendo diretamente proporcional em rochas com maior teor.

Foram obtidos valores variados para as rochas da SIJJ I. Quatro amostras têm valores de SM até  $2 \times 10^{-3}$  SI (FB-04, FB-47, FB-120, FB-147), três têm valores até  $9 \times 10^{-3}$  (FB-13, FB-44, FB-160) e duas rochas forneceram valores mais elevados, de  $15,23 \times 10^{-3}$  SI (FB-10) e  $35,17 \times 10^{-3}$  SI (FB-131). Os granitoides FB-10 e FB-131 possuem os maiores teores de fases opacas dentre as rochas dessa unidade, compondo 1,56% e 4,77% de sua assembleia mineral, respectivamente.

Valores elevados de SM foram obtidos para as rochas da SIJJ II e variam entre  $14,90 \times 10^{-3}$  SI e  $34,10 \times 10^{-3}$  SI. Os maiores valores foram obtidos para as amostras de quartzo álcali-feldspato sienito FB-20 e FB-39 e refletem a presença de anfibólio, piroxênio e grandes quantidades de minerais opacos nessas rochas (3,13% e 2,24% respectivamente).

A partir do Gráfico 2 constata-se que não há uma relação clara entre a proporção de opacos vs SM, ou entre as proporções de opacos+ferromagnesianos vs SM nas amostras com baixo teor de fases opacas, em contraste às rochas com alta quantidade de opacos, nas quais essa relação é diretamente proporcional.

Gráfico 2 – (A) e (B) representam a relação susceptibilidade magnética vs %opacos e susceptibilidade magnética vs %opacos + %máficos, respectivamente. Fonte: Adaptado de Magalhães & Dall'Agnol (1992).



## 7. FUGACIDADE DE OXIGÊNIO – $fO_2$

A fugacidade de oxigênio ( $fO_2$ ) representa um papel importante na composição química de silicatos em um líquido, além de influenciar a estabilidade de óxidos e sulfetos (Frost 1991). O aumento de Mg em anfibólios permite que esses minerais sejam estáveis em condições de alta fugacidade de oxigênio, assim como valores mais elevados de Fe sugerem formação em condições redutoras (Frost 1991).

Segundo Wones & Eugster (1965) a biotita é o mais simples indicador do estado de oxidação magmática devido à sensibilidade de sua composição química a variações compostionais do magma hospedeiro e de suas condições de cristalização. A partir dos diagramas  $Al^{IV}$  (afu) vs  $Fe/(Fe+Mg)$  (Anderson & Smith 1995) e  $T(^{\circ}C)$  vs  $\log fO_2$  em anfibólio (Figura 20) é possível constatar que o monzogranito FB-150 do CB se formou em condições de  $fO_2$  intermediária, entre os buffers NNO e FMQ. Esse comportamento reflete valores elevados de Fe em anfibólio dessa amostra, de composição Fe-tschermakita. Além disso, os cristais de biotita desta amostra possuem quantidades de Fe moderadas.

Os monzogranitos FB-133 e FB-150 possuem as menores quantidades de Fe em biotita do CB, composição sugestiva de  $fO_2$  moderada, enquanto os cristais do monzogranito FB-14 são ricos em Fe, o que sugere baixa  $fO_2$  durante sua formação. Assim como no monzogranito FB-150 (CB), o anfibólio do quartzo monzodiorito FB-123 (SIA) é Fe-tschermakita e suas análises plotam em posições muito semelhantes a essa amostra nos diagramas de  $fO_2$ . É observada uma tendência ao aumento da  $fO_2$  a partir do granodiorito FB-146 em direção ao monzogranito FB-85 (SIA). Ambas as amostras se situam entre os buffers NNO e HM, mas os pontos referentes ao granodiorito estão mais próximos à curva NNO. O anfibólio dessas amostras possui composições entre tschermakita (FB-146) e Mg-hornblenda (FB-85 e FB-146), e a biotita é quimicamente muito semelhante, sendo os cristais do monzogranito FB-85 ligeiramente mais ricos em Fe. A biotita do monzogranito FB-15 tem o maior valor de Fe dentre as amostras da SIA, o que sugere formação em ambiente mais redutor do que as demais.

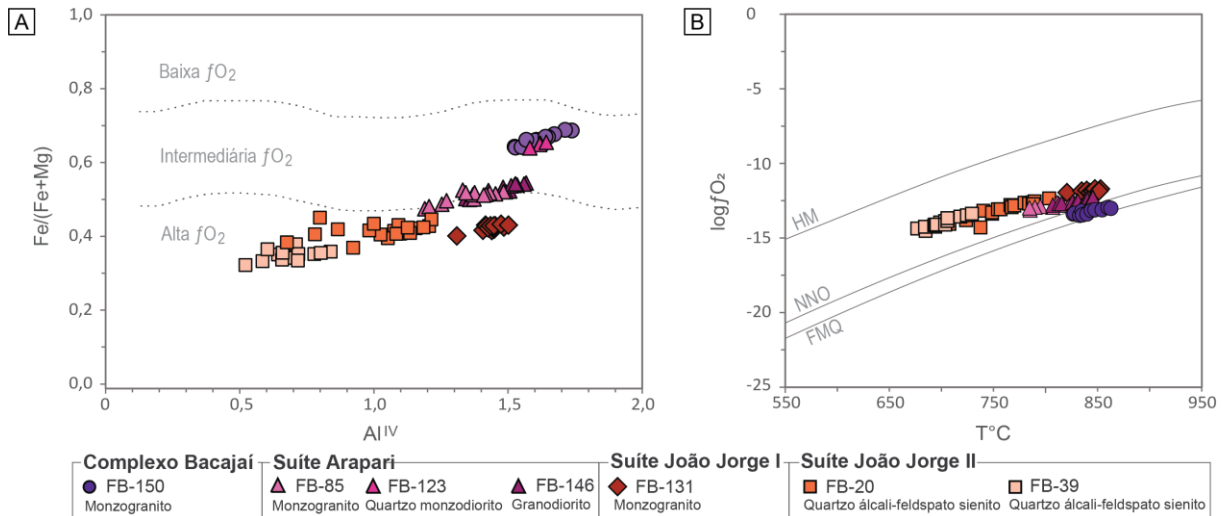


Figura 20 – Diagramas de  $f\text{O}_2$  para análises de cristais de anfibólio do CB, SIA, SIJJ I e SIJJ II: A) diagrama  $\text{Al}^{\text{IV}}$  vs  $\text{Fe}/(\text{Fe}+\text{Mg})$  indicando que as rochas FB-150 (CB) e FB-123 (SIA) se formaram sob condições de intermediária fugacidade de oxigênio, enquanto as demais rochas analisadas se formaram em condições de alta  $f\text{O}_2$  ou muito próximas a este limite; B) diagrama  $T^\circ\text{C}$  vs  $\log f\text{O}_2$  a partir do qual se constata que, com exceção das rochas FB-150 e FB-123, formadas entre os buffers NNO e HM, todas as rochas se formaram em condições relativamente oxidantes, entre os buffers NNO e HM. HM: buffer hematita-magnetita (Chou 1978); NNO: buffer níquel-óxido de níquel (Huebner & Sato 1970); FMQ: buffer fayalita-magnetita-quartzo (Huebner 1971). Fonte: Anderson & Smith (1995).

As rochas formadas em condições de maior  $f\text{O}_2$  correspondem ao monzogranito FB-131 (SIJJ I) e aos quartzo álcali-feldspato sienitos da SIJJ II (FB-20 e FB-39). O anfibólio do monzogranito é Mg-hornblenda e a biotita possui a maior quantidade de Mg dentre todos os cristais analisados, se aproximando da composição da flogopita. O anfibólio dos quartzo álcali-feldspato sienitos (SIJJ II) é Mg-hornblenda. Essas amostras plotam no campo de alta  $f\text{O}_2$ , entre os buffers NNO e HM, acima das demais amostras analisadas. Os cristais de biotita dos sienogranitos FB-47 e FB-147 da SIJJ I possuem altos valores de Fe e  $\text{Al}_{\text{total}}$ , sugerindo cristalização em menor  $f\text{O}_2$  do que o monzogranito FB-44, o qual possui biotita mais rica em Mg e com menor quantidade de  $\text{Al}_{\text{total}}$ .

A biotita do monzogranito FB-13 tem características intermediárias entre as demais amostras da mesma unidade. A significativa quantidade de titanita magmática (Figura 9) nos quartzo álcali-feldspato sienitos FB-20 e FB-39 (SIJJ II), monzogranitos FB-131 (SIJJ I) e FB-133 (CB), e no monzogranito FB-85 e granodiorito FB-146 (SIA), além da presença de epidoto magmático corrobora com a hipótese de formação sob condições oxidantes. Nos quartzo álcali-feldspato sienitos da SIJJ II a fase opaca predominante é magnetita, assim como no granodiorito FB-146 da SIA, são evidências de condições de alta  $f\text{O}_2$ . Nos monzogranitos FB-15

(SIA) e FB-131 (SIJJ I) coexistem magnetita e ilmenita em quantidades semelhantes, indicando condições de fugacidade de oxigênio inferiores às rochas sem ilmenita. No monzogranito FB-44 (SIJJ I), além de magnetita, ocorrem núcleos de pírita com bordas oxidadas de magnetita, sugestivos de ambientes oxidantes.

## 8. DISCUSSÕES

A biotita corresponde à fase máfica mais comum em granitoides e sua composição química pode ser utilizada como parâmetro para a classificação petrogenética dessas rochas. Segundo Shabani *et al.* (2003) os seguintes fatores fazem da biotita um importante indicador de composição magmática: 1) corresponde ao principal reservatório de alumínio excedente em rochas livres ou com teores insignificantes dos principais aluminossilicatos (granada, cordierita e polimorfos de  $\text{Al}_2\text{SiO}_5$ ) e reflete diretamente a peraluminosidade do magma e 2) é o principal indicador de estado de oxidação magmática (Wones & Eugster 1965). Esses dois parâmetros geoquímicos são a base da classificação de granitos I e S de Chappel & White (1974) e da classificação de granitos das séries à ilmenita e à magnetita (Ishihara 1977, 1981). Segundo este autor, os granitos à magnetita possuem magnetita como principal fase opaca (0,1 a 2 vol.%), seguida por ilmenita, hematita, pírita, titanita, epidoto e biotita com alto razão Mg/Fe. Para estas rochas é interpretada origem profunda, entre o manto superior e crosta inferior. Os granitos à ilmenita possuem este como seu principal mineral opaco (<0,1 vol.%), podendo conter pirrotita, grafita, muscovita e biotita com baixo valor de Mg/Fe. Os granitos à ilmenita são formados em crosta continental intermediária a inferior e possui fontes mantélicas e crustais (Ishihara 1977).

Segundo o diagrama  $\text{MgO}-\text{FeO}-\text{Al}_2\text{O}_3$  de Rossi & Chevremont (1987) (Figura 21.A) a biotita dos granitoides da Folha Rio Bacajá plota-se entre os campos relacionados a granitos das séries cálcio-alcalina (CA), associada a regimes de subducção, e ferro-potássica (Fe-K), associada a granitos intraplaca e pós-colisionais. As rochas FB-150 (CB), FB-85 (SIA), FB-146 (SIA) e FB-44 (SIJJ I), as quais possuem biotita com maiores quantidades de Mg e são associadas a condições intermediárias a altas de  $f\text{O}_2$ , plotam exclusivamente no campo associado à série cálcio-alcalina, enquanto as demais amostras, com biotita rica em Fe e associada a menor fugacidade de oxigênio, plotam na interface entre os campos CA e Fe-K.

Nos diagramas  $\text{FeO}^*-\text{MgO}-\text{Al}_2\text{O}_3$  e  $\text{MgO}$  vs  $\text{Al}_2\text{O}_3$  de Abdel-Rahman (1994) (Figura 21.B-C), como observado anteriormente, as amostras com biotita rica em Mg plotam no campo referente a granitos cálcio-alcalinos, enquanto as rochas com biotita rica em Fe são relacionadas a granitos peraluminosos. Os pontos referentes às rochas FB-150 (CB) e FB-123 (SIA), com valores intermediários de Fe, se situam na divisão entre a série cálcio-alcalina e a série peraluminosa.

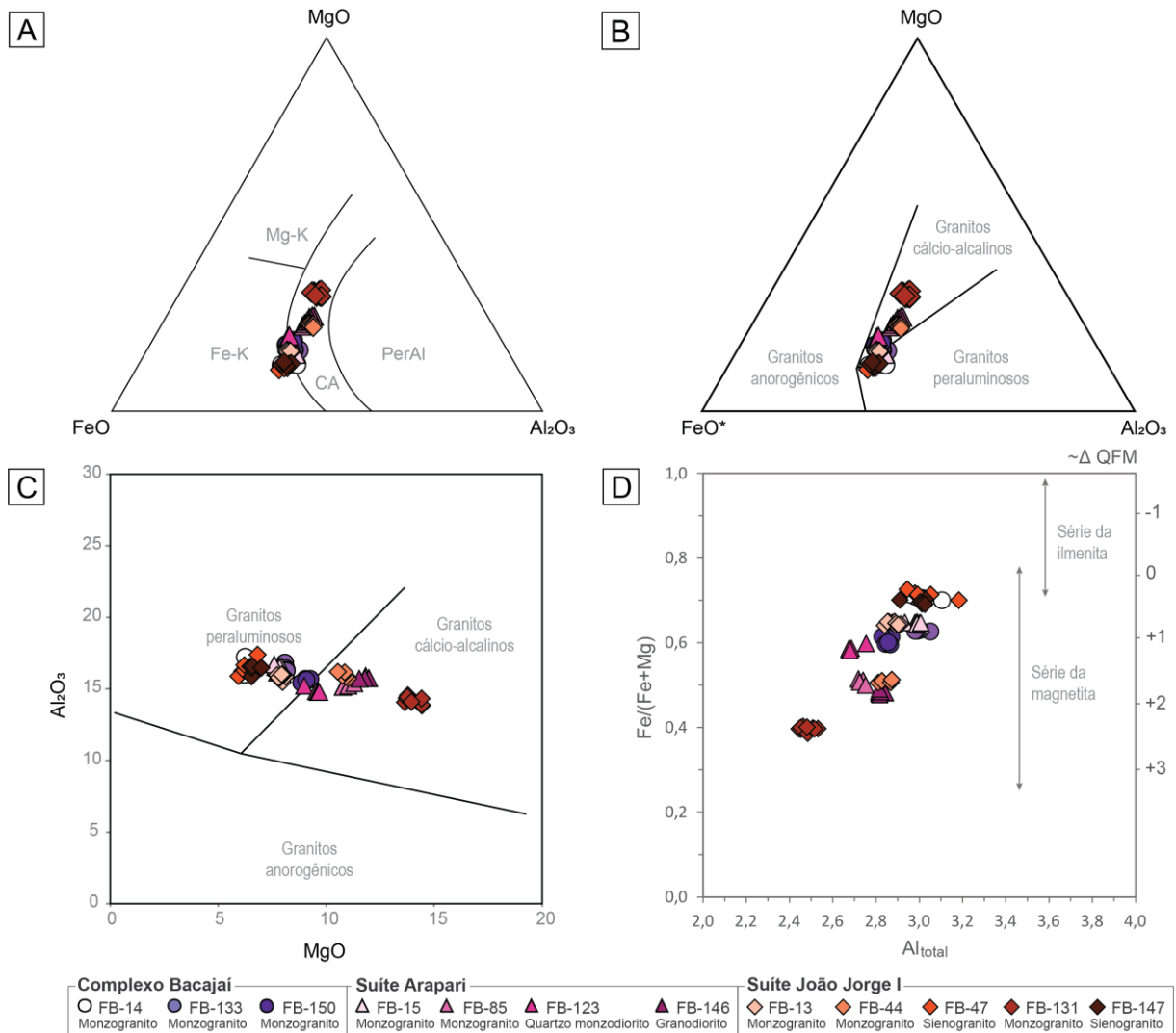


Figura 21 – Diagramas discriminantes para biotita do CB, SIA e SJJJ I: (A) diagrama  $\text{MgO}-\text{FeO}-\text{Al}_2\text{O}_3$  indicando afinidade da biotita com granitoides das séries cálcio-alcalina (CA) e ferro-potássica (Fe-K); (B) e (C) são diagramas  $\text{FeO}^*-\text{MgO}-\text{Al}_2\text{O}_3$  e  $\text{MgO}$  vs  $\text{Al}_2\text{O}_3$  que representam a afinidade das amostras com os campos dos granitos cálcio-alcalinos e granitos peraluminosos; (D) diagrama  $\text{Al}_{\text{TOTAL}}$  vs  $\text{Fe}/(\text{Fe}+\text{Mg})$  indicando que todas as amostras são da série à magnetita. As rochas cuja biotita possui maiores quantidades de Mg plotam-se nos campos cálculo-alcalinos nos diagramas (A), (B) e (C), enquanto as rochas com biotita enriquecida em Fe possuem afinidade com as séries Fe-K e peraluminosa. No diagrama (D) é observada uma tendência para a série à ilmenita conforme ocorre o aumento de Fe da biotita, indicando diminuição da fugacidade de oxigênio. Fonte: (A) Rossi & Chevremont (1987); (B-C) Abdel-Rahman (1994); (D) Anderson et al. (2008).

Segundo o diagrama Al<sub>TOTAL</sub> vs Fe/(Fe+Mg) (Anderson *et al.* 2008) (Figura 21.D) todos os cristais de biotita são característicos de granitoides da série à magnetita (Ishihara 1977). Foi observada uma tendência para a série à ilmenita a partir do monzogranito FB-150, mais oxidado e com biotita mais magnesiana, em direção ao monzogranito FB-14 (CB) e sienogranito FB-47 (SIJJ I), mais reduzidos e com biotita rica em Fe.

As rochas do CB plotam-se de forma relativamente homogênea entre si, caracterizando condições redutoras com baixa  $fO_2$  e composições entre granitos cálcio-alcalinos e ferro-potássicos, e cálcio-alcalinos a peraluminosos. Na SIA há tendência de aumento da quantidade de Mg da biotita e do anfibólio e aumento da  $fO_2$ . Esse padrão é caracterizado pela afinidade da biotita rica em Mg com a série cálcio-alcalina e da biotita rica em Fe com as séries peraluminosa a ferro-potássica. As rochas da SIJJ I caracterizam dois grupos distintos: o primeiro possui biotita e anfibólio ricos em Mg e é associado à série cálcio-alcalina e condições de alta  $fO_2$ ; o segundo conta com biotita rica em Fe com afinidade com as séries peraluminosa e ferro-potássica.

A partir dos resultados obtidos e sua discussão com base na literatura sobre o Domínio Bacajá, foi possível discutir um plausível modelo de evolução tectônica para as unidades estudadas.

A análise petrográfica indica que, além de deformação em estágio não completamente consolidado, marcada por foliação magmática, orientação de biotita e anfibólio, extinção ondulante em quartzo e início da formação de subgrãos em quartzo (Barros *et al.* 2007), há feições que sugerem deformação em estado sólido. As feições comuns ao CB, SIA e SIJJ I consistem em extinção ondulante moderada a forte em quartzo com a presença de bandas de deformação, agregados de novos grãos e subgrãos de quartzo, por vezes com contatos serrilhados a lobados, pertitas em chamas em microclínio e mirmequitas em plagioclásio. Foi observada orientação fraca a forte de feldspatos, formação de simplectitos muito finos de opacos nos contatos entre biotita ou anfibólio e plagioclásio e microclínio e *kink* em plagioclásio nas rochas da SIA e SIJJ I, além de *kink* em biotita nessa última unidade. Foram descritas fraturas finas preenchidas por quartzo e muscovita em cristais de feldspato alcalino na SIJJ I e SIJJ II, sendo essa a única feição de deformação intracristalina observada na segunda unidade.

As características mencionadas são também descritas nos trabalhos de Barros *et al.* (2007) e Perico *et al.* (2017), os quais consideram as unidades do CB, SIA e SIJJ granitos sin a tardi-tectônicos, deformados durante a colocação crustal por esforços compressivos em um regime de deformação progressiva e temperatura decrescente, durante a evolução de um arco magmático. O formato alongado e direção WNW-ESSE dos plútons, concordantes com as estruturas transcorrentes regionais (João *et al.* 1987, Faraco *et al.* 2005), atestaria tais condições de formação (Perico *et al.* 2017). A foliação ausente a muito fraca e os cristais fraturados de feldspato alcalino da SIJJ II, somadas aos contatos tectônicos com as demais unidades, corroboram a hipótese de colocação magmática tardia e controlada por estruturas tectônicas subverticais e profundas (Barros *et al.* 2023).

Nas rochas da SIA, SIJJ I e SIJJ II, anfibólios com composições predominantes de Mg-hornblenda, biotita da variedade annita, magnetita e ilmenita sugerem cristalização a partir de magmas com  $fO_2$  moderada a alta, entre os *buffers* NNO e HM. Condições de  $fO_2$  intermediária, entre os *buffers* FMQ e NNO são observadas para o monzogranito FB-150 (CB) e para o quartzo monzodiorito FB-123 (SIA), ambos com Fe-tschermakita e biotita rica em Fe, com tendência à siderofilita. Nos sienogranitos FB-47 e FB-147 e no monzogranito FB-13 (SIJJ I), cristais de biotita ricos em Fe também são sugestivos de fontes mais reduzidas. Apesar dessa variação, todas as unidades pertencem à série da magnetita, comportamento esperado em arcos magmáticos (Ishihara 1977). Considerando a afinidade de todas as unidades com a série da magnetita seriam esperados valores mais elevados de susceptibilidade magnética. Em decorrência da pequena quantidade de amostras de mão de cada afloramento e de suas dimensões reduzidas, é possível que essas não representem o teor real de fases minerais opacas das unidades em questão.

A alta fugacidade de oxigênio também é atestada pela presença de epidoto magmático com núcleos de allanita e por titanita magmática. A presença de epidoto primário preservado sugere origem magmática em pressões superiores a 10 kbar, ascensão crustal rápida e colocação em profundidades rasas (Sial *et al.* 2008). Tais requisitos vão de encontro às pressões entre 4,5 – 7,4 kbar, 3,0 – 6,0 kbar e 2,9 – 5,0 kbar obtidas para o CB, SIA e SIJJ I, respectivamente. Temperaturas finais de cristalização entre 694 – 789°C, 599 – 860°C, 709 – 868°C e 631 – 819 °C foram obtidas para o CB, SIA, SIJJ I e SIJJ I, respectivamente. Barros *et al.* (2023)

consideram temperaturas relativamente baixas e altos graus de fusão em ambiente de arco magmático para os granitos cálcio-alcalinos dessas unidades.

Os diagramas discriminantes (Figura 21.A- C) para biotita apontam afinidade com granitos cálcio-alcalinos com tendência ferro-potássica (Figura 21.A) e cálcio-alcalinos a peraluminosos (Figura 21.B-C), comportamentos esperados em rochas pós-colisionais (Besser & Barros 2016, Barros *et al.* 2023). As rochas com assinaturas peraluminosas e com tendências Fe-K coincidem com as que possuem biotita e anfibólio ricos em Fe.

Diversos autores consideram o CB, SIA e SIJJ como estágios sin e tardicolisionais de um arco magmático continental riaciano-orosiriano (Barros *et al.* 2007, Besser 2012, Perico *et al.* 2017, Alves 2020, Barros *et al.* 2023, Pimentel 2024). Vasquez *et al.* (2005, 2008) sugerem origem sin-transcorrente para as rochas das Suítes Arapari e João Jorge,

Os possíveis processos geradores dessas unidades são a fusão parcial de fontes mantélicas profundas e crustais arqueanas e siderianas retrabalhadas, com colocação crustal rasa a intermediária concomitante a esforços compressivos durante a evolução de um arco magmático continental (Complexo Bacajaí) (Barros *et al.* 2007, Besser 2012, Perico *et al.* 2017, Alves 2020, Barros *et al.* 2023, Pimentel 2024) e colocação pós-tectônica mediante esforços transcorrentes (Suíte Arapari, Suíte João Jorge) (Vasquez *et al.* 2005, 2008)

## 9. CONCLUSÕES

As análises petrográficas, de química mineral e susceptibilidade magnética nos granitoides riacianos aflorantes na Folha Rio Bacajá conduziram às seguintes conclusões:

- O CB, SIA, SIJJ I e II compreendem monzogranitos, sienogranitos, álcali-feldspato granitos, quartzo álcali-feldspato sienitos, quartzo sienitos, granodioritos, quartzo monzodioritos, e tonalitos. A mineralogia essencial dessas rochas é semelhante, composta por quartzo, feldspato alcalino e plagioclásio. Biotita, anfibólio, piroxênio, epidoto, titanita, allanita, apatita, zircão, muscovita, carbonato, sericita, magnetita e ilmenita ocorrem em menores proporções modais.

- Há feições de deformação cristalina em estado sólido em todas as unidades, as quais vão de encontro à hipótese proposta por Barros *et al.* (2007) e Perico *et al.* (2017) de cristalização magmática concomitante à deformação progressiva e a esforços compressivos.
- Os granitoides do CB plotam-se na interface de séries cálcio-alcalinas e ferro-potássicas de acordo com os diagramas de Rossi & Chevremont (1987) e Abdel-Rahman (1994), podendo ser classificados também como granitos peraluminosos. Esse comportamento condiz com a composição rica em Fe de biotita e anfibólio, e presença de magnetita.
- As rochas da SIA são classificadas como cálcio-alcalinas segundo os diagramas de Rossi & Chevremont (1987) e Abdel-Rahman (1994). Existe uma afinidade com as séries ferro-potásica e peraluminosa, concordante com o aumento de Fe e diminuição de Mg em cristais de anfibólio e biotita.
- Na SIJJ I se observam dois comportamentos distintos: o primeiro, caracterizado por rochas com anfibólio e biotita ricos em Mg e assinatura cálcio-alcalina (*cf.* Rossi & Chevremont 1987, Abdel-Rahman 1994), e o segundo definido por enriquecimento em Fe de biotita e anfibólio e afinidade com as séries ferro-potássica e peraluminosa.
- De acordo com os campos do diagrama de Anderson & Smith (1995) as rochas do CB se formaram sob condições de  $fO_2$  intermediária. As rochas da SIJJ II, assim como uma amostra da SIJJ I, se formaram sob alta  $fO_2$ . As rochas da SIA também mostram tendência à cristalização sob condições de alta fugacidade de oxigênio.
- Todas as unidades estudadas neste trabalho são da série à magnetita na classificação de Ishihara (1977). Os valores baixos de susceptibilidade magnética obtidos em amostras de mão possivelmente não são representativos da porcentagem efetiva de fases opacas nessas rochas.

- A presença de epidoto primário (Sial *et al.* 2008) aponta para fontes magmáticas profundas, em pressões acima de 10 kbar, e ascensão crustal rápida e colocação em níveis crustais relativamente rasos.
- Foram estimadas pressões e temperaturas de cristalização entre 4,5 – 7,4 kbar e 694 – 789°C para o CB, 3,0 – 6,0 kbar e 599 – 860°C para a SIA, 2,9 – 5,0 kbar e 709 – 868°C para a SIJJ I. Para a SIJJ II foram obtidas temperaturas de cristalização entre 631 – 819°C. Esses valores concordam com a hipótese de cristalização e colocação final em profundidades rasas a moderadas, entre 11 e 28 km.
- Os resultados obtidos possuem semelhanças com trabalhos de Barros *et al.* (2007), Besser (2012), Perico *et al.* (2017), Alves (2020), Barros *et al.* (2023) e Pimentel (2024), os quais consideram o CB como estágios sin e tardi-colisionais de um arco magmático continental que teve sua evolução entre os períodos riaciano-orosiriano e com os trabalhos de Vasquez *et al.* (2005, 2008), os quais associam a SIA e SIJJ a granitos sin-transcorrentes.

## REFERÊNCIAS

- ABDEL-RAHMAN, A. F. **Nature of biotites from alkaline, calc-alkaline, and peraluminous magmas.** Mineralogical Magazine, v. 58, p. 159-168, 1994.
- ALVES, João Paulo Silva. **A relação entre o domínio Bacajá e o domínio Carajás, Sudeste do Cratón Amazônico, com base em geologia isotópica e química mineral.** Dissertação (Mestrado em Geologia e Geoquímica) – Instituto de Geociências, Universidade Federal do Pará, Belém, 79p., 2020.
- ANDERSON, J. L.; BARTH, A. P.; WOODEN, J. L.; MAZDAB, F. **Thermometers and thermobarometers in granitic systems.** Reviews in Mineralogy and Geochemistry, v. 69, n. 1, p. 121-142, 2008.
- ANDERSON, J. L.; SMITH, D. R. **The effects of temperature and fO<sub>2</sub> on the Al-in hornblende barometer.** American Mineralogist, v. 80, p. 549-559, 1995.
- BARROS, C. E. M.; BESSER, M. L.; VASCONCELLOS, E. M. G. **Voluminous Paleoproterozoic plutonic belt of the Bacajá domain in Amazon Craton: Petrology, geotectonic setting and Pb-Pb zircon evaporation ages.** Journal of South American Earth Sciences, v. 130, 2023.
- BARROS, C. E. M.; MACAMBIRA, M. J. B.; SANTOS, M. C. C.; SILVA, D. C. C. S.; PALMEIRA, L. C. M.; SOUSA, M. M. **Estruturas sinmagnéticas e idade de zircão (evaporação de Pb) de granitos paleoproterozóicos da parte leste do domínio Bacajá, Província Maroni-Itacaiúnas.** Revista Brasileira de Geociências, São Paulo, v. 37, n. 2, p. 293-304, 2007.
- BESSER, M. L. & BARROS, C. E. M. **Geologia e recursos minerais da Folha Rio Bacajá –AS.22-Y-D-VI, Estado do Pará, escala 1:100.000.** Belém: CPRM-UFPR, 100 p., 2016.
- BESSER, M. L. **Origem e evolução das rochas paleoproterozoicas da área Rio Bacajá, Pará, Brasil.** Dissertação de Mestrado. Programa de Pós-Graduação em Geologia, Departamento de Geologia, Universidade Federal do Paraná, 136p., 2012.
- BLUNDY, J. D. & HOLLAND, T. J. B. **Calcic amphibole equilibria and a new amphibole-plagioclase geothermometer.** Contributions to Mineralogy and Petrology, v. 104, p. 208-224, 1990.
- CHAPPELL, B. W.; WHITE, A. J. R. **Two contrasting granite types.** Pacific Geology, v. 8, p. 173-174, 1974.
- CHOU, I. M. **Calibration of oxygen buffers at elevated P and T using the hydrogen fugacity sensor.** American Mineralogist, v. 63, n. 7-8, p. 690-703, 1978.
- DEER, W. A., HOWIE, R. A., ZUSSMAN, J. **An Introduction to the Rock-forming Minerals** (2<sup>a</sup> edição). Longman Scientific & Technical, Harlow, Essex, England: New York, NY, 696 p., 1992. ISBN: 0470218096.

DELOR, C.; LAHONDÈRE, D.; ÉGAL, E.; LAFON, J. M.; COCHERIE, A.; GUERRROT, C.; ROSSI, P.; TRUFFERT, C.; THÉVENIAUT, H.; PHILLIPS, D.; AVELAR, V. G. **Transamazonian crustal growth and reworking as revealed by the 1:500,000-scale geological map of French Guiana.** 2. ed. *Geologie de la France*, v. 2–4, p. 5–57, 2003.

FARACO, M. T. L., VALE, A. G., SANTOS, J. O. S., LUZARDO, R., FERREIRA, A. L., OLIVEIRA, M., MARINHO, P. A. C. **Levantamento geológico da região ao norte da Província Carajás.** In: A. Horbe & W. Souza (eds.) Contribuições à Geologia da Amazônia, v. 4, p.16-31, 2005.

GRANDE, F. L. DE. **Química mineral de anfíbolitos paleoproterozoicos do Terreno Bacajá, Província Transamazonas.** Monografia - Trabalho de Conclusão de Curso. Departamento de Geologia, Universidade Federal do Paraná, 139 p., 2022.

FROST, B. R. **Introduction to oxygen fugacity and its petrologic importance.** Reviews in Mineralogy and Geochemistry, v. 25, n. 1, p. 1-9, 1991.

HAMMARSTROM, J. M. & ZEN, E. A. **Aluminium in hornblende: an empirical igneous geobarometer.** American Mineralogist, v. 71: 1297-1313p., 1986.

HOLLAND, T.; BLUNDY, J. **Non-ideal interactions in calcic amphiboles and their bearing on amphibole-plagioclase thermometry.** Contributions to Mineralogy and Petrology, v. 116, n. 4, p. 433-447, 1994.

HOLLISTER, L. S.; GRISSON, G. C.; PETERS, E. K.; STOWELL, H.H.; SISSON V.B. **Confirmation of the empirical correlation of Al in hornblende with pressure of solidification of calc-alkaline plutons.** American Mineralogist, v. 72: 231-239 p., 1987.

HUEBNER, J. S. **Buffering techniques for hydrostatic systems at elevated pressures.** In: ULMER, G. C. (Ed.). Research techniques for high pressure and high temperature. Berlin: Springer, 123-145 p., 1971.

HUEBNER, J. S.; SATO, M. **The oxygen fugacity-temperature relationships of manganese oxide and nickel oxide buffers.** American Mineralogist, v. 55, n. 5-6, p. 934-952, 1970.

ISHIHARA, S. **The granitoid series and mineralization.** Economic Geology Anniversary, v. 75, p. 458-484, 1981.

ISHIHARA, S. **The magnetite-series and ilmenite-series granitic rocks.** *Mining Geology*, v. 27, p. 293-305, 1977.

JOÃO, X. S. J., VALE, A. G., LOBATO, T. A. M. Folha SA.22- Y-D, Altamira. Projeto especial mapas de recursos minerais de solos e de vegetação para a área do programa Grande Carajás, escala 1:250.000. Brasília: DNPM-CPRM, 1987. Relatório técnico.

JOHNSON, M. C.; RUTHERFORD, M. J. **Experimental calibration of the aluminium in hornblende geobarometer with application to Long Valley Caldera (California) volcanic rocks.** Geology, v. 17, p. 837-841, 1989.

LEAKE, B. E., WOLLEY, A. L., ARPS, C. E. S., BIRCH, W. D., GILBERT, M. C., GRICE, J. D., HAWTHORNE, F. C., KATO, A., KISCH, H. J., KRIVOVICHEV, V. G., LINTHOUT, K., LAIRD, J., MANDARINO, J. A., MARESCH, W., NICKEL, E. H., ROCK, N. M. S., SCHUMACHER, J. C., SMITH, D. C., STEPHENSON, N. C. N., UNGARETTI, L., WHITTAKER, E. J. W. & YOUZHI, G. **Nomenclature of Amphiboles: Report of the Subcommittee on Amphiboles of the International Mineralogical Association, Commission on new minerals and mineral names.** The Canadian Mineralogist, v. 35, p. 219-246, 1997.

MACAMBIRA, M. J. B., VASQUEZ, M. L., SILVA, D. C. C., GALARZA, M. A., BARROS, C. E. M., CAMELO, J. F. **Crustal growth of the central-eastern Paleoproterozoic domain, SW Amazonian craton: Juvenile accretion vs reworking.** Journal of South American Earth Sciences, v.27, p. 235-246, 2009.

MAGALHÃES, M. S. & DALL'AGNOL, R. **Estudo de minerais opacos e susceptibilidade magnética nos granitos Musa e Jamon (região de Rio Maria – SE do Pará) e suas implicações petrológicas.** Revista Brasileira de Geociências, v. 22(2): p. 184-197, 1992.

MONTEIRO, P. C. **Investigação do limite entre domínios geocronológicos da região do médio rio Xingu, sudeste do Cráton Amazônico.** Dissertação (Mestrado em Geoquímica e Petrologia) – Setor de Ciências, Universidade Federal do Pará, Belém, 104 p., 2006.

MUTCH, E. J. F.; BLUNDY, J. D.; TATTITCH, B. C. et al. **An experimental study of amphibole stability in low-pressure granitic magmas and a revised Al-in-hornblende geobarometer.** Contributions to Mineralogy and Petrology, v. 171, p. 85, 2016.

NACHIT, H.; IBHI, A.; ABIA, E. H.; OHOUD, M.B. **Discrimination between primary magmatic biotites, reequilibrated biotites and neoformed biotites.** Géoscience, v. 337(16): p. 1415-1420, 2005.

PERICO, E.; BARROS, C. E. M.; MANCINI, F.; ROSTIROLLA, S. P. **Protracted deformation during cooling of the Paleoproterozoic arc system as constrained by  $^{40}\text{Ar}/^{39}\text{Ar}$  ages of muscovite from brittle faults: The Transamazonan Bacajá Terrane, Brazil.** Brazilian Journal of Geology, São Paulo, v. 47, n. 3, p. 427-440, 2017.

PIMENTEL, Helmut Sousa. **Estudo isotópico do depósito aurífero Volta Grande, domínio Bacajá, sudeste do cráton amazônico. 2024.** xxiv, Tese (Doutorado em Geoquímica e Petrologia) – Instituto de Geociências, Universidade Federal do Pará, Belém, 165 p., 2024.

- PUTIRKA, K. **Amphibole thermometers and barometers for igneous systems and some implications for eruption mechanisms of felsic magmas at arc volcanoes.** American Mineralogist, v. 101, n. 4, p. 841-858, 2016.
- RIDOLFI, F.; RENZULLI, A.; PUERINI, M. **Stability and chemical equilibrium of amphibole in calc-alkaline magmas: an overview, new thermobarometric formulations and application to subduction-related volcanoes.** Contributions to Mineralogy and Petrology, v. 160, p. 45-66, 2010.
- ROSSI, P. & CHEVREMONT, P. **Classification des associations magmatiques granitoides.** Geochronique, v. 21: p. 14-18, 1987.
- SANTOS, J. O. S., HARTMANN, L. A., GAUDETTE, H. E., GROVES, D. I., MCNAUGHTON, N. J., FLETCHER, I. R. **A New Understanding of the Provinces of the Amazon Craton Based on Integration of Field Mapping and U-Pb and Sm-Nd Geochronology.** Gondwana Research, v. 3, n.4: p. 453-488, 2000.
- SCHMIDT, M.W. **Amphibole compositions in tonalite as function of pressure: an experimental calibration of the Al- in hornblende barometer.** Contributions to Mineralogy and Petrology, v. 110: p. 304-310, 1992.
- SHABANI, A. A. T.; LALONDE, A. E.; WHALEN, J. B. **Composition of biotite from granitic rocks of the Canadian Appalachian Orogen: a potential tectonomagmatic indicator?** The Canadian Mineralogist, v. 41, n. 6, p. 1381-1396, 2003.
- SIAL, A. N.; VASCONCELOS, P. M.; FERREIRA, V. P.; PESSOA, R. R.; BRASILINO, R. G.; MORAIS NETO, J. M. **Geochronological and mineralogical constraints on depth of emplacement and ascension rates of epidote-bearing magmas from northeastern Brazil.** Lithos, v. 105, p. 225-238, 2008.
- VASQUEZ, M. L.; MACAMBIRA, M. J. B.; ARMSTRONG, R. A. **Zircon geochronology of granitoids from the western Bacajá domain, southeastern Amazonian craton, Brazil: Neoarchean to Orosirian evolution.** Precambrian Research, v. 161: p. 279-302, 2008.
- WONES, D. R.; EUGSTER, H. P. **Stability of biotite: experiment, theory, and application.** American Mineralogist, v. 50, n. 9, p. 1228-1272, 1965.

## 5 CONSIDERAÇÕES FINAIS

- O Terreno Bacajá compreende a porção sul da província geocronológica Transamazônica e se situa diretamente a norte do núcleo arqueano Carajás. Sua evolução geodinâmica e relação com terrenos arqueanos é complexa e sua gênese é ainda discutida.
- A Folha Rio Bacajá se situa na porção norte do Terreno Bacajá e nela afloram o embasamento neoarqueano, sequências supracrustais siderianas, granitoides riacianos do Complexo Bacajaí e suítes intrusivas Arapari e João Jorge, além de enxames de diques mesozoicos e sedimentos cenozoicos.
- Essa pesquisa teve como objetivo determinar as condições de cristalização dos granitoides riacianos aflorantes na Folha Rio Bacajá.
- Análises de química mineral e o cálculo de fórmulas estruturais de biotita e anfibólio possibilitaram a estimativa de condições de pressão, temperatura e fugacidade de oxigênio durante a cristalização das rochas do Complexo Bacajaí e suítes intrusivas Arapari e João Jorge.
- Foram estimadas pressões de cristalização entre 3,0 e 7,4 kbar e temperaturas entre 599 e 868°C para as unidades estudadas, condições compatíveis com colocação crustal rasa a moderada, sob profundidades entre 11 e 28 km.
- Os magmas formadores das unidades estudadas cristalizaram sob moderada a alta fugacidade de oxigênio, e sua mineralogia permite supor fontes magmáticas profundas e posterior colocação crustal rasa a intermediária.
- Os granitoides estudados possuem composições compatíveis com as séries magmáticas cálcio-alcalina, peraluminosa e ferro-potássica.
- Os granitoides da Folha Rio Bacajá se assemelham a granitoides formados durante os estágios sin a tardi-colisionais de um arco

magmático (CB) e ao estágio pós-tectônico sin-transcorrente (SIA, SIJJ).

## REFERÊNCIAS

- ABDEL-RAHMAN, A. F. **Nature of biotites from alkaline, calc-alkaline, and peraluminous magmas.** Mineralogical Magazine, v. 58, p. 159-168, 1994.
- ALVES, João Paulo Silva. **A relação entre o domínio Bacajá e o domínio Carajás, Sudeste do Cratón Amazônico, com base em geologia isotópica e química mineral.** Dissertação (Mestrado em Geologia e Geoquímica) – Instituto de Geociências, Universidade Federal do Pará, Belém, 79p., 2020.
- ANDERSON, J. L.; BARTH, A. P.; WOODEN, J. L.; MAZDAB, F. **Thermometers and thermobarometers in granitic systems.** Reviews in Mineralogy and Geochemistry, v. 69, n. 1, p. 121-142, 2008.
- ANDERSON, J. L.; SMITH, D. R. **The effects of temperature and fO<sub>2</sub> on the Al-in hornblende barometer.** American Mineralogist, v. 80, p. 549-559, 1995.
- BARROS, C. E. M.; BESSER, M. L.; VASCONCELLOS, E. M. G. **Voluminous Paleoproterozoic plutonic belt of the Bacajá domain in Amazon Craton: Petrology, geotectonic setting and Pb-Pb zircon evaporation ages.** Journal of South American Earth Sciences, v. 130, 2023.
- BARROS, C. E. M.; MACAMBIRA, M. J. B.; SANTOS, M. C. C.; SILVA, D. C. C. S.; PALMEIRA, L. C. M.; SOUSA, M. M. **Estruturas sinmagnáticas e idade de zircão (evaporação de Pb) de granitos paleoproterozóicos da parte leste do domínio Bacajá, Província Maroni-Itacaiúnas.** Revista Brasileira de Geociências, São Paulo, v. 37, n. 2, p. 293-304, 2007.
- BARROS, C. E. M. & BARBEY, P. **A importância da granitogênese tardiarqueana (2.5 Ga) na evolução tectono-metamórfica da Província Mineral de Carajás – O Complexo Granítico Estrela e sua aureola de contato.** Revista Brasileira de Geociências, São Paulo, v. 28, n. 4, p. 513-522, 1998.
- BESSER, M. L. & BARROS, C. E. M. **Geologia e recursos minerais da Folha Rio Bacajá –AS.22-Y-D-VI, Estado do Pará, escala 1:100.000.** Belém: CPRM-UFPR, 100 p., 2016.
- BESSER, M. L.; BARROS, C. E. M. **Programa Geologia do Brasil - PGB. Rio Bacajá. Folha SA.22-Y-D-VI. Carta Geológica.** Belém, CPRM, 2015, 1 mapa colorido, escala 1:100.000, 2015.
- BESSER, M. L. **Origem e evolução das rochas paleoproterozoicas da área Rio Bacajá, Pará, Brasil.** Dissertação de Mestrado. Programa de Pós-Graduação em Geologia, Departamento de Geologia, Universidade Federal do Paraná, 136p., 2012.
- BLUNDY, J. D. & HOLLAND, T. J. B. **Calcic amphibole equilibria and a new amphibole-plagioclase geothermometer.** Contributions to Mineralogy and Petrology, v. 104, p. 208-224, 1990.

- CHAPPELL, B. W.; WHITE, A. J. R. **Two contrasting granite types.** Pacific Geology, v. 8, p. 173-174, 1974.
- CHOU, I. M. **Calibration of oxygen buffers at elevated P and T using the hydrogen fugacity sensor.** American Mineralogist, v. 63, n. 7-8, p. 690-703, 1978.
- DEER, W. A., HOWIE, R. A., ZUSSMAN, J. **An Introduction to the Rock-forming Minerals** (2<sup>a</sup> edição). Longman Scientific & Technical, Harlow, Essex, England: New York, NY, 696 p., 1992. ISBN: 0470218096.
- DELOR, C.; LAHONDÈRE, D.; ÉGAL, E.; LAFON, J. M.; COCHERIE, A.; GUERRROT, C.; ROSSI, P.; TRUFFERT, C.; THÉVENIAUT, H.; PHILLIPS, D.; AVELAR, V. G. **Transamazonian crustal growth and reworking as revealed by the 1:500,000-scale geological map of French Guiana.** 2. ed. *Geologie de la France*, v. 2-4, p. 5-57, 2003.
- FARACO, M. T. L., VALE, A. G., SANTOS, J. O. S., LUZARDO, R., FERREIRA, A. L., OLIVEIRA, M., MARINHO, P. A. C. **Levantamento geológico da região ao norte da Província Carajás.** In: A. Horbe & W. Souza (eds.) Contribuições à Geologia da Amazônia, v. 4, p. 16-31, 2005.
- GRANDE, F. L. DE. **Química mineral de anfíbolitos paleoproterozoicos do Terreno Bacajá, Província Transamazonas.** Monografia - Trabalho de Conclusão de Curso. Departamento de Geologia, Universidade Federal do Paraná, 139 p., 2022.
- FROST, B. R. **Introduction to oxygen fugacity and its petrologic importance.** Reviews in Mineralogy and Geochemistry, v. 25, n. 1, p. 1-9, 1991.
- HAMMARSTROM, J. M. & ZEN, E. A. **Aluminium in hornblende: an empirical igneous geobarometer.** American Mineralogist, v. 71: 1297-1313 p., 1986.
- HOLLAND, T.; BLUNDY, J. **Non-ideal interactions in calcic amphiboles and their bearing on amphibole-plagioclase thermometry.** Contributions to Mineralogy and Petrology, v. 116, n. 4, p. 433-447, 1994.
- HOLLISTER, L. S.; GRISSON, G. C.; PETERS, E. K.; STOWELL, H.H.; SISSON V.B. **Confirmation of the empirical correlation of Al in hornblende with pressure of solidification of calc-alkaline plutons.** American Mineralogist, v. 72: 231-239 p., 1987.
- HUEBNER, J. S. **Buffering techniques for hydrostatic systems at elevated pressures.** In: ULMER, G. C. (Ed.). Research techniques for high pressure and high temperature. Berlin: Springer, 123-145 p., 1971.
- HUEBNER, J. S.; SATO, M. **The oxygen fugacity-temperature relationships of manganese oxide and nickel oxide buffers.** American Mineralogist, v. 55, n. 5-6, p. 934-952, 1970.
- ISHIHARA, S. **The granitoid series and mineralization.** Economic Geology Anniversary, v. 75, p. 458-484, 1981.

ISHIHARA, S. **The magnetite-series and ilmenite-series granitic rocks.** *Mining Geology*, v. 27, p. 293-305, 1977.

JOÃO, X. S. J., VALE, A. G., LOBATO, T. A. M. **Folha SA.22- Y-D, Altamira. Projeto especial mapas de recursos minerais de solos e de vegetação para a área do programa Grande Carajás, escala 1:250.000.** Brasília: DNPM-CPRM, 1987. Relatório técnico.

JOHNSON, M. C.; RUTHERFORD, M. J. **Experimental calibration of the aluminium in hornblende geobarometer with application to Long Valley Caldera (California) volcanic rocks.** *Geology*, v. 17, p. 837-841, 1989.

LEAKE, B. E., WOLLEY, A. L., ARPS, C. E. S., BIRCH, W. D., GILBERT, M. C., GRICE, J. D., HAWTHORNE, F. C., KATO, A., KISCH, H. J., KRIVOVICHEV, V. G., LINTHOUT, K., LAIRD, J., MANDARINO, J. A., MARESCH, W., NICKEL, E. H., ROCK, N. M. S., SCHUMACHER, J. C., SMITH, D. C., STEPHENSON, N. C. N., UNGARETTI, L., WHITTAKER, E. J. W. & YOUZHI, G. **Nomenclature of Amphiboles: Report of the Subcommittee on Amphiboles of the International Mineralogical Association, Commission on new minerals and mineral names.** The Canadian Mineralogist, v. 35, p. 219-246, 1997.

LE MAITRE, R.; STRECKEISEN, A.; ZANETTIN, B.; LE BAS, M.; BONIN, B.; BATEMAN, P.; BELLINI, G.; DUDEK, A.; EFREMOVA, S.; KELLER, J.; LAMEYRE, J.; SABINE, P.A.; SCHMID, R.; SORENSEN, H.; WOOLLEY, A.R. **Igneous Rocks: A Classification and Glossary of Terms: Recommendations of the International Union of Geological Sciences Subcommission on the Systematics of Igneous Rocks** (2<sup>a</sup> edição). Cambridge: Cambridge University Press, 236 p., 2002. ISBN: 9780511535581.

MACAMBIRA, E. M. B.; RICCI, P. S. F. **Aspectos litogegeoquímicos do Diabásio Rio Pajeú: enxame de diques no sudeste do Cráton Amazônico.** In: XIII CONGRESSO BRASILEIRO DE GEOQUÍMICA, 8., 2011, Gramado. Anais... Gramado: UFRGS – Centro de Estudos em Petrologia e Geoquímica, p. 685-688, 2011.

MACAMBIRA, M. J. B., VASQUEZ, M. L., SILVA, D. C. C., GALARZA, M. A., BARROS, C. E. M., CAMELO, J. F. **Crustal growth of the central-eastern Paleoproterozoic domain, SW Amazonian craton: Juvenile accretion vs reworking.** *Journal of South American Earth Sciences*, v.27, p. 235-246, 2009.

MACHADO, N.; LINDENMAYER, Z.; KROGH, T.E.; LINDENMAYER, D. **U-Pb geochronology of Archean magmatism and basement reactivation in the Carajás area, Amazon shield, Brazil.** *Precambrian Research*, v.49(3-4), p.329-354, 1991.

MAGALHÃES, M. S. & DALL'AGNOL, R. **Estudo de minerais opacos e susceptibilidade magnética nos granitos Musa e Jamon (região de Rio Maria – SE do Pará) e suas implicações petrolopéticas.** *Revista Brasileira de Geociências*, v. 22(2): p. 184-197, 1992.

MONTEIRO, P. C. **Investigaçāo do limite entre domínios geocronológicos da região do médio rio Xingu, sudeste do Cráton Amazônico.** Dissertação (Mestrado em Geoquímica e Petrologia) – Setor de Ciências, Universidade Federal do Pará, Belém, 104 p., 2006.

MUTCH, E. J. F.; BLUNDY, J. D.; TATTITCH, B. C. et al. **An experimental study of amphibole stability in low-pressure granitic magmas and a revised Al-in-hornblende geobarometer.** Contributions to Mineralogy and Petrology, v. 171, p. 85, 2016.

NACHIT, H.; IBHI, A.; ABIA, E. H.; OHOUD, M.B. **Discrimination between primary magmatic biotites, reequilibrated biotites and neoformed biotites.** Géoscience, v. 337(16): p. 1415-1420, 2005.

NACHIT, H., RAZAFIMAHEFA, N., STUSSI, J.M., CARRON, J.P. **Composition chimique des biotites et typologie magmatique des granitoides.** Comptes Rendus Academie des Sciences, Paris, v. 301: p. 813–818, 1985.

OLIVEIRA, J. R.; SILVA NETO, C. S.; COSTA, E. J. S. **Serra Pelada - Folha SB.22-X-C, Estado do Pará, escala 1:250.000.** Brasília: CPRM, 1994. Relatório técnico.

PASSHIER, C. W. & TROUW, R. A. J. **Microtectonics.** Springer-Verlag Berlin Heidelberg, 2005.

PEARCE, J.; HARRIS, N.; TINDLE, A. **Trace Element Discrimination Diagrams for the Tectonic Interpretation of Granitic Rocks.** Journal of Petrology, v.25: p. 956-983, 1984.

PERICO, E.; BARROS, C. E. M.; MANCINI, F.; ROSTIROLLA, S. P. **Protracted deformation during cooling of the Paleoproterozoic arc system as constrained by  $^{40}\text{Ar}/^{39}\text{Ar}$  ages of muscovite from brittle faults: The Transamazonan Bacajá Terrane, Brazil.** Brazilian Journal of Geology, São Paulo, v. 47, n. 3, p. 427-440, 2017.

PIMENTEL, Helmut Sousa. **Estudo isotópico do depósito aurífero Volta Grande, domínio Bacajá, sudeste do cráton amazônico. 2024.** xxiv, Tese (Doutorado em Geoquímica e Petrologia) – Instituto de Geociências, Universidade Federal do Pará, Belém, 165 p., 2024.

PUTIRKA, K. **Amphibole thermometers and barometers for igneous systems and some implications for eruption mechanisms of felsic magmas at arc volcanoes.** American Mineralogist, v. 101, n. 4, p. 841-858, 2016.

RIDOLFI, F.; RENZULLI, A.; PUERINI, M. **Stability and chemical equilibrium of amphibole in calc-alkaline magmas: an overview, new thermobarometric formulations and application to subduction-related volcanoes.** Contributions to Mineralogy and Petrology, v. 160, p. 45-66, 2010.

- RIEDER, M., CAVAZZINI, G., D'YAKONOV, Y.S. et al. **Nomenclature of the Micas.** Clays Clay Miner. V. 46, p. 586–595, 1998.
- ROSSI, P. & CHEVREMONT, P. **Classification des associations magmatiques granitoides.** Geochronique, v. 21: p. 14-18, 1987.
- SANTOS, J.O.S., HARTMANNM L. A., FARIA, M.S., RIKER, S. R., SOUZA, M. M., ALMEIDA, M. E., MCNAUGHTON, N. J. **A Compartimentação do Cráton Amazonas em Províncias: Avanços ocorridos no período 2000-2006.** In: SBG, Simpósio de Geologia da Amazônia, v. 9, 2006 Belém, CD-ROM.
- SANTOS, J. O. S, HARTMANN, L. A, GAUDETTE, H. E, GROVES, D. I., MCNAUGHTON, N. J., FLETCHER, I. R. **A New Understanding of the Provinces of the Amazon Craton Based on Integration of Field Mapping and U-Pb and Sm-Nd Geochronology.** Gondwana Research, v. 3, n.4: p. 453-488, 2000.
- SCHMIDT, M.W. **Amphibole compositions in tonalite as function of pressure: an experimental calibration of the Al- in hornblende barometer.** Contributions to Mineralogy and Petrology, v. 110: p. 304-310, 1992.
- SHABANI, A. A. T.; LALONDE, A. E.; WHALEN, J. B. **Composition of biotite from granitic rocks of the Canadian Appalachian Orogen: a potential tectonomagmatic indicator?** The Canadian Mineralogist, v. 41, n. 6, p. 1381-1396, 2003.
- SHVETSOV, M. **Concerning some additional aids in studying sedimentary formations.** Bulletin Moscow Society Naturalists (Pub. Moscow Univ. Geol. Sect.), v. 29, p. 61-66, 1954.
- SIAL, A. N.; VASCONCELOS, P. M.; FERREIRA, V. P.; PESSOA, R. R.; BRASILINO, R. G.; MORAIS NETO, J. M. **Geochronological and mineralogical constraints on depth of emplacement and ascension rates of epidote-bearing magmas from northeastern Brazil.** Lithos, v. 105, p. 225-238, 2008.
- SOUZA, V. S.; KOTSCHOUBEY, B.; MACAMBIRA, M. J. B. **Idade de zircão do granito Felício Turvo, garimpo de ouro do Manelão, região do Bacajá (PA): implicações tectônicas.** In: VIII Simpósio de Geologia da Amazônia, Manaus, 2003.
- STRECKEISEN, A. **To each plutonic rock its proper name.** Earth-Science Reviews, v. 12, n. 1: p. 1-33, 1976.
- TASSINARI, C. & MACAMBIRA, M. **Geochronological provinces of the Amazonian Craton.** Episodes, v. 22: p. 174-182, 1999.
- VASQUEZ, M. L.; MACAMBIRA, M. J. B.; ARMSTRONG, R. A. **Zircon geochronology of granitoids from the western Bacajá domain, southeastern Amazonian craton, Brazil: Neoarchean to Orosirian evolution.** Precambrian Research, v. 161: p. 279-302, 2008.

VASQUEZ, M. L., ROSA-COSTA, L. T. **Geologia e Recursos Minerais do Estado do Pará, escala 1:1.000.000.** Belém: CPRM, 328 p., 2008.

VASQUEZ, M. L.; MACAMBIRA, M. J. B.; GALARZA, M. A. **Granitoides Transamazônicos da região Iriri-Xingu, Pará – novos dados geológicos e geocronológicos.** Contribuições à Geologia da Amazônia, Manaus, v. 4, p. 16-31. 2005.

WARR, L. N. **IMA–CNMNC approved mineral symbols.** Mineralogical Magazine, v. 85, n. 3, p. 291-320, 2021. DOI:

WERNICK, E. **Rochas magmáticas – conceitos fundamentais e classificação modal, química, termodinâmica e tectônica.** São Paulo: UNESP, 2003.

WONES, D. R.; EUGSTER, H. P. **Stability of biotite: experiment, theory, and application.** American Mineralogist, v. 50, n. 9, p. 1228-1272, 1965.

## APÊNDICE 1

Características	Porcentagem modal estimada e summarização das principais feições petrográficas observadas em granitoides da Folha Rio Bacajá														
	Complexo Bacajá			Suite Intrusiva Arapari											
	FB-14	FB-17	FB-105	FB-116A	FB-118	FB-133	FB-150	FB-89A	FB-82	FB-75	FB-72	FB-84	FB-85	FB-123	FB-146
Mineralogia (%)															
Quartzo	30	40	35	45	20	25	30	30	40	35	35	25	15	30	30
Micoclinio	35	40	35	30	30	35	30	30	40	30	30	35	10	15	15
Rajadão	30	10	20	20	40	30	25	5	15	5	60	25	60	40	40
Biotita	<1	<1	<1	<1	<5	<1	<5	<1	<1	<5	<1	<1	<5	<5	<5
Antípolio	0	0	0	0	0	0	<5	0	0	<1	0	0	<5	<1	<5
Proteílio	0	0	0	0	0	0	0	0	0	0	0	0	0	0	0
Epidoto	<1	<1	<1	<1	<1	<5	<1	<1	<1	<5	<1	<1	<5	<1	<5
Titanita	0	0	<1	0	<1	0	0	0	0	<5	0	<1	<5	<5	<5
Arialita	<1	<1	<1	0	<1	0	<1	0	<1	<1	0	<1	<1	<1	<1
Apaita	<1	<1	<1	0	<1	0	<1	<1	<1	<1	<1	<1	<1	<1	<1
Zircão	<1	<1	<1	0	<1	0	<1	0	<1	<1	0	0	<1	<1	<1
Ortialita	<1	0	0	0	0	0	0	0	0	<5	0	<1	0	0	0
Cartonato	0	0	0	0	0	0	0	0	0	0	0	0	0	0	0
Sericita	<1	<1	<1	<1	<1	<1	<1	<1	<1	<1	<1	<1	<1	<1	<1
Wisscovita	0	0	0	0	0	0	0	0	0	0	0	0	0	0	0
Opacos	<1	<1	<5	<1	<1	<5	<5	<5	<5	<5	<5	<5	<5	<5	<5
Primários	80	80	90	85	80	5	85	70	90	95	85	50	80	90	90
Secundários	20	20	20	10	15	95	15	30	10	5	15	50	20	25	10
Feições de deformação	Extinção ondulante, bandas de deformação, agregados de subgrãos e novos grãos (quartz)										Extinção ondulante, extinção cônudante, agregados de subgrãos e novos grãos (quartz)				
	Extinção ondulante, extinção cônudante, agregados de subgrãos e novos grãos (quartz)										Extinção ondulante, extinção cônudante, agregados de subgrãos e novos grãos (quartz)				
Estrutura	Moderadamente orientada										Moderadamente orientada				
	Frecamente orientada										Frecamente orientada				
Textura	Granular fina a grossa peritítica mirmecítica										Granular fina a grossa peritítica mirmecítica				
	Holoecocrática										Holoecocrática				
Índice de cor	0										0				
	Monzogranito										0				
Nomeclatura	Monzogranito										Monzogranito				
	Siemogranito										Siemogranito				



## APÊNDICE 2

### CONDIÇÕES DE OPERAÇÃO DA MICROSSONDA ELETRÔNICA

Silicatos - Geral

Standard data

Measurement Condition

WDS elements

Element	X-ray	Crystal	CH	Acc.v	Peak	Pos.	(nm)	BG_L	BG_U	(mm)
1 Na	Ka	TAP	( 1)	15.0	129.527	1.19101	6.000	3.700		
2 Al	Ka	TAP	( 1)	15.0	90.653	0.83393	2.800	3.500		
3 Si	Ka	TAP	( 1)	15.0	77.429	0.71254	9.300	2.600		
4 F	Ka	TAP	( 2)	15.0	198.792	1.83200	6.900	4.000		
5 Mg	Ka	TAP	( 2)	15.0	107.059	0.98900	8.000	4.600		
6 Sr	La	TAP	( 2)	15.0	74.020	0.68628	6.400	4.800		
7 K	Ka	PETJ	( 3)	15.0	119.594	0.37414	1.900	7.400		
8 Ca	Ka	PETJ	( 3)	15.0	107.360	0.33584	4.200	4.400		
9 Cr	Ka	PETJ	( 3)	15.0	73.081	0.22897	3.200	4.700		
10 Ni	Ka	LIF	( 4)	15.0	115.237	0.16579	4.000	2.500		
11 Fe	Ka	LIF	( 4)	15.0	134.529	0.19360	6.900	3.700		
12 Mn	Ka	LIF	( 4)	15.0	146.026	0.21018	4.200	3.700		
13 Ba	La	LIF	( 4)	15.0	192.809	0.27759	4.700	3.100		
14 Cl	Ka	PETH	( 5)	15.0	151.349	0.47278	3.300	6.200		
15 V	Ka	PETH	( 5)	15.0	162.423	0.25036	1.600	1.000		
16 Ti	Ka	PETH	( 5)	15.0	87.803	0.27485	1.500	4.000		

Element	Peak	Back	Pksk	Gain	High.V	Base.L	Window.W	Mode
1 Na	30.0	15.0 (s)	0	16	1660	0.7	9.3 (V)	Dif
2 Al	30.0	15.0 (s)	0	16	1660	0.7	9.3 (V)	Dif
3 Si	20.0	10.0 (s)	0	16	1660	0.7	9.3 (V)	Dif
4 F	30.0	15.0 (s)	0	16	1650	0.7	9.3 (V)	Dif
5 Mg	30.0	15.0 (s)	0	16	1650	0.7	9.3 (V)	Dif
6 Sr	30.0	15.0 (s)	0	16	1650	0.7	9.3 (V)	Dif
7 K	30.0	15.0 (s)	0	16	1658	2.3	- (V)	Int
8 Ca	20.0	10.0 (s)	0	16	1658	2.3	- (V)	Int
9 Cr	30.0	15.0 (s)	0	16	1658	2.3	- (V)	Int
10 Ni	30.0	15.0 (s)	0	32	1670	1.5	- (V)	Int
11 Fe	30.0	15.0 (s)	0	32	1670	1.5	- (V)	Int
12 Mn	30.0	15.0 (s)	0	32	1670	1.5	- (V)	Int
13 Ba	30.0	15.0 (s)	0	32	1670	1.5	- (V)	Int
14 Cl	30.0	15.0 (s)	0	64	1614	1.4	- (V)	Int
15 V	30.0	15.0 (s)	0	64	1614	1.4	- (V)	Int
16 Ti	20.0	10.0 (s)	0	64	1614	1.4	- (V)	Int

Measurement Order of WDS

Order	Channel 1					Channel 2					Channel 3					Channel 4					Channel 5				
	Na_1TAP_-	F_2TAP_K	K_3PETJ_-	Ni_4LIF_-	C1_5PETH	Al_1TAP_-	Mg_2TAP_-	Ca_3PETJ	Fe_4LIF_-	V_5PETH	Si_1TAP_-	Sr_2TAP_-	Cr_3PETJ	Mn_4LIF_-	Ti_5PETH	Ba_4LIF_-	-	-	-	-	-	-	-	-	-
1																									
2																									
3																									
4						-	-	-	-	-															

Calc. Elements : O (Anion) OH (Difference)

## Standard Data

Element	Standard name	Mass (%)	ZAF Fac.	Z	A	F
1 Na2O	Sodalite	25.1667	5.7526	10.8469	0.5286	1.0034
2 Al2O3	Corundum	99.9949	4.4254	5.8915	0.7512	1.0000
3 SiO2	SiO2	100.0000	3.5148	4.3603	0.8061	1.0000
4 F	Fluorite	48.6700	5.5588	22.0589	0.2520	1.0000
5 MgO	Periclase	99.9874	5.3785	7.8316	0.6868	1.0000
6 SrO	Celestine	56.4103	3.4798	4.3538	0.7957	1.0045
7 K2O	Microcline	15.1400	1.0691	1.2020	0.8894	1.0000
8 CaO	Wollastonite	47.8387	0.8771	0.9407	0.9324	1.0000
9 Cr2O3	Cr2O3	99.9985	0.3641	0.3706	0.9825	1.0000
10 NiO	NiO	99.9951	0.1201	0.1213	0.9902	1.0000
11 FeO	Fe3O4	93.0898	0.2153	0.2181	0.9872	1.0000
12 MnO	Rhodonite	43.4885	0.2671	0.2733	0.9774	1.0000
13 BaO	Barite	65.6948	0.5358	0.5747	0.9322	1.0000
14 Cl	Sodalite	7.2000	1.6146	2.0012	0.8068	1.0000
15 V2O3	Vanadinite	15.4617	0.5049	0.5791	0.8718	1.0000
16 TiO2	Rutile	100.0001	0.5913	0.6060	0.9757	1.0000

## Standard Intensity of WDS

## Standard Intensity of WDS

Element	Curr.(A)	Net(cps)	Bg-(cps)	Bg+(cps)	S.D. (%)	Date
1 Na	2.001E-008	2574.6	10.0	8.2	0.16	2023/03/10 12:04:05
2 Al	2.001E-008	22260.8	104.5	33.1	0.05	2023/03/10 12:11:11
3 Si	2.000E-008	21913.6	43.7	53.3	0.07	2023/03/10 12:16:38
4 F	1.999E-008	360.0	4.3	3.5	0.43	2023/03/10 12:24:07
5 Mg	1.999E-008	20224.5	18.2	23.4	0.06	2023/03/10 12:31:35
6 Sr	1.999E-008	9088.9	168.0	83.9	0.09	2023/03/10 12:38:47
7 K	2.000E-008	1338.2	7.6	2.8	0.22	2023/03/10 13:20:03
8 Ca	2.000E-008	4275.1	17.3	12.9	0.15	2023/03/10 13:25:32
9 Cr	2.001E-008	6513.3	245.5	121.6	0.10	2023/03/10 13:32:35
10 Ni	2.000E-008	4484.5	23.1	21.8	0.12	2023/03/10 13:39:46
11 Fe	1.999E-008	4052.1	13.4	9.8	0.13	2023/03/10 13:46:56
12 Mn	2.000E-008	1355.2	5.6	5.0	0.22	2023/03/10 14:27:44
13 Ba	1.999E-008	381.5	3.6	3.7	0.42	2023/03/10 14:34:50
14 Cl	2.001E-008	2584.2	19.8	15.8	0.16	2023/03/10 12:04:05
15 V	1.998E-008	4247.6	120.8	138.9	0.13	2023/03/10 14:41:50
16 Ti	1.999E-008	29798.5	215.3	138.9	0.06	2023/03/10 14:47:16

UNK No. :	2	3	4	5	6	7
	8	9	10	11	12	
	13	14	15	16	17	
	18		19	20		

## **APÊNDICE 3**

## Complexo Bacajai - FB-133

## Composição do feldspato alcalino

## Porcentagem em peso de óxidos

	<i>C1(b)</i>	<i>C1(i)</i>	<i>C1(g)</i>	<i>C1(l)</i>	<i>C1(b)</i>
SiO <sub>2</sub>	64,122	64,054	64,259	64,340	64,127
TiO <sub>2</sub>	0,016	0,000	0,015	0,000	0,018
Al <sub>2</sub> O <sub>3</sub>	18,455	18,447	18,532	18,563	18,504
FeO	0,016	0,028	0,008	0,008	0,024
CaO	0,000	0,000	0,000	0,000	0,000
Na <sub>2</sub> O	0,392	0,417	0,371	0,368	0,369
K <sub>2</sub> O	15,743	15,557	15,706	15,664	15,842
BaO	0,218	0,059	0,229	0,167	0,269
Total	98,982	98,562	99,120	99,110	99,153
<b>Nome</b>	Ortoclasio				
Fórmula estrutural					

## Sulite Arapari - FB-15

## Composição do feldspato alcalino

## Porcentagem em peso de óxidos

	<i>C1(b)</i>	<i>C1(i)</i>	<i>C1(g)</i>	<i>C1(l)</i>	<i>C1(b)</i>	<i>C1(b)</i>	<i>C2(b)</i>	<i>C2(l)</i>	<i>C2(g)</i>	<i>C2(l)</i>	<i>C2(b)</i>
SiO <sub>2</sub>	64,040	64,319	64,373	64,181	64,092	64,260	64,049	64,321	63,927	63,914	64,011
TiO <sub>2</sub>	0,028	0,039	0,023	0,024	0,012	0,000	0,028	0,014	0,030	0,010	0,008
Al <sub>2</sub> O <sub>3</sub>	18,703	18,697	18,699	18,830	18,691	18,875	18,630	18,829	18,714	18,672	18,709
FeO	0,030	0,008	0,025	0,015	0,030	0,028	0,009	0,000	0,036	0,001	0,004
CaO	0,000	0,000	0,010	0,000	0,000	0,000	0,000	0,000	0,000	0,000	0,013
Na <sub>2</sub> O	0,419	0,439	0,581	0,490	0,573	0,737	0,306	0,472	0,474	0,437	0,760
K <sub>2</sub> O	15,453	15,397	15,178	15,296	15,290	15,001	15,664	15,423	15,265	15,169	15,029
BaO	0,703	0,627	0,865	0,782	0,705	0,921	0,862	0,676	0,606	0,926	0,779
Total	99,376	99,586	99,754	99,508	99,393	99,822	99,548	99,735	99,052	99,129	99,300
<b>Nome</b>	Ortoclasio										
Fórmula estrutural											

---

Suita Aranari EB 8E

Suite Alapal - FB-83

Suite Alapal - FB-83

Composição do feldspato alcalino									
Porcentagem do peso de óxidos									
	C1(i)	C1(ii)	C1(iii)	C1(iv)	C1(v)	C1(vi)	C1(vii)	C1(viii)	C1(ix)
SiO <sub>2</sub>	63.469	66.097	63.895	63.450	63.865	63.414	63.976	63.995	63.804
TiO <sub>2</sub>	0.014	0.000	0.034	0.028	0.030	0.029	0.051	0.018	0.031
Al <sub>2</sub> O <sub>3</sub>	18.542	20.072	19.292	18.650	18.528	18.480	18.575	18.494	18.553
FeO	0.037	0.067	0.122	0.049	0.066	0.037	0.054	0.034	0.012
CaO	0.000	0.852	0.400	0.000	0.006	0.014	0.003	0.000	0.000
Na <sub>2</sub> O	0.492	10.969	0.684	0.511	0.572	0.548	0.665	0.457	0.503
K <sub>2</sub> O	15.183	0.256	13.105	14.953	14.834	15.192	14.962	15.451	15.297
BaO	0.805	0.000	1.032	1.129	0.783	0.700	0.779	0.670	0.611
Total	98.542	98.313	98.564	98.770	98.634	98.842	98.464	99.103	99.002
<b>Nome</b>	Orthoclásio	Albita	Ortoclásio						
Fórmula estrutural									
Si	11.930	11.787	11.894	11.914	11.960	11.953	11.954	11.969	11.949
Ti	0.002	0.000	0.005	0.004	0.004	0.004	0.007	0.003	0.004
Al	4.107	4.218	4.232	4.127	4.089	4.077	4.115	4.072	4.084
Fe(ii)	0.006	0.010	0.019	0.008	0.003	0.006	0.001	0.005	0.002
Ca	0.000	0.163	0.080	0.000	0.001	0.000	0.003	0.001	0.000
Na	0.179	3.792	0.247	0.186	0.208	0.199	0.242	0.166	0.182
K	3.640	0.058	3.112	3.581	3.544	3.627	3.587	3.683	3.645
Ba	0.059	0.000	0.075	0.083	0.057	0.051	0.057	0.049	0.045
Total	19.924	20.029	19.664	19.903	19.866	19.918	19.931	19.932	19.914
An	0.000	4.056	2.320	0.000	0.032	0.000	0.074	0.016	0.000
Ab	4.694	94.493	7.179	4.937	5.534	5.197	6.323	4.301	4.760
Or	95.306	1.451	90.501	95.063	94.434	94.803	93.603	95.683	95.420

---

Suite Amanoi DB 146

Suite Alapjai - FB- 48

## Composição do feldspato alcalino

## Suite João Jorge I - FB-13

## Composição do feldspato alcalino

## Porcentagem em peso de óxidos

	C1(b)	C1(i)	C1(g)	C1(j)	C1(b)	C1(b)	C2(b)	C2(j)	C2(g)	C2(b)	C2(j)	C2(g)	C2(b)	C2(j)	
SiO <sub>2</sub>	63.986	63.880	64.045	64.096	64.091	63.962	64.038	63.972	64.210	63.918	64.238	64.231	63.545	64.076	
TiO <sub>2</sub>	0.047	0.014	0.040	0.022	0.010	0.025	0.037	0.044	0.042	0.016	0.055	0.013	0.036	0.021	
Al <sub>2</sub> O <sub>3</sub>	18.847	18.733	18.710	18.753	18.789	18.621	18.643	18.938	18.814	18.901	18.818	18.866	18.834	18.672	
FeO	0.028	0.055	0.027	0.000	0.000	0.018	0.007	0.069	0.027	0.015	0.035	0.000	0.005	0.016	
CaO	0.000	0.000	0.000	0.000	0.001	0.000	0.000	0.000	0.000	0.000	0.000	0.000	0.000	0.000	
Na <sub>2</sub> O	0.448	0.469	0.483	0.437	0.517	0.426	0.453	0.374	0.454	0.549	0.444	0.401	0.483	0.511	
K <sub>2</sub> O	15.288	15.103	15.067	15.382	15.416	15.287	15.339	15.350	15.370	15.498	15.396	15.349	15.288	15.530	
BaO	1.155	0.987	0.870	0.926	0.886	0.849	0.994	1.131	0.922	0.883	0.985	0.892	0.988	1.023	
Total	99.769	99.241	99.242	99.616	99.710	99.188	99.565	100.004	99.601	99.869	99.714	99.818	99.932	99.728	
<b>Nome</b>	<b>Ortoclasio</b>														
Fórmula estrutural															
Si	11.907	11.925	11.939	11.927	11.917	11.942	11.937	11.888	11.909	11.910	11.902	11.923	11.920	11.898	
Ti	0.007	0.002	0.006	0.003	0.001	0.004	0.005	0.006	0.004	0.002	0.008	0.002	0.005	0.003	0.004
Al	4.127	4.121	4.110	4.112	4.117	4.097	4.092	4.156	4.128	4.132	4.129	4.120	4.126	4.118	4.117
Fe(ii)	0.004	0.009	0.004	0.000	0.000	0.003	0.001	0.011	0.004	0.002	0.005	0.000	0.001	0.003	0.002
Ca	0.000	0.000	0.000	0.000	0.000	0.000	0.000	0.000	0.000	0.000	0.000	0.000	0.000	0.000	0.000
Na	0.162	0.170	0.175	0.158	0.186	0.154	0.164	0.135	0.164	0.197	0.160	0.144	0.174	0.184	0.171
K	3.629	3.596	3.583	3.651	3.657	3.641	3.644	3.635	3.650	3.615	3.681	3.645	3.633	3.618	3.667
Ba	0.084	0.072	0.064	0.068	0.065	0.062	0.073	0.082	0.067	0.064	0.072	0.065	0.063	0.072	0.069
Total	19.919	19.895	19.879	19.918	19.944	19.903	19.916	19.913	19.928	19.926	19.952	19.904	19.919	19.920	19.932
An	0.000	0.000	0.000	0.005	0.000	0.000	0.000	0.000	0.000	0.000	0.000	0.000	0.000	0.000	0.000
Ab	4.264	4.507	4.646	4.139	4.850	4.063	4.296	3.571	4.296	5.178	4.173	3.808	4.564	4.834	4.406
Or	95.736	95.493	95.354	95.861	95.145	95.937	95.704	96.429	95.704	94.822	95.827	96.192	95.436	95.166	95.594

## Suite João Jorge I - FB-44

## Composição do feldspato alcalino

	C1(b)	C1(i)	C1(p)	C1(j)	C1(b)	C1(b)	C2(b)	C2(j)	C2(g)	C2(b)	C2(j)	C2(g)	C2(b)	C2(j)	
SiO <sub>2</sub>	64.179	64.173	64.324	64.292	64.655	64.606	64.466	64.052	64.117	64.441	64.108	64.060	64.329	64.201	64.372
TiO <sub>2</sub>	0.016	0.010	0.012	0.035	0.027	0.010	0.010	0.028	0.016	0.033	0.031	0.022	0.024	0.006	0.000
Al <sub>2</sub> O <sub>3</sub>	18.550	18.580	18.736	18.671	18.417	18.657	18.703	18.641	18.655	18.610	18.617	18.638	18.582	18.700	18.528
FeO	0.035	0.049	0.031	0.063	0.052	0.018	0.033	0.033	0.000	0.026	0.003	0.000	0.033	0.018	0.016
CaO	0.076	0.028	0.024	0.000	0.035	0.000	0.004	0.004	0.040	0.013	0.000	0.043	0.045	0.013	0.000
Na <sub>2</sub> O	0.476	0.461	0.708	0.544	1.024	0.469	0.384	0.352	0.390	0.495	0.409	0.438	0.487	0.354	0.329
K <sub>2</sub> O	15.284	15.179	15.110	15.225	14.579	15.541	15.500	15.586	15.419	15.312	15.452	15.372	15.248	15.484	15.528
BaO	0.616	0.605	0.334	0.343	0.190	0.344	0.146	0.548	0.552	0.369	0.402	0.300	0.416	0.445	0.316
Total	99.156	99.085	99.279	99.203	98.979	99.645	99.506	99.240	99.189	99.299	99.022	98.873	99.164	99.221	99.089
<b>Nome</b>	<b>Ortoclasio</b>														
Fórmula estrutural															
Si	11.964	11.964	11.947	11.955	12.004	11.969	11.962	11.943	11.949	11.971	11.956	11.970	11.952	11.986	
Ti	0.002	0.001	0.002	0.005	0.004	0.001	0.001	0.004	0.002	0.005	0.004	0.003	0.003	0.001	0.000
Al	4.075	4.082	4.101	4.092	4.030	4.074	4.090	4.096	4.097	4.074	4.092	4.099	4.075	4.103	4.066
Fe(ii)	0.005	0.008	0.005	0.010	0.008	0.003	0.005	0.005	0.000	0.004	0.000	0.005	0.003	0.002	0.000
Ca	0.000	0.006	0.005	0.000	0.007	0.000	0.001	0.000	0.008	0.003	0.000	0.009	0.009	0.003	0.000
Na	0.172	0.167	0.255	0.196	0.369	0.168	0.138	0.127	0.141	0.178	0.148	0.158	0.176	0.128	0.119
K	3.634	3.610	3.580	3.618	3.453	3.673	3.669	3.707	3.665	3.628	3.676	3.659	3.619	3.677	3.688
Ba	0.045	0.044	0.024	0.025	0.014	0.025	0.030	0.040	0.040	0.027	0.029	0.022	0.030	0.032	0.023
Total	19.898	19.882	19.918	19.901	19.888	19.913	19.895	19.922	19.903	19.890	19.906	19.903	19.887	19.898	19.884
An	0.000	0.148	0.124	0.000	0.182	0.000	0.021	0.000	0.209	0.068	0.000	0.225	0.236	0.068	0.000
Ab	4.519	4.406	5.141	6.640	4.385	3.628	3.319	3.694	4.680	3.867	4.141	4.619	3.356	3.120	
Or	95.481	95.446	93.236	94.859	90.190	95.615	96.351	96.681	96.096	95.252	96.133	95.634	95.146	96.576	96.880

Suite João Jorge I - FB-47Composição do feldspato alcalinoPorcentagem em peso de óxidos

	<i>C1(b)</i>	<i>C1(l)</i>	<i>C1(g)</i>	<i>C1(l)</i>	<i>C1(b)</i>	<i>C1(l)</i>	<i>C1(b)</i>	<i>C1(l)</i>	<i>C1(b)</i>	<i>C1(l)</i>	<i>C1(b)</i>	<i>C1(l)</i>
SiO <sub>2</sub>	64,110	64,263	64,335	64,265	64,683	64,284	63,953	67,153	64,567	64,567	64,567	64,567
TiO <sub>2</sub>	0,028	0,000	0,015	0,000	0,016	0,005	0,005	0,007	0,001	0,000	0,004	0,004
Al <sub>2</sub> O <sub>3</sub>	18,591	18,513	18,551	18,681	18,618	18,527	18,563	19,515	18,669	18,669	18,669	18,669
FeO	0,026	0,016	0,004	0,051	0,052	0,069	0,041	0,011	0,011	0,026	0,026	0,026
CaO	0,001	0,000	0,001	0,000	0,000	0,000	0,000	0,006	0,290	0,011	0,011	0,011
Na <sub>2</sub> O	0,418	0,340	0,480	0,469	0,443	0,410	0,445	0,445	0,445	0,445	0,445	0,445
K <sub>2</sub> O	15,744	15,836	15,686	15,615	15,504	15,666	15,587	15,587	15,587	14,636	14,636	14,636
BaO	0,428	0,208	0,260	0,305	0,246	0,184	0,325	0,099	0,395	0,395	0,395	0,395
Total	99,346	99,183	99,332	99,386	99,562	99,191	98,924	99,463	99,352	99,352	99,352	99,352
<b>Nome</b>	<b>Ortocássio</b>						<b>Anortocássio Ortocássio</b>					

Fórmula estrutural

	<i>C1(b)</i>	<i>C1(l)</i>	<i>C1(g)</i>	<i>C1(l)</i>	<i>C1(b)</i>	<i>C1(l)</i>	<i>C1(b)</i>	<i>C1(l)</i>	<i>C1(b)</i>	<i>C1(l)</i>	<i>C1(b)</i>	<i>C1(l)</i>
Si	11,944	11,971	11,965	11,947	11,981	11,966	11,949	11,915	11,965	11,965	11,965	11,965
Ti	0,004	0,001	0,002	0,000	0,002	0,007	0,001	0,000	0,000	0,001	0,001	0,001
Al	4,082	4,064	4,066	4,093	4,064	4,064	4,087	4,081	4,077	4,077	4,077	4,077
Fe(ii)	0,004	0,002	0,001	0,008	0,008	0,011	0,006	0,002	0,004	0,004	0,004	0,004
Ca	0,000	0,000	0,000	0,000	0,000	0,000	0,001	0,055	0,002	0,002	0,002	0,002
Na	0,151	0,123	0,173	0,169	0,159	0,148	0,161	0,407	0,375	0,375	0,375	0,375
K	3,741	3,763	3,721	3,703	3,663	3,720	3,715	3,564	3,460	3,460	3,460	3,460
Ba	0,031	0,015	0,019	0,022	0,018	0,013	0,024	0,007	0,029	0,029	0,029	0,029
Total	19,988	19,939	19,947	19,942	19,896	19,929	19,945	20,030	19,913	19,913	19,913	19,913
An	0,005	0,000	0,005	0,000	0,000	0,031	1,369	1,369	0,057	0,057	0,057	0,057
Ab	3,878	3,160	4,444	4,366	4,162	3,825	4,157	84,632	9,775	9,775	9,775	9,775
Or	96,116	96,840	95,551	95,634	95,838	96,175	95,812	13,983	90,168	90,168	90,168	90,168
<b>Nome</b>	<b>Ortocássio</b>						<b>Anortocássio Ortocássio</b>					

Suite João Jorge I - FB-131Composição do feldspato alcalinoPorcentagem em peso de óxidos

	<i>C1(b)</i>	<i>C1(l)</i>	<i>C1(g)</i>	<i>C1(l)</i>	<i>C1(b)</i>	<i>C1(l)</i>	<i>C1(b)</i>	<i>C1(l)</i>	<i>C1(b)</i>	<i>C1(l)</i>	<i>C1(b)</i>	<i>C1(l)</i>
SiO <sub>2</sub>	63,980	63,788	63,846	63,944	63,905	63,692	64,072	63,727	64,051	63,935	64,021	64,020
TiO <sub>2</sub>	0,048	0,023	0,026	0,057	0,034	0,034	0,052	0,037	0,036	0,040	0,037	0,046
Al <sub>2</sub> O <sub>3</sub>	18,905	18,834	18,894	18,721	18,843	18,703	18,864	18,666	18,790	18,896	18,965	18,824
FeO	0,055	0,013	0,039	0,059	0,048	0,034	0,022	0,061	0,049	0,030	0,058	0,023
CaO	0,091	0,108	0,149	0,321	0,061	0,029	0,086	0,036	0,074	0,007	0,062	0,019
Na <sub>2</sub> O	1,748	1,163	1,796	1,376	1,396	1,072	1,357	1,091	1,782	1,173	2,388	1,839
K <sub>2</sub> O	13,211	14,002	13,003	13,643	13,691	14,188	13,781	14,094	13,186	14,095	12,417	13,144
BaO	0,925	1,019	1,278	1,067	1,086	1,047	1,150	0,905	1,023	1,246	1,065	1,120
Total	98,940	98,950	99,031	98,578	99,064	98,808	99,366	98,632	98,982	99,418	99,016	99,057
<b>Nome</b>	<b>Ortocássio</b>						<b>Anortocássio Ortocássio</b>					

	<i>C1(b)</i>	<i>C1(l)</i>	<i>C1(g)</i>	<i>C1(l)</i>	<i>C1(b)</i>	<i>C1(l)</i>	<i>C1(b)</i>	<i>C1(l)</i>	<i>C1(b)</i>	<i>C1(l)</i>	<i>C1(b)</i>	<i>C1(l)</i>
Si	11,887	11,903	11,888	11,878	11,904	11,914	11,906	11,924	11,914	11,887	11,884	11,920
Ti	0,007	0,003	0,004	0,008	0,005	0,006	0,005	0,007	0,005	0,005	0,006	0,006
Al	4,144	4,142	4,146	4,131	4,137	4,123	4,131	4,116	4,119	4,144	4,149	4,130
Fe(ii)	0,009	0,002	0,006	0,009	0,007	0,005	0,003	0,010	0,008	0,005	0,004	0,004
Ca	0,018	0,022	0,030	0,064	0,012	0,006	0,017	0,007	0,015	0,012	0,004	0,004
Na	0,629	0,421	0,648	0,500	0,504	0,389	0,489	0,396	0,643	0,423	0,859	0,395
K	3,135	3,333	3,088	3,259	3,385	3,267	3,364	3,129	3,345	2,940	3,118	3,332
Ba	0,067	0,075	0,093	0,078	0,079	0,077	0,084	0,066	0,075	0,091	0,077	0,082
Total	19,906	19,900	19,904	19,927	19,905	19,901	19,890	19,907	19,911	19,936	19,913	19,872
<b>Nome</b>	<b>Ortocássio</b>						<b>Anortocássio Ortocássio</b>					

	<i>C1(b)</i>	<i>C1(l)</i>	<i>C1(g)</i>	<i>C1(l)</i>	<i>C1(b)</i>	<i>C1(l)</i>	<i>C1(b)</i>	<i>C1(l)</i>	<i>C1(b)</i>	<i>C1(l)</i>	<i>C1(b)</i>	<i>C1(l)</i>
Si	0,789	0,788	0,785	0,323	0,154	0,454	0,192	0,389	0,037	0,323	0,111	0,102
Ti	0,572	0,572	0,572	0,572	0,572	0,572	0,572	0,572	0,572	0,572	0,572	0,572
Al	16,639	11,145	17,213	13,067	13,374	10,285	12,958	10,506	16,973	11,224	22,545	10,585
FeO	82,882	88,283	81,998	85,248	86,303	89,561	86,588	89,302	82,637	88,739	77,132	82,373
Total	99,346	99,183	99,332	99,386	99,562	99,191	98,924	99,463	99,352	99,352	99,352	99,352
<b>Nome</b>	<b>Ortocássio</b>						<b>Anortocássio Ortocássio</b>					

## Suíte João Jorge I - FB-147

## Composição do feldspato alcalino

## Porcentagem em peso de óxidos

	C1(b)	C1(i)	C1(c)	C1(j)	C1(b)	C1(b)	C1(i)	C1(b)	C1(i) (p)	C2(b)	C2(i)	C2(c)	C2(i)	C2(b)
NOME	Ortoclássio													
SiO <sub>2</sub>	64,357	64,113	64,262	63,875	63,958	64,125	64,283	64,548	64,425	67,056	64,516	64,320	64,018	64,108
TiO <sub>2</sub>	0,027	0,028	0,015	0,017	0,029	0,015	0,009	0,015	0,016	0,001	0,031	0,020	0,006	0,000
Al <sub>2</sub> O <sub>3</sub>	18,711	18,632	18,678	18,640	18,779	18,704	18,652	18,757	18,681	19,594	18,688	18,739	18,706	18,720
FeO	0,043	0,004	0,041	0,033	0,024	0,024	0,024	0,039	0,025	0,016	0,034	0,018	0,061	0,060
CaO	0,049	0,039	0,081	0,000	0,033	0,024	0,005	0,043	0,000	0,268	0,000	0,000	0,031	0,021
Na <sub>2</sub> O	0,544	0,578	0,525	0,405	0,630	0,422	0,493	0,709	0,362	11,158	0,703	0,435	0,480	0,407
K <sub>2</sub> O	15,211	15,420	15,153	15,546	15,286	15,560	15,440	15,259	15,548	0,429	15,285	15,413	15,334	15,442
BaO	0,602	0,532	0,535	0,632	0,628	0,552	0,476	0,527	0,523	0,031	0,379	0,482	0,514	0,552
Total	99,544	99,346	99,290	99,148	99,367	99,426	99,397	99,883	99,571	98,663	99,427	99,149	99,250	99,000
Fórmula estrutural														
Si	11,947	11,938	11,951	11,932	11,912	11,935	11,942	11,953	11,959	11,910	11,951	11,949	11,935	11,942
Ti	0,004	0,004	0,002	0,002	0,004	0,002	0,001	0,002	0,002	0,000	0,004	0,003	0,001	0,000
Al	4,093	4,089	4,094	4,103	4,122	4,103	4,087	4,090	4,087	4,101	4,080	4,103	4,110	4,109
Fe(ii)	0,007	0,001	0,006	0,005	0,004	0,004	0,006	0,004	0,002	0,005	0,009	0,003	0,009	0,000
Ca	0,010	0,008	0,016	0,000	0,007	0,005	0,001	0,009	0,000	0,051	0,000	0,006	0,004	0,000
Na	0,196	0,209	0,189	0,147	0,227	0,152	0,178	0,254	0,130	3,842	0,252	0,157	0,173	0,147
K	3,602	3,663	3,595	3,704	3,631	3,694	3,662	3,601	3,682	0,097	3,612	3,652	3,647	3,669
Ba	0,044	0,039	0,039	0,046	0,046	0,040	0,035	0,038	0,038	0,002	0,028	0,035	0,038	0,040
Total	19,902	19,949	19,892	19,940	19,953	19,935	19,922	19,939	19,901	20,009	19,937	19,901	19,919	19,904
An	0,256	0,201	0,425	0,000	0,170	0,124	0,026	0,221	0,000	1,278	0,000	0,000	0,162	0,110
Ab	5,142	5,379	4,981	3,809	5,885	3,954	4,627	6,582	3,418	96,286	6,533	4,113	4,534	3,847
Or	94,602	94,420	94,594	96,191	93,945	95,922	95,347	93,198	96,582	2,436	93,467	95,887	95,304	96,043

---

Suite João Jorge II - FB-20

Comissão de feldspato alcalino

Suite : Orange || - FB-39

Suite J0808 Jorge II - FB-39

---

Comissão de foldanato alcalino

Composto do feldspato alcalino									
Porcentagem em peso de óxidos									
	C <sub>1</sub> (b)	C <sub>1</sub> (l)	C <sub>1</sub> (c)	C <sub>1</sub> (l)	C <sub>1</sub> (b)	C <sub>1</sub> (b)	C <sub>1</sub> (l) / ϕ	C <sub>1</sub> (l) / ϕ	C <sub>2</sub> (b)
SiO <sub>2</sub>	63,036	67,856	63,720	63,659	63,786	63,740	99,685	65,996	63,789
TiO <sub>2</sub>	0,079	0,028	0,042	0,041	0,053	0,050	0,017	0,035	0,065
Al <sub>2</sub> O <sub>3</sub>	19,118	19,651	18,339	18,856	18,904	18,985	0,081	20,693	18,828
FeO	0,175	0,102	0,210	0,154	0,071	0,103	0,000	0,125	0,108
CaO	0,000	0,155	0,022	0,000	0,000	0,000	0,113	0,005	0,111
Na <sub>2</sub> O	0,636	11,622	0,417	0,586	0,377	0,458	0,024	10,794	0,744
K <sub>2</sub> O	14,509	0,092	14,993	14,989	15,235	15,032	0,015	0,159	14,655
BaO	1,458	0,000	0,069	0,839	1,078	1,250	0,031	0,000	0,958
Total	99,969	99,487	97,798	99,125	99,492	99,631	99,897	98,687	99,712
<b>Nome</b>	Ortocássita Albíta	Ortocássio	Anortocássita	Albita	Ortocássio	Albita	Ortocássio	Albita	Ortocássio
Fórmula estrutural									
Si	11,827	11,928	11,988	11,892	11,894	11,876	15,985	11,703	11,916
Ti	0,012	0,001	0,004	0,006	0,006	0,007	0,000	0,002	0,000
Al	4,224	4,071	4,066	4,151	4,154	4,171	0,016	4,324	4,141
Fe(ii)	0,027	0,015	0,033	0,024	0,011	0,016	0,000	0,019	0,017
Ca	0,000	0,029	0,004	0,000	0,000	0,000	0,000	0,211	0,001
Na	0,231	3,961	0,021	0,152	0,212	0,136	0,165	0,007	3,711
K	3,470	0,021	3,598	3,572	3,624	3,573	0,003	0,036	3,488
Ba	0,000	0,000	0,005	0,001	0,001	0,000	0,000	0,050	0,070
Total	19,899	20,026	19,850	19,918	19,900	16,113	20,006	19,986	19,917
An	0,000	0,728	0,118	0,000	0,000	0,000	0,000	0,027	0,000
Ab	6,246	98,758	4,051	5,609	3,625	4,426	68,621	93,749	7,161

Complexo Bacajaí - FB-14

Composição do pagioclássio

Porcentagem em peso de óxidos													
	C1(b)	C1(i)	C1(c)	C1(b)	C1(b)	C1(i)	C1(i)	C2(b)	C2(i)	C2(c)	C2(i)	C3(b)	C3(i)
SiO <sub>2</sub>	63,286	62,984	62,438	62,687	62,959	63,146	62,657	62,468	63,309	63,065	62,899	63,500	63,445
TiO <sub>2</sub>	0,018	0,004	0,004	0,004	0,000	0,000	0,000	0,004	0,000	0,004	0,000	0,000	0,000
A2O <sub>3</sub>	0,170	0,260	0,348	0,2461	0,22973	0,23169	0,23365	0,2000	0,23120	0,23167	0,23089	0,23116	0,23048
FeO	0,064	0,060	0,066	0,060	0,080	0,086	0,061	0,100	0,060	0,061	0,083	0,046	0,055
CaO	3,901	4,019	4,226	4,260	3,839	3,960	4,313	4,372	3,944	3,814	3,836	3,869	3,502
Na <sub>2</sub> O	9,314	9,207	9,043	9,043	9,152	9,280	9,131	9,019	9,146	9,104	9,213	9,330	9,460
K <sub>2</sub> O	0,194	0,175	0,202	0,224	0,232	0,192	0,143	0,247	0,176	0,112	0,089	0,177	0,159
Total	99,947	99,609	99,551	99,745	99,235	99,763	99,676	99,655	99,767	99,534	99,430	99,937	100,134
<b>Nome</b>	<b>Oligoclássio</b>												
Fórmula estrutural													
Si	11,192	11,162	11,102	11,121	11,120	11,186	11,124	11,102	11,208	11,191	11,183	11,220	11,195
Ti	0,002	0,001	0,002	0,001	0,000	0,000	0,000	0,000	0,002	0,001	0,000	0,000	0,000
Al	4,829	4,866	4,922	4,905	4,837	4,889	4,911	4,824	4,843	4,845	4,829	4,746	4,814
Fe(ii)	0,039	0,009	0,015	0,010	0,012	0,013	0,009	0,015	0,008	0,016	0,012	0,007	0,011
Ca	0,739	0,764	0,805	0,810	0,732	0,752	0,820	0,832	0,748	0,760	0,746	0,722	0,736
Na	3,193	3,168	3,130	3,110	3,159	3,187	3,143	3,107	3,139	3,122	3,175	3,196	3,216
K	0,044	0,040	0,046	0,051	0,053	0,053	0,028	0,034	0,056	0,040	0,032	0,025	0,025
Total	20,009	20,009	20,022	20,007	19,986	20,002	20,019	19,968	20,024	19,985	20,010	19,969	20,032
<b>Nome</b>	<b>Oligoclássio</b>												
Fórmula estrutural													
Si	11,192	11,162	11,102	11,121	11,120	11,186	11,124	11,102	11,208	11,191	11,183	11,220	11,195
Ti	0,002	0,001	0,002	0,001	0,000	0,000	0,000	0,000	0,002	0,001	0,000	0,000	0,000
Al	4,829	4,866	4,922	4,905	4,837	4,889	4,911	4,824	4,843	4,845	4,829	4,746	4,814
Fe(ii)	0,039	0,009	0,015	0,010	0,012	0,013	0,009	0,015	0,008	0,016	0,012	0,007	0,011
Ca	0,739	0,764	0,805	0,810	0,732	0,752	0,820	0,832	0,748	0,760	0,746	0,722	0,736
Na	3,193	3,168	3,130	3,110	3,159	3,187	3,143	3,107	3,139	3,122	3,175	3,196	3,216
K	0,044	0,040	0,046	0,051	0,053	0,053	0,028	0,034	0,056	0,040	0,032	0,025	0,025
Total	20,009	20,009	20,022	20,007	19,986	20,002	20,019	19,968	20,024	19,985	20,010	19,969	20,032
<b>Nome</b>	<b>Oligoclássio</b>												
Fórmula estrutural													
Si	11,192	11,162	11,102	11,121	11,120	11,186	11,124	11,102	11,208	11,191	11,183	11,220	11,195
Ti	0,002	0,001	0,002	0,001	0,000	0,000	0,000	0,000	0,002	0,001	0,000	0,000	0,000
Al	4,829	4,866	4,922	4,905	4,837	4,889	4,911	4,824	4,843	4,845	4,829	4,746	4,814
Fe(ii)	0,039	0,009	0,015	0,010	0,012	0,013	0,009	0,015	0,008	0,016	0,012	0,007	0,011
Ca	0,739	0,764	0,805	0,810	0,732	0,752	0,820	0,832	0,748	0,760	0,746	0,722	0,736
Na	3,193	3,168	3,130	3,110	3,159	3,187	3,143	3,107	3,139	3,122	3,175	3,196	3,216
K	0,044	0,040	0,046	0,051	0,053	0,053	0,028	0,034	0,056	0,040	0,032	0,025	0,025
Total	20,009	20,009	20,022	20,007	19,986	20,002	20,019	19,968	20,024	19,985	20,010	19,969	20,032
<b>Nome</b>	<b>Oligoclássio</b>												
Fórmula estrutural													
Si	11,192	11,162	11,102	11,121	11,120	11,186	11,124	11,102	11,208	11,191	11,183	11,220	11,195
Ti	0,002	0,001	0,002	0,001	0,000	0,000	0,000	0,000	0,002	0,001	0,000	0,000	0,000
Al	4,829	4,866	4,922	4,905	4,837	4,889	4,911	4,824	4,843	4,845	4,829	4,746	4,814
Fe(ii)	0,039	0,009	0,015	0,010	0,012	0,013	0,009	0,015	0,008	0,016	0,012	0,007	0,011
Ca	0,739	0,764	0,805	0,810	0,732	0,752	0,820	0,832	0,748	0,760	0,746	0,722	0,736
Na	3,193	3,168	3,130	3,110	3,159	3,187	3,143	3,107	3,139	3,122	3,175	3,196	3,216
K	0,044	0,040	0,046	0,051	0,053	0,053	0,028	0,034	0,056	0,040	0,032	0,025	0,025
Total	20,009	20,009	20,022	20,007	19,986	20,002	20,019	19,968	20,024	19,985	20,010	19,969	20,032
<b>Nome</b>	<b>Oligoclássio</b>												
Fórmula estrutural													
Si	11,192	11,162	11,102	11,121	11,120	11,186	11,124	11,102	11,208	11,191	11,183	11,220	11,195
Ti	0,002	0,001	0,002	0,001	0,000	0,000	0,000	0,000	0,002	0,001	0,000	0,000	0,000
Al	4,829	4,866	4,922	4,905	4,837	4,889	4,911	4,824	4,843	4,845	4,829	4,746	4,814
Fe(ii)	0,039	0,009	0,015	0,010	0,012	0,013	0,009	0,015	0,008	0,016	0,012	0,007	0,011
Ca	0,739	0,764	0,805	0,810	0,732	0,752	0,820	0,832	0,748	0,760	0,746	0,722	0,736
Na	3,193	3,168	3,130	3,110	3,159	3,187	3,143	3,107	3,139	3,122	3,175	3,196	3,216
K	0,044	0,040	0,046	0,051	0,053	0,053	0,028	0,034	0,056	0,040	0,032	0,025	0,025
Total	20,009	20,009	20,022	20,007	19,986	20,002	20,019	19,968	20,024	19,985	20,010	19,969	20,032
<b>Nome</b>	<b>Oligoclássio</b>												
Fórmula estrutural													
Si	11,192	11,162	11,102	11,121	11,120	11,186	11,124	11,102	11,208	11,191	11,183	11,220	11,195
Ti	0,002	0,001	0,002	0,001	0,000	0,000	0,000	0,000	0,002	0,001	0,000	0,000	0,000
Al	4,829	4,866	4,922	4,905	4,837	4,889	4,911	4,824	4,843	4,845	4,829	4,746	4,814
Fe(ii)	0,039	0,009	0,015	0,010	0,012	0,013	0,009	0,015	0,008	0,016	0,012	0,007	0,011
Ca	0,739	0,764	0,805	0,810	0,732	0,752	0,820	0,832	0,748	0,760	0,746	0,722	0,736
Na	3,193	3,168	3,130	3,110	3,159	3,187	3,143	3,107	3,139	3,122	3,175	3,196	3,216
K	0,044	0,040	0,046	0,051	0,053	0,053	0,028	0,034	0,056	0,040	0,032	0,025	0,025
Total	20,009	20,009	20,022	20,007	19,986	20,002	20,019	19,968	20,024	19,985	20,010	19,969	20,032
<b>Nome</b>	<b>Oligoclássio</b>												
Fórmula estrutural													
Si	11,192	11,162	11,102	11,121	11,120	11,186	11,124	11,102	11,208	11,191	11,183	11,220	11,195
Ti	0,002	0,001	0,002	0,001	0,000	0,000	0,000	0,000	0,002	0,001	0,000	0,000	0,000
Al	4,829	4,866	4,922	4,905	4,837	4,889	4,911	4,824	4,843	4,845	4,829	4,746	4,814
Fe(ii)	0,039	0,009	0,015	0,010	0,012	0,013	0,009	0,015	0,008	0,01			

---

Complejo Baccalaí - EB-150

Complexo bacteiano - Fe-150														
Composição do piaçocito														
Percentagem em peso de óxidos														
	C1(i)	C1(j)	C1(k)	C2(b)	C2(c)	C2(l)	C2(m)	C2(n)	C3(b)	C3(c)	C3(l)	C3(m)	C4(l)	C4(j)
	C1(i)	C1(j)	C1(k)	C2(b)	C2(c)	C2(l)	C2(m)	C2(n)	C3(b)	C3(c)	C3(l)	C3(m)	C4(l)	C4(j)
SiO <sub>2</sub>	60.649	59.882	59.646	59.847	60.134	59.424	57.384	57.930	60.535	60.181	58.625	59.743	60.403	60.403
TiO <sub>2</sub>	0.014	0.010	0.007	0.012	0.019	0.003	0.000	0.003	0.023	0.018	0.008	0.023	0.017	0.000
Al <sub>2</sub> O <sub>3</sub>	24.601	25.384	25.009	24.592	24.853	25.517	26.881	24.930	25.240	25.998	24.688	24.787	26.031	24.688
Fe <sub>2</sub> O <sub>3</sub>	0.106	0.053	0.022	0.052	0.047	0.020	0.012	0.033	0.030	0.036	0.028	0.010	0.058	0.037
CaO	5.507	5.873	6.281	5.967	5.615	5.824	6.284	7.803	7.378	5.756	5.838	6.094	5.659	5.445
Na <sub>2</sub> O	8.217	8.125	7.737	7.991	8.198	8.050	7.742	7.179	8.094	7.310	7.849	7.653	8.138	7.959
K <sub>2</sub> O	0.136	0.078	0.093	0.140	0.056	0.113	0.056	0.117	0.145	0.087	0.149	0.088	0.108	0.160
Total	99.230	98.731	99.170	99.018	98.370	99.335	98.918	98.867	98.062	99.134	99.105	98.999	98.963	98.864
<b>Nome</b>	Oligoclássio	Andesina												
<b>Formula estitutural</b>														
Si	10.852	10.749	10.694	10.747	10.835	10.367	10.442	10.868	10.772	10.541	10.781	10.830	10.829	10.806
Ti	0.002	0.001	0.002	0.003	0.002	0.000	0.000	0.002	0.001	0.001	0.000	0.002	0.000	0.000
Al	5.187	5.287	5.363	5.293	5.204	5.246	5.385	5.707	5.611	5.224	5.283	5.336	5.216	5.228
Fe(II)	0.016	0.008	0.003	0.005	0.030	0.002	0.005	0.005	0.005	0.004	0.004	0.009	0.010	0.006
Ca	1.056	1.133	1.206	1.148	1.080	1.118	1.211	1.510	1.425	1.102	1.367	1.171	1.091	1.096
Na	2.850	2.837	2.898	2.782	2.854	2.847	2.713	2.361	2.509	2.805	2.796	2.548	2.730	2.821
K	0.018	0.021	0.032	0.013	0.026	0.022	0.027	0.033	0.020	0.027	0.027	0.025	0.038	0.025
Total	99.994	20.034	19.979	20.012	19.994	20.040	19.999	19.970	20.019	19.983	20.000	19.988	19.991	20.009
<b>Nome</b>	Oligoclássio	Andesina												
<b>Formula estitutural</b>														
Si	10.852	10.749	10.694	10.747	10.835	10.367	10.442	10.868	10.772	10.541	10.781	10.830	10.829	10.806
Ti	0.002	0.001	0.002	0.003	0.002	0.000	0.000	0.002	0.001	0.001	0.000	0.002	0.000	0.000
Al	5.187	5.287	5.363	5.293	5.204	5.246	5.385	5.707	5.611	5.224	5.283	5.336	5.216	5.228
Fe(II)	0.016	0.008	0.003	0.005	0.030	0.002	0.005	0.005	0.005	0.004	0.004	0.009	0.010	0.006
Ca	1.056	1.133	1.206	1.148	1.080	1.118	1.211	1.510	1.425	1.102	1.367	1.171	1.091	1.096
Na	2.850	2.837	2.898	2.782	2.854	2.847	2.713	2.361	2.509	2.805	2.796	2.548	2.730	2.821
K	0.018	0.021	0.032	0.013	0.026	0.022	0.027	0.033	0.020	0.027	0.027	0.025	0.038	0.025
Total	99.994	20.034	19.979	20.012	19.994	20.040	19.999	19.970	20.019	19.983	20.000	19.988	19.991	20.009
<b>Nome</b>	Oligoclássio	Andesina												
<b>Formula estitutural</b>														
Si	10.852	10.749	10.694	10.747	10.835	10.367	10.442	10.868	10.772	10.541	10.781	10.830	10.829	10.806
Ti	0.002	0.001	0.002	0.003	0.002	0.000	0.000	0.002	0.001	0.001	0.000	0.002	0.000	0.000
Al	5.187	5.287	5.363	5.293	5.204	5.246	5.385	5.707	5.611	5.224	5.283	5.336	5.216	5.228
Fe(II)	0.016	0.008	0.003	0.005	0.030	0.002	0.005	0.005	0.005	0.004	0.004	0.009	0.010	0.006
Ca	1.056	1.133	1.206	1.148	1.080	1.118	1.211	1.510	1.425	1.102	1.367	1.171	1.091	1.096
Na	2.850	2.837	2.898	2.782	2.854	2.847	2.713	2.361	2.509	2.805	2.796	2.548	2.730	2.821
K	0.018	0.021	0.032	0.013	0.026	0.022	0.027	0.033	0.020	0.027	0.027	0.025	0.038	0.025
Total	99.994	20.034	19.979	20.012	19.994	20.040	19.999	19.970	20.019	19.983	20.000	19.988	19.991	20.009
<b>Nome</b>	Oligoclássio	Andesina												
<b>Formula estitutural</b>														
Si	10.852	10.749	10.694	10.747	10.835	10.367	10.442	10.868	10.772	10.541	10.781	10.830	10.829	10.806
Ti	0.002	0.001	0.002	0.003	0.002	0.000	0.000	0.002	0.001	0.001	0.000	0.002	0.000	0.000
Al	5.187	5.287	5.363	5.293	5.204	5.246	5.385	5.707	5.611	5.224	5.283	5.336	5.216	5.228
Fe(II)	0.016	0.008	0.003	0.005	0.030	0.002	0.005	0.005	0.005	0.004	0.004	0.009	0.010	0.006
Ca	1.056	1.133	1.206	1.148	1.080	1.118	1.211	1.510	1.425	1.102	1.367	1.171	1.091	1.096
Na	2.850	2.837	2.898	2.782	2.854	2.847	2.713	2.361	2.509	2.805	2.796	2.548	2.730	2.821
K	0.018	0.021	0.032	0.013	0.026	0.022	0.027	0.033	0.020	0.027	0.027	0.025	0.038	0.025
Total	99.994	20.034	19.979	20.012	19.994	20.040	19.999	19.970	20.019	19.983	20.000	19.988	19.991	20.009
<b>Nome</b>	Oligoclássio	Andesina												
<b>Formula estitutural</b>														
Si	10.852	10.749	10.694	10.747	10.835	10.367	10.442	10.868	10.772	10.541	10.781	10.830	10.829	10.806
Ti	0.002	0.001	0.002	0.003	0.002	0.000	0.000	0.002	0.001	0.001	0.000	0.002	0.000	0.000
Al	5.187	5.287	5.363	5.293	5.204	5.246	5.385	5.707	5.611	5.224	5.283	5.336	5.216	5.228
Fe(II)	0.016	0.008	0.003	0.005	0.030	0.002	0.005	0.005	0.005	0.004	0.004	0.009	0.010	0.006
Ca	1.056	1.133	1.206	1.148	1.080	1.118	1.211	1.510	1.425	1.102	1.367	1.171	1.091	1.096
Na	2.850	2.837	2.898	2.782	2.854	2.847	2.713	2.361	2.509	2.805	2.796	2.548	2.730	2.821
K	0.018	0.021	0.032	0.013	0.026	0.022	0.027	0.033	0.020	0.027	0.027	0.025	0.038	0.025
Total	99.994	20.034	19.979	20.012	19.994	20.040	19.999	19.970	20.019	19.983	20.000	19.988	19.991	20.009
<b>Nome</b>	Oligoclássio	Andesina												
<b>Formula estitutural</b>														
Si	10.852	10.749	10.694	10.747	10.835	10.367	10.442	10.868	10.772	10.541	10.781	10.830	10.829	10.806
Ti	0.002	0.001	0.002	0.003	0.002	0.000	0.000	0.002	0.001	0.001	0.000	0.002	0.000	0.000
Al	5.187	5.287	5.363	5.293	5.204	5.246	5.385	5.707	5.611	5.224	5.283	5.336	5.216	5.228
Fe(II)	0.016	0.008	0.003	0.005	0.030	0.002	0.005	0.005	0.005	0.004	0.004	0.009	0.010	0.006
Ca	1.056	1.133	1.206	1.148	1.080	1.118	1.211	1.510	1.425	1.102	1.367	1.171	1.091	1.096
Na	2.850	2.837	2.898	2.782	2.854	2.847	2.713	2.361	2.509	2.805	2.796	2.548	2.730	2.821
K	0.018	0.021	0.032	0.013	0.026	0.022	0.027	0.033	0.020	0.027	0.027	0.025	0.038	0.025
Total	99.994	20.034	19.979	20.012	19.994	20.040	19.999	19.970	20.019	19.983	20.000	19.988	19.991	20.009
<b>Nome</b>	Oligoclássio	Andesina												
<b>Formula estitutural</b>														
Si	10.852	10.749	10.694	10.747	10.835	10.367	10.442	10.868	10.772	10.541	10.781	10.830	10.829	10.806
Ti	0.002	0.001	0.002	0.003	0.002	0.000	0.000	0.002	0.001	0.001	0.000	0.002	0.000	0.000
Al	5.187	5.287	5.363	5.293	5.204	5.246	5.385	5.707	5.611	5.224	5.283	5.336	5.216	5.228
Fe(II)	0.016	0.008	0.003	0.005	0.030	0.002	0.005	0.005	0.005	0.004	0.004	0.009	0.010	0.006
Ca	1.056	1.133	1.206	1.148	1.080	1.118	1.211	1.510	1.425	1.102	1.367	1.171	1.091	1.096
Na	2.850	2.837	2.898	2.782	2.854	2.847	2.713	2.361						

---

Suite Arapari - FB-15

Composição do plagiocálio									
Porcentagem em peso de óxidos									
	C1(b)	C1(i)	C1(c)	C1(b)	C2(b)	C2(i)	C2(c)	C2(b)	C2(i)
SiO <sub>2</sub>	61,445	61,170	60,963	61,253	61,492	62,044	62,457	60,892	61,098
TiO <sub>2</sub>	24,191	24,519	24,386	23,977	24,164	23,860	23,551	24,412	24,372
Al <sub>2</sub> O <sub>3</sub>	0,021	0,000	0,000	0,004	0,000	0,001	0,000	0,000	0,000
FeO	0,104	0,029	0,028	0,043	0,061	0,062	0,064	0,043	0,000
CaO	5,070	5,269	5,455	5,069	4,990	4,653	4,333	5,455	5,288
MgO	5,514	4,832	8,335	8,395	8,528	8,707	8,994	8,421	9,579
K <sub>2</sub> O	0,163	0,177	0,166	0,191	0,139	0,189	0,113	0,184	0,129
Total	99,508	99,596	99,333	98,932	99,374	99,516	99,512	99,227	99,314
<b>NOME</b> Oligoclásio									
<b>Fórmula estrutural</b>									
Ti	11,333	11,303	11,298	11,376	11,369	11,438	11,498	11,296	11,316
Al	3,362	3,408	3,399	3,349	3,360	3,308	3,261	3,406	3,395
Fe(II)	0,016	0,004	0,004	0,007	0,009	0,010	0,009	0,007	0,017
Ca	1,004	1,043	1,083	1,009	0,988	0,919	0,855	1,049	0,644
Na	3,050	2,995	3,023	3,057	3,112	3,210	2,964	3,024	3,414
K	0,038	0,042	0,039	0,045	0,033	0,044	0,027	0,044	0,030
Total	18,827	18,821	18,819	18,809	18,816	18,832	18,801	18,816	18,816
An	24,547	25,407	26,307	24,741	24,288	22,550	20,889	26,497	25,570
Ab	74,534	73,577	72,740	74,149	74,959	76,360	78,463	74,439	73,687
Or	0,939	1,016	0,953	1,110	0,804	1,091	0,649	1,064	0,743

---

Suite Arapari - FB-85

Composição do plagioclorio											
Porcentagem em peso de óxidos											
	C1(b)	C1(i)	C1(c)	C1(i)	C1(b)	C1(i)	C1(b)	C1(i)	C2(b)	C2(i)	C2(b)
SiO <sub>2</sub>	61,395	60,555	60,825	60,887	61,630	61,580	67,634	60,229	62,674	61,503	60,586
TiO <sub>2</sub>	0,000	0,013	0,000	0,019	0,004	0,007	0,000	0,004	0,000	0,017	0,000
Al <sub>2</sub> O <sub>3</sub>	24,056	24,640	24,449	24,275	23,677	24,042	20,145	24,921	23,216	23,812	24,628
FeO	0,065	0,082	0,075	0,102	0,145	0,038	0,064	0,069	0,012	0,070	0,047
CaO	4,950	5,687	5,469	5,290	4,656	4,830	1,994	5,832	4,046	4,755	5,557
Na <sub>2</sub> O	8,696	8,197	8,281	8,401	8,815	8,682	9,747	8,061	9,293	8,670	8,218
K <sub>2</sub> O	0,059	0,071	0,125	0,102	0,053	0,110	0,084	0,080	0,055	0,137	0,190
Total	99,221	99,275	99,224	99,076	98,980	99,289	99,668	99,186	99,304	98,947	99,145
NAME	Oligociásio										
Fórmula estrutural											
Si	10,967	10,837	10,880	10,905	11,029	10,986	11,855	10,786	11,155	11,014	10,844
Ti	0,000	0,002	0,000	0,003	0,001	0,000	0,001	0,000	0,001	0,000	0,002
Al	5,064	5,194	5,154	5,124	4,994	5,055	4,161	5,260	4,870	5,024	5,195
Fe(Fe <sup>III</sup> )	0,010	0,012	0,011	0,015	0,022	0,006	0,009	0,010	0,002	0,007	0,012
Ca	0,947	1,090	1,048	1,015	0,893	0,923	0,374	1,119	0,772	0,912	1,066
Na	3,012	2,843	2,872	2,917	3,058	3,003	3,312	2,799	3,207	3,009	2,852
K	0,013	0,016	0,029	0,023	0,012	0,025	0,019	0,018	0,013	0,031	0,043
Total	20,013	19,994	19,993	20,001	20,008	19,989	19,730	19,992	20,019	19,988	19,999
NAME	Albita										
Oligociásio											
Si	23,365	22,524	25,662	22,524	27,730	20,105	28,429	19,329	23,074	26,990	27,741
Ti	0,000	0,000	0,000	0,000	0,000	0,000	0,000	0,000	0,000	0,000	0,000
Al	77,733	73,749	77,170	76,002	89,388	71,107	80,341	76,134	72,229	71,159	74,804
Fe(Fe <sup>III</sup> )	0,380	0,410	0,722	0,589	0,305	0,634	0,507	0,464	0,330	0,781	0,100
Ca	75,814	71,990	72,733	71,749	77,170	76,002	89,388	71,107	76,134	72,229	71,159
Na	0,560	0,410	0,722	0,589	0,305	0,634	0,507	0,464	0,330	0,781	0,100
K	0,000	0,000	0,000	0,000	0,000	0,000	0,000	0,000	0,000	0,000	0,000
Total	24,522	25,951	21,571	24,639	26,990	27,741	28,429	19,329	23,074	26,990	27,741
NAME	Albita										
Oligociásio											
Si	77,869	73,568	74,705	75,568	74,705	71,159	74,804	71,159	76,134	72,229	71,159
Ti	0,000	0,000	0,000	0,000	0,000	0,000	0,000	0,000	0,000	0,000	0,000
Al	75,288	75,606	75,288	75,606	75,288	75,606	75,288	75,606	75,288	75,606	75,606
Fe(Fe <sup>III</sup> )	0,000	0,000	0,000	0,000	0,000	0,000	0,000	0,000	0,000	0,000	0,000
Ca	0,000	0,000	0,000	0,000	0,000	0,000	0,000	0,000	0,000	0,000	0,000
Na	0,000	0,000	0,000	0,000	0,000	0,000	0,000	0,000	0,000	0,000	0,000
K	0,000	0,000	0,000	0,000	0,000	0,000	0,000	0,000	0,000	0,000	0,000
Total	23,795	23,954	25,951	24,522	25,951	21,571	24,639	21,571	24,639	26,990	27,741

## Suite Arapari - FB-123

## Composição do plagioclásio

Porcentagem em peso de óxidos						
	C1(b)	C1(c)	C1(i)	C1(b)	C2(b)	C2(i)
SiO <sub>2</sub>	61,868	61,842	62,325	61,626	61,770	60,056
TiO <sub>2</sub>	0,000	0,000	0,012	0,000	0,000	0,011
Al <sub>2</sub> O <sub>3</sub>	23,664	23,626	23,192	23,554	23,656	23,674
FeO	0,040	0,013	0,132	0,056	0,068	0,114
CaO	4,603	4,566	4,301	4,677	4,809	4,706
Na <sub>2</sub> O	8,781	8,736	8,969	8,264	8,644	8,845
K <sub>2</sub> O	0,134	0,198	0,228	0,730	0,221	0,069
Total	99,990	98,981	99,159	98,907	99,123	99,178
<b>Nome</b>	<b>Oligoclásio</b>					
Fórmula estrutural						
Si	11,052	11,059	11,128	11,053	11,029	10,782
Ti	0,000	0,000	0,002	0,000	0,000	0,001
Al	4,982	4,979	4,880	4,978	4,990	4,984
Fe(ii)	0,006	0,002	0,020	0,008	0,010	0,017
Ca	0,881	0,875	0,823	0,899	0,922	0,901
Na	3,041	3,029	3,105	2,873	2,999	3,063
K	0,031	0,045	0,052	0,167	0,050	0,016
Total	19,993	19,988	20,009	19,978	20,001	20,014
An	22,288	22,154	20,675	22,814	23,216	22,631
Ab	76,940	76,702	78,020	72,947	75,514	76,974
Or	0,773	1,144	1,305	4,240	1,270	0,395
<b>Nome</b>	<b>Oligoclásio</b>					
Fórmula estrutural						
SiO <sub>2</sub>	58,295	58,741	58,712	61,022	59,630	59,995
TiO <sub>2</sub>	0,004	0,019	0,001	0,017	0,003	0,000
Al <sub>2</sub> O <sub>3</sub>	24,293	24,449	25,465	25,891	24,430	25,019
FeO	0,086	0,064	0,067	0,070	0,107	0,106
CaO	5,267	7,251	6,531	6,939	5,338	6,436
Na <sub>2</sub> O	8,338	7,097	7,515	7,383	8,332	7,650
K <sub>2</sub> O	0,263	0,138	0,228	0,255	0,249	0,180
Total	99,392	99,152	99,548	99,250	99,495	99,470
<b>Nome</b>	<b>Oligoclásio Andesina</b>					
Fórmula estrutural						
Si	10,486	10,681	10,555	10,891	10,672	10,690
Ti	0,001	0,003	0,000	0,002	0,001	0,000
Al	5,574	5,366	5,485	5,138	5,370	5,289
Fe(ii)	0,013	0,010	0,011	0,016	0,016	0,011
Ca	1,008	1,397	1,251	1,336	1,021	1,234
Na	2,887	2,475	2,605	2,573	2,883	2,654
K	0,060	0,032	0,052	0,058	0,057	0,041
Total	20,007	19,977	19,964	20,018	20,008	19,989
<b>Nome</b>	<b>Oligoclásio Andesina</b>					
Fórmula estrutural						
Si	10,893	10,486	10,681	10,555	10,891	10,672
Ti	0,001	0,003	0,000	0,002	0,001	0,000
Al	5,146	5,574	5,366	5,485	5,138	5,370
Fe(ii)	0,013	0,010	0,011	0,016	0,016	0,017
Ca	1,008	1,397	1,251	1,336	1,021	1,234
Na	2,887	2,475	2,605	2,573	2,883	2,654
K	0,060	0,032	0,052	0,058	0,057	0,041
Total	20,007	19,977	19,964	20,018	20,008	19,989
<b>Nome</b>	<b>Oligoclásio Andesina</b>					
Fórmula estrutural						
Si	35,793	32,012	33,680	25,772	31,404	29,088
An	73,002	63,396	66,657	64,847	72,796	67,550
Ab	1,515	0,811	1,331	1,474	1,431	1,046
Or						
<b>Nome</b>	<b>Oligoclásio Andesina</b>					
Fórmula estrutural						
Si	11,128	11,059	11,053	11,029	11,034	10,782
Ti	0,000	0,000	0,002	0,000	0,001	0,000
Al	4,979	4,980	4,880	4,978	4,990	4,984
Fe(ii)	0,006	0,002	0,020	0,008	0,010	0,017
Ca	0,881	0,875	0,823	0,899	0,922	0,901
Na	3,041	3,029	3,105	2,873	2,999	3,063
K	0,031	0,045	0,052	0,167	0,050	0,016
Total	19,993	19,988	20,009	19,978	20,001	19,985
<b>Nome</b>	<b>Oligoclásio Andesina</b>					
Fórmula estrutural						
Si	11,052	11,059	11,128	11,053	11,029	10,782
Ti	0,000	0,000	0,002	0,000	0,001	0,000
Al	4,979	4,980	4,880	4,978	4,990	4,984
Fe(ii)	0,006	0,002	0,020	0,008	0,010	0,017
Ca	0,881	0,875	0,823	0,899	0,922	0,901
Na	3,041	3,029	3,105	2,873	2,999	3,063
K	0,031	0,045	0,052	0,167	0,050	0,016
Total	19,993	19,988	20,009	19,978	20,001	19,985
<b>Nome</b>	<b>Oligoclásio Andesina</b>					
Fórmula estrutural						
Si	11,052	11,059	11,128	11,053	11,029	10,782
Ti	0,000	0,000	0,002	0,000	0,001	0,000
Al	4,979	4,980	4,880	4,978	4,990	4,984
Fe(ii)	0,006	0,002	0,020	0,008	0,010	0,017
Ca	0,881	0,875	0,823	0,899	0,922	0,901
Na	3,041	3,029	3,105	2,873	2,999	3,063
K	0,031	0,045	0,052	0,167	0,050	0,016
Total	19,993	19,988	20,009	19,978	20,001	19,985
<b>Nome</b>	<b>Oligoclásio Andesina</b>					
Fórmula estrutural						
Si	11,052	11,059	11,128	11,053	11,029	10,782
Ti	0,000	0,000	0,002	0,000	0,001	0,000
Al	4,979	4,980	4,880	4,978	4,990	4,984
Fe(ii)	0,006	0,002	0,020	0,008	0,010	0,017
Ca	0,881	0,875	0,823	0,899	0,922	0,901
Na	3,041	3,029	3,105	2,873	2,999	3,063
K	0,031	0,045	0,052	0,167	0,050	0,016
Total	19,993	19,988	20,009	19,978	20,001	19,985
<b>Nome</b>	<b>Oligoclásio Andesina</b>					
Fórmula estrutural						
Si	11,052	11,059	11,128	11,053	11,029	10,782
Ti	0,000	0,000	0,002	0,000	0,001	0,000
Al	4,979	4,980	4,880	4,978	4,990	4,984
Fe(ii)	0,006	0,002	0,020	0,008	0,010	0,017
Ca	0,881	0,875	0,823	0,899	0,922	0,901
Na	3,041	3,029	3,105	2,873	2,999	3,063
K	0,031	0,045	0,052	0,167	0,050	0,016
Total	19,993	19,988	20,009	19,978	20,001	19,985
<b>Nome</b>	<b>Oligoclásio Andesina</b>					
Fórmula estrutural						
Si	11,052	11,059	11,128	11,053	11,029	10,782
Ti	0,000	0,000	0,002	0,000	0,001	0,000
Al	4,979	4,980	4,880	4,978	4,990	4,984
Fe(ii)	0,006	0,002	0,020	0,008	0,010	0,017
Ca	0,881	0,875	0,823	0,899	0,922	0,901
Na	3,041	3,029	3,105	2,873	2,999	3,063
K	0,031	0,045	0,052	0,167	0,050	0,016
Total	19,993	19,988	20,009	19,978	20,001	19,985
<b>Nome</b>	<b>Oligoclásio Andesina</b>					
Fórmula estrutural						
Si	11,052	11,059	11,128	11,053	11,029	10,782
Ti	0,000	0,000	0,002	0,000	0,001	0,000
Al	4,979	4,980	4,880	4,978	4,990	4,984
Fe(ii)	0,006	0,002	0,020	0,008	0,010	0,017
Ca	0,881	0,875	0,823	0,899	0,922	0,901
Na	3,041	3,029	3,105	2,873	2,999	3,063
K	0,031	0,045	0,052	0,167	0,050	0,016
Total	19,993	19,988	20,009	19,978	20,001	19,985
<b>Nome</b>	<b>Oligoclásio Andesina</b>					
Fórmula estrutural						
Si	11,052	11,059	11,128	11,053	11,029	10,782
Ti	0,000	0,000	0,002	0,000	0,001	0,000
Al	4,979	4,980	4,880	4,978	4,990	4,984
Fe(ii)	0,006	0,002	0,020	0,008	0,010	0,017
Ca	0,881	0,875	0,823	0,899	0,922	0,901
Na	3,041	3,029	3,105	2,873	2,999	3,063
K	0,031	0,045	0,052	0,167	0,050	0,016
Total	19,993	19,988	20,009	19,978	20,001	19,985
<b>Nome</b>	<b>Oligoclásio Andesina</b>					
Fórmula estrutural						
Si	11,052	11,059	11,128	11,053	11,029</td	



סמלים וסימנים בתרבות המערבית

Composição do plágio clássico

Sutíte |oščo |oraø | - EB-131

Sulte Juddu Jigley I = FB-131

Composição do plagioclásio

Porcentagem em peso de óxidos					
	<i>C1(b)</i>	<i>C1(i)</i>	<i>C1(C)</i>	<i>C1(ii)</i>	<i>C1(b)</i>
SiO <sub>2</sub>	60,639	60,989	60,886	60,802	60,875
TiO <sub>2</sub>	0,000	0,013	0,004	0,017	0,000
Al <sub>2</sub> O <sub>3</sub>	24,534	24,450	24,333	24,626	24,780
FeO	0,062	0,101	0,110	0,121	0,138
CaO	5,504	5,402	5,349	5,590	5,631
Na <sub>2</sub> O	8,132	8,142	8,114	8,031	8,093
K <sub>2</sub> O	0,228	0,371	0,409	0,435	0,218
Total	99,099	99,468	99,187	99,622	99,735
NOME Oligoclássio					
Fórmula estrutural					
Si	10,863	10,890	10,899	10,851	10,841
Ti	0,000	0,002	0,001	0,002	0,000
Al	5,180	5,145	5,135	5,179	5,201
Fe(ii)	0,009	0,015	0,016	0,018	0,021
Ca	1,056	1,033	1,026	1,069	1,074
Na	2,824	2,818	2,817	2,779	2,794
K	0,052	0,084	0,093	0,099	0,050
Total	19,985	19,988	19,988	19,986	19,980
An	26,860	26,252	26,068	27,082	27,420
Ab	71,815	71,602	71,558	70,409	71,316
Or	1,325	2,147	2,373	2,509	1,264

## Suite João Jorge I - FB-147

## Composição do plagioclásio

Porcentagem em peso de óxidos									
	C1(b)	C1(i)	C1(c)	C1(j)	C1(b)	C1(j)	C1(j)	C1(b)	C1(b)
SiO <sub>2</sub>	62,851	62,820	63,074	62,508	63,108	62,802	63,043	62,826	62,493
TiO <sub>2</sub>	0,010	0,000	0,008	0,028	0,002	0,000	0,000	0,020	0,000
Al <sub>2</sub> O <sub>3</sub>	23,534	23,274	23,193	23,240	23,203	23,493	23,006	22,939	23,418
FeO	0,059	0,068	0,088	0,092	0,088	0,115	0,089	0,074	0,057
CaO	4,159	4,090	3,985	4,182	4,124	4,139	3,857	3,888	4,188
Na <sub>2</sub> O	9,197	9,355	9,294	9,128	9,173	8,980	9,180	9,225	9,126
K <sub>2</sub> O	0,167	0,123	0,187	0,171	0,246	0,215	0,326	0,061	0,153
Total	99,977	99,730	99,829	99,349	99,944	99,744	99,501	99,033	99,435
<b>NOME</b>	<b>Oligoclásio</b>								
Fórmula estrutural									
Si	11,121	11,145	11,174	11,134	11,171	11,134	11,203	11,204	11,192
Ti	0,001	0,000	0,001	0,004	0,000	0,000	0,003	0,000	0,002
Al	4,908	4,866	4,842	4,878	4,840	4,908	4,818	4,821	4,910
Fe(ii)	0,009	0,010	0,013	0,014	0,014	0,013	0,017	0,013	0,011
Ca	0,788	0,777	0,756	0,798	0,782	0,786	0,734	0,743	0,798
Na	3,155	3,218	3,192	3,152	3,148	3,086	3,163	3,189	3,148
K	0,038	0,028	0,042	0,039	0,056	0,049	0,039	0,074	0,014
Total	20,020	20,044	20,021	20,019	20,010	19,980	20,006	19,985	20,018
An	19,804	19,324	18,953	20,006	19,623	20,048	18,492	18,824	20,053
Ab	79,249	79,984	79,989	79,020	78,984	78,712	79,647	80,824	79,075
Or	0,947	0,692	1,059	0,974	1,394	1,240	1,861	0,352	0,872

Complexo Bacajai - FB-144									
Composição da bióxida									
Porcentagem em peso de óxidos									
<i>C/(b)</i>	<i>C/(l)</i>	<i>C/(c)</i>	<i>C/(b)</i>	<i>C/(l)</i>	<i>C/(b)</i>	<i>C/(l)</i>	<i>C/(b)</i>	<i>C/(l)</i>	<i>C/(b)</i>
SiO <sub>2</sub>	35.552	35.558	35.853	35.315	35.075	35.315	35.534	35.534	35.570
TiO <sub>2</sub>	3.241	3.180	3.215	3.094	3.233	3.087	2.240	2.287	2.454
Al <sub>2</sub> O <sub>3</sub>	16.227	16.389	16.488	17.021	15.975	23.149	16.661	16.346	16.242
FeO	25.532	25.146	24.754	25.542	24.149	23.254	22.944	23.349	23.271
MnO	0.414	0.361	0.393	0.379	0.476	0.496	0.476	0.549	0.493
MgO	5.871	5.872	5.845	5.785	5.743	5.005	7.651	7.679	7.705
CaO	0.000	0.003	0.000	0.005	0.038	0.000	0.004	0.000	0.007
Na <sub>2</sub> O	0.027	0.016	0.037	0.033	0.017	0.028	0.025	0.019	0.041
K <sub>2</sub> O	9.475	9.476	9.436	9.549	9.361	9.20	9.585	9.473	9.365
Cl	0.028	0.030	0.027	0.024	0.030	0.002	0.000	0.003	0.003
F	0.186	0.126	0.037	0.104	0.206	0.024	0.146	0.196	0.056
Total	96.353	96.157	96.085	96.218	95.936		Total	95.561	95.366
Nome	Amita						Si	5.551	5.549
Fórmula estrutural									
Si	5.539	5.546	5.574	5.582	5.545		Al	2.434	2.449
Al	2.461	2.454	2.426	2.418	2.455			2.451	2.443
Al	0.518	0.559	0.595	0.686	0.501		Al	0.616	0.563
Ti	0.380	0.373	0.376	0.380	0.382		Ti	0.262	0.268
Fe(II)	3.226	3.280	3.218	3.125	3.354		Fe(II)	2.980	3.034
Mn	0.055	0.048	0.052	0.050	0.063		Mn	0.063	0.062
Mg	1.364	1.365	1.355	1.334	1.344		Mg	1.772	1.789
Ca	0.000	0.001	0.000	0.001	0.006		Ca	0.001	0.000
Na	0.008	0.005	0.011	0.010	0.005		Na	0.008	0.008
K	1.883	1.885	1.871	1.885	1.875		K	1.899	1.886
Cl	0.007	0.008	0.007	0.008	0.006		Cl	0.000	0.001
F	0.092	0.062	0.018	0.018	0.102		F	0.072	0.097
Total	15.534	15.516	15.477	15.450	15.531		Total	15.601	15.611

Complexo Bacajai - FB-150									
Composição da bióxida									
Porcentagem em peso de óxidos									
<i>C/(b)</i>	<i>C/(l)</i>	<i>C/(c)</i>	<i>C/(b)</i>	<i>C/(l)</i>	<i>C/(b)</i>	<i>C/(l)</i>	<i>C/(b)</i>	<i>C/(l)</i>	<i>C/(b)</i>
SiO <sub>2</sub>	35.198	35.500	35.876	35.628	35.808	35.727	35.492	35.737	35.951
TiO <sub>2</sub>	2.054	2.222	2.104	1.983	1.970	2.621	2.924	3.001	3.185
Al <sub>2</sub> O <sub>3</sub>	15.538	15.323	15.502	15.540	15.491	16.410	16.411	16.323	16.367
FeO	24.508	24.040	23.278	23.240	23.240	23.906	24.051	23.885	23.945
MnO	0.358	0.406	0.325	0.304	0.357	0.257	0.259	0.251	0.243
MgO	8.617	8.454	8.784	8.787	8.640	7.465	7.359	7.296	7.220
CaO	0.032	0.000	0.012	0.010	0.000	0.000	0.000	0.000	0.000
Na <sub>2</sub> O	0.064	0.056	0.087	0.076	0.075	0.027	0.038	0.030	0.025
K <sub>2</sub> O	8.803	9.265	9.400	9.485	9.377	9.396	9.558	9.398	9.466
Cl	0.062	0.057	0.057	0.056	0.058	0.060	0.059	0.064	0.066
F	0.065	0.217	0.226	0.138	0.116	0.458	0.270	0.367	0.323
Total	95.399	95.540	95.651	95.195	95.132		Total	96.092	96.412
Nome	Amita						Si	5.549	5.543
Fórmula estrutural									
Si	5.517	5.559	5.586	5.573	5.600		Al	2.476	2.497
Al	2.483	2.441	2.414	2.427	2.400			2.468	2.451
Al	0.387	0.387	0.430	0.438	0.455		Al	0.535	0.519
Ti	0.242	0.262	0.246	0.234	0.232		Ti	0.307	0.341
Fe(II)	3.212	3.148	3.031	3.032	3.039		Fe(II)	3.111	3.119
Mn	0.048	0.054	0.043	0.040	0.047		Mn	0.034	0.034
Mg	2.014	1.974	2.039	2.014	2.014		Mg	1.732	1.701
Ca	0.000	0.000	0.002	0.002	0.002		Ca	0.000	0.000
Na	0.019	0.017	0.026	0.023	0.023		Na	0.008	0.011
K	1.760	1.851	1.867	1.883	1.870		K	1.866	1.891
Cl	0.016	0.015	0.015	0.015	0.015		Cl	0.016	0.016
F	0.032	0.107	0.111	0.068	0.057		F	0.225	0.132
Total	15.687	15.692	15.685	15.711	15.680		Total	15.593	15.600

Suite Arapari - FB-155									
Composição da bióxida									
Porcentagem em peso de óxidos									
<i>C/(b)</i>	<i>C/(l)</i>	<i>C/(c)</i>	<i>C/(b)</i>	<i>C/(l)</i>	<i>C/(b)</i>	<i>C/(l)</i>	<i>C/(b)</i>	<i>C/(l)</i>	<i>C/(b)</i>
SiO <sub>2</sub>	35.727	35.492	35.772	35.492	35.727	35.737	35.727	35.737	35.951
TiO <sub>2</sub>	2.924	2.621	2.924	2.924	2.924	3.001	3.098	3.098	3.185
Al <sub>2</sub> O <sub>3</sub>	16.410	16.410	16.411	16.411	16.410	16.383	16.387	16.387	16.531
FeO	23.885	23.906	24.051	23.885	23.885	23.850	23.964	23.964	23.465
MnO	0.257	0.257	0.259	0.259	0.257	0.251	0.237	0.237	0.243
MgO	7.465	7.465	7.359	7.359	7.465	7.296	7.220	7.220	7.173
CaO	0.000	0.000	0.000	0.000	0.000	0.000	0.004	0.000	0.000
Na <sub>2</sub> O	0.027	0.027	0.038	0.038	0.030	0.029	0.040	0.040	0.049
K <sub>2</sub> O	9.396	9.396	9.558	9.558	9.396	9.398	9.466	9.466	9.531
Cl	0.060	0.060	0.059	0.059	0.064	0.059	0.056	0.056	0.066
F	0.072	0.072	0.097	0.097	0.037	0.037	0.036	0.036	0.031
Total	96.092	96.412	96.387	96.387	96.412	96.412	96.412	96.412	96.497
Nome	Amita						Si	5.543	5.546
Fórmula estrutural									
Si	5.524	5.503	5.540	5.540	5.532	5.549	5.549	5.543	5.546
Al	2.476	2.497	2.460	2.460	2.468	2.451	2.451	2.451	2.454
Al	0.535	0.502	0.519	0.519	0.521	0.482	0.482	0.482	0.482
Ti	0.307	0.341	0.350	0.350	0.361	0.361	0.361	0.361	0.370
Fe(II)	3.111	3.119	3.093	3.093	3.087	3.087	3.087	3.087	3.027
Mn	0.034	0.034	0.033	0.033	0.031	0.036	0.032	0.032	0.032
Mg	1.732	1.701	1.685	1.685	1.666	1.684	1.708	1.708	1.650
Ca	0.000	0.000	0.000	0.000	0.009	0.009	0.009	0.009	0.016
Na	0.008	0.011	0.009	0.009	0.009	0.012	0.008	0.008	0.016
K	1.866	1.891	1.857	1.857	1.869	1.886	1.884	1.884	1.873
Cl	0.016	0.016	0.017	0.017	0.015	0.015	0.017	0.017	0.016
F	0.225	0.132	0.180	0.180	0.178	0.158	0.174	0.174	0.156
Total	15.593	15.600	15.545	15.545	15.565	15.582	15.582	15.582	15.582

## Suite Arapari - FB-85

## Composição da biotita

## Porcentagem em peso de óxidos

	<i>C</i> ( <i>b</i> )	<i>C</i> ( <i>b</i> )	<i>C</i> ( <i>c</i> )	<i>C</i> ( <i>b</i> )	<i>C</i> ( <i>b</i> )
SiO <sub>2</sub>	36.730	36.997	37.010	37.249	
TiO <sub>2</sub>	3.162	2.894	2.600	1.753	
Al <sub>2</sub> O <sub>3</sub>	15.147	15.041	15.116	15.270	15.590
FeO	19.567	19.803	19.556	19.427	18.680
MnO	0.371	0.379	0.376	0.407	0.401
MgO	10.488	10.465	10.685	10.898	11.325
CaO	0.000	0.000	0.022	0.000	0.004
Na <sub>2</sub> O	0.036	0.043	0.031	0.029	0.031
K <sub>2</sub> O	9.449	9.576	9.564	9.559	9.596
Cl	0.022	0.026	0.023	0.021	0.020
F	0.334	0.307	0.098	0.258	0.210
Total	95.333	95.532	95.383	95.479	94.859
<b>Nome</b>	<b>Anita</b>				
<b>Fórmula estrutural</b>					
Si	5.633	5.658	5.658	5.702	
Al	2.367	2.342	2.342	2.298	
Total	15.559	15.583	15.581	15.601	15.628

## Suite Arapari - FB-146

## Composição da biotita

## Porcentagem em peso de óxidos

	<i>C</i> ( <i>b</i> )	<i>C</i> ( <i>b</i> )	<i>C</i> ( <i>c</i> )	<i>C</i> ( <i>b</i> )	<i>C</i> ( <i>b</i> )
SiO <sub>2</sub>	36.762	36.791	36.661	36.716	
TiO <sub>2</sub>	1.901	1.833	1.947	2.036	2.246
Al <sub>2</sub> O <sub>3</sub>	15.746	15.609	15.609	15.610	15.586
FeO	18.843	19.353	19.085	19.203	
MnO	0.484	0.445	0.457	0.448	0.464
MgO	11.423	11.549	11.398	11.173	
CaO	0.030	0.014	0.000	0.034	
Na <sub>2</sub> O	0.061	0.064	0.066	0.058	0.029
K <sub>2</sub> O	9.417	9.293	9.333	9.476	9.409
Cl	0.026	0.034	0.026	0.029	0.023
F	0.085	0.132	0.027	0.017	0.053
Total	94.880	94.766	95.146	94.818	94.936
<b>Nome</b>	<b>Anita</b>				
<b>Fórmula estrutural</b>					
Si	5.662	5.623	5.623	5.527	
Al	2.338	2.377	2.377	2.373	
Total	15.654	15.631	15.664	15.663	15.628

## Suite Arapari - FB-123

## Composição da biotita

## Porcentagem em peso de óxidos

	<i>C</i> ( <i>b</i> )	<i>C</i> ( <i>b</i> )	<i>C</i> ( <i>c</i> )	<i>C</i> ( <i>b</i> )	<i>C</i> ( <i>b</i> )
SiO <sub>2</sub>	36.730	36.997	37.010	37.249	
TiO <sub>2</sub>	3.162	2.894	2.600	1.753	
Al <sub>2</sub> O <sub>3</sub>	15.147	15.041	15.116	15.270	15.590
FeO	19.567	19.803	19.556	19.427	18.680
MnO	0.371	0.379	0.376	0.407	0.401
MgO	10.488	10.465	10.685	10.898	11.325
CaO	0.000	0.000	0.022	0.000	0.004
Na <sub>2</sub> O	0.036	0.043	0.031	0.029	0.031
K <sub>2</sub> O	9.449	9.576	9.564	9.559	9.596
Cl	0.022	0.026	0.023	0.021	0.020
F	0.334	0.307	0.098	0.258	0.210
Total	95.333	95.532	95.383	95.479	94.859
<b>Nome</b>	<b>Anita</b>				
<b>Fórmula estrutural</b>					
Si	5.584	5.593	5.593	5.603	5.611
Al	2.416	2.407	2.397	2.389	2.382
Total	15.597	15.621	15.632	15.642	15.623

## Suite João Jorge I - FB-13

## Composição da biotita

## Porcentagem em peso de óxidos

	<i>C</i> ( <i>b</i> )	<i>C</i> ( <i>b</i> )	<i>C</i> ( <i>c</i> )	<i>C</i> ( <i>b</i> )	<i>C</i> ( <i>b</i> )
SiO <sub>2</sub>	36.780	36.916	36.880	36.231	35.086
TiO <sub>2</sub>	2.547	2.643	2.573	2.557	2.541
Al <sub>2</sub> O <sub>3</sub>	15.604	15.386	15.643	15.765	15.704
FeO	24.345	23.865	24.377	23.996	24.666
MnO	0.227	0.196	0.235	0.207	0.242
MgO	7.372	7.531	7.443	7.325	7.646
CaO	0.008	0.010	0.001	0.000	0.000
Na <sub>2</sub> O	0.026	0.019	0.015	0.013	0.012
K <sub>2</sub> O	9.431	9.333	9.353	9.440	9.394
Cl	0.108	0.094	0.098	0.102	0.069
F	0.582	0.589	0.630	0.476	0.200
Total	15.592	15.633	15.642	15.623	15.625
<b>Nome</b>	<b>Anita</b>				
<b>Fórmula estrutural</b>					
Si	5.627	5.628	5.596	5.603	5.610
Al	2.373	2.376	2.404	2.372	2.477
Total	15.570	15.567	15.590	15.547	15.569

	<i>C</i> ( <i>b</i> )	<i>C</i> ( <i>b</i> )	<i>C</i> ( <i>c</i> )	<i>C</i> ( <i>b</i> )	<i>C</i> ( <i>b</i> )
SiO <sub>2</sub>	36.780	36.916	36.880	36.231	35.086
TiO <sub>2</sub>	2.547	2.643	2.573	2.557	2.541
Al <sub>2</sub> O <sub>3</sub>	15.604	15.386	15.643	15.765	15.704
FeO	24.345	23.865	24.377	23.996	24.666
MnO	0.227	0.196	0.235	0.207	0.242
MgO	7.372	7.531	7.443	7.325	7.646
CaO	0.008	0.010	0.001	0.000	0.000
Na <sub>2</sub> O	0.026	0.019	0.015	0.013	0.012
K <sub>2</sub> O	9.431	9.333	9.353	9.440	9.394
Cl	0.108	0.094	0.098	0.102	0.069
F	0.582	0.589	0.630	0.476	0.200
Total	15.592	15.621	15.632	15.642	15.623
<b>Nome</b>	<b>Anita</b>				
<b>Fórmula estrutural</b>					
Si	5.627	5.628	5.596	5.603	5.614
Al	2.373	2.376	2.404	2.391	2.387
Total	15.570	15.567	15.590	15.547	15.569

Suite João Jorge I - FB-44

Composição da biotita

Porcentagem em peso de óxidos

	<i>C</i> ( <i>b</i> )	<i>C</i> ( <i>I</i> )	<i>C</i> ( <i>C</i> )	<i>C</i> ( <i>I</i> )	<i>C</i> ( <i>b</i> )
SiO <sub>2</sub>	37.349	37.688	37.321	37.524	
TiO <sub>2</sub>	2.113	2.246	2.306	2.250	
Al <sub>2</sub> O <sub>3</sub>	15.636	15.732	15.794	16.025	
FeO	19.312	19.227	19.091	19.111	
MnO	0.520	0.573	0.520	0.555	0.523
MgO	10.580	10.488	10.347	10.438	10.169
CaO	0.000	0.000	0.000	0.000	0.000
Na <sub>2</sub> O	0.034	0.057	0.050	0.043	0.029
K <sub>2</sub> O	9.507	9.503	9.634	9.669	9.572
Cl	0.045	0.046	0.046	0.036	0.040
F	0.885	0.958	0.928	0.829	0.802
Total	96.085	96.204	96.480	96.265	96.145
<b>Nome</b>	Anita				

Suite João Jorge I - FB-47

Composição da biotita

Porcentagem em peso de óxidos

	<i>C</i> ( <i>b</i> )	<i>C</i> ( <i>I</i> )	<i>C</i> ( <i>C</i> )	<i>C</i> ( <i>I</i> )	<i>C</i> ( <i>b</i> )
Al	0.535	0.528	0.551	0.546	0.579
Ti	0.232	0.243	0.257	0.264	0.269
Fe(II)	2.463	2.473	2.442	2.429	2.430
Mn	0.067	0.074	0.067	0.069	0.067
Mg	2.405	2.386	2.343	2.367	2.306
Ca	0.000	0.000	0.000	0.000	0.000
Na	0.010	0.017	0.015	0.013	0.009
K	1.849	1.850	1.866	1.876	1.857
Cl	0.012	0.012	0.012	0.009	0.010
F	0.427	0.462	0.446	0.399	0.386
Total	15.562	15.571	15.540	15.564	15.516
<b>Nome</b>	Anita				

Suite João Jorge I - FB-147

Composição da biotita

Porcentagem em peso de óxidos

	<i>C</i> ( <i>b</i> )	<i>C</i> ( <i>I</i> )	<i>C</i> ( <i>C</i> )	<i>C</i> ( <i>I</i> )	<i>C</i> ( <i>b</i> )
SiO <sub>2</sub>	37.133	37.366	37.218	37.445	37.079
TiO <sub>2</sub>	4.472	4.268	4.154	4.226	4.975
Al <sub>2</sub> O <sub>3</sub>	13.937	13.958	13.847	13.752	13.797
FeO	16.047	17.743	16.303	16.474	16.648
MnO	0.253	0.213	0.251	0.234	0.257
MgO	13.343	13.858	13.945	14.009	13.995
CaO	0.032	0.007	0.016	0.013	0.008
Na <sub>2</sub> O	0.059	0.077	0.059	0.033	0.056
K <sub>2</sub> O	9.518	9.514	9.248	9.285	9.172
Cl	0.100	0.101	0.097	0.079	0.089
F	0.650	0.903	0.707	0.583	0.763
Total	96.227	95.977	96.127	95.814	96.123
<b>Nome</b>	Anita				

Suite João Jorge I - FB-131

Composição da biotita

Porcentagem em peso de óxidos

	<i>C</i> ( <i>b</i> )	<i>C</i> ( <i>I</i> )	<i>C</i> ( <i>C</i> )	<i>C</i> ( <i>I</i> )	<i>C</i> ( <i>b</i> )
SiO <sub>2</sub>	37.528	37.133	37.366	37.445	37.305
TiO <sub>2</sub>	5.230	4.472	4.268	4.154	4.226
Al <sub>2</sub> O <sub>3</sub>	13.937	13.958	13.847	13.752	13.797
FeO	16.047	17.743	16.303	16.474	16.648
MnO	0.253	0.213	0.251	0.234	0.257
MgO	13.343	13.858	13.945	14.009	13.995
CaO	0.032	0.007	0.016	0.013	0.008
Na <sub>2</sub> O	0.059	0.077	0.059	0.033	0.056
K <sub>2</sub> O	9.518	9.514	9.248	9.285	9.172
Cl	0.100	0.101	0.097	0.079	0.089
F	0.650	0.903	0.707	0.583	0.763
Total	96.026	95.814	96.123	95.531	96.244
<b>Nome</b>	Anita				

Suite João Jorge I - FB-144

Composição da biotita

Porcentagem em peso de óxidos

	<i>C</i> ( <i>b</i> )	<i>C</i> ( <i>I</i> )	<i>C</i> ( <i>C</i> )	<i>C</i> ( <i>I</i> )	<i>C</i> ( <i>b</i> )
SiO <sub>2</sub>	37.528	37.133	37.366	37.445	37.305
TiO <sub>2</sub>	5.230	4.472	4.268	4.154	4.226
Al <sub>2</sub> O <sub>3</sub>	13.937	13.958	13.847	13.752	13.797
FeO	16.047	17.743	16.303	16.474	16.648
MnO	0.253	0.213	0.251	0.234	0.257
MgO	13.343	13.858	13.945	14.009	13.995
CaO	0.032	0.007	0.016	0.013	0.008
Na <sub>2</sub> O	0.059	0.077	0.059	0.033	0.056
K <sub>2</sub> O	9.518	9.514	9.248	9.285	9.172
Cl	0.100	0.101	0.097	0.079	0.089
F	0.650	0.903	0.707	0.583	0.763
Total	96.026	95.814	96.123	95.531	96.244
<b>Nome</b>	Anita				

Suite João Jorge I - FB-147

Composição da biotita

Porcentagem em peso de óxidos

	<i>C</i> ( <i>b</i> )	<i>C</i> ( <i>I</i> )	<i>C</i> ( <i>C</i> )	<i>C</i> ( <i>I</i> )	<i>C</i> ( <i>b</i> )
SiO <sub>2</sub>	37.528	37.133	37.366	37.445	37.305
TiO <sub>2</sub>	5.230	4.472	4.268	4.154	4.226
Al <sub>2</sub> O <sub>3</sub>	13.937	13.958	13.847	13.752	13.797
FeO	16.047	17.743	16.303	16.474	16.648
MnO	0.253	0.213	0.251	0.234	0.257
MgO	13.343	13.858	13.945	14.009	13.995
CaO	0.032	0.007	0.016	0.013	0.008
Na <sub>2</sub> O	0.059	0.077	0.059	0.033	0.056
K <sub>2</sub> O	9.518	9.514	9.248	9.285	9.172
Cl	0.100	0.101	0.097	0.079	0.089
F	0.650	0.903	0.707	0.583	0.763
Total	96.026	95.814	96.123	95.531	96.244
<b>Nome</b>	Anita				

Suite João Jorge I - FB-131

Composição da biotita

Porcentagem em peso de óxidos

	<i>C</i> ( <i>b</i> )	<i>C</i> ( <i>I</i> )	<i>C</i> ( <i>C</i> )	<i>C</i> ( <i>I</i> )	<i>C</i> ( <i>b</i> )
SiO <sub>2</sub>	37.528	37.133	37.366	37.445	37.305
TiO <sub>2</sub>	5.230	4.472	4.268	4.154	4.226
Al <sub>2</sub> O <sub>3</sub>	13.937	13.958	13.847	13.752	13.797
FeO	16.047	17.743	16.303	16.474	16.648
MnO	0.253	0.213	0.251	0.234	0.257
MgO	13.343	13.858	13.945	14.009	13.995
CaO	0.032	0.007	0.016	0.013	0.008
Na <sub>2</sub> O	0.059	0.077	0.059	0.033	0.056
K <sub>2</sub> O	9.518	9.514	9.248	9.285	9.172
Cl	0.100	0.101	0.097	0.079	0.089
F	0.650	0.903	0.707	0.583	0.763
Total	96.026	95.814	96.123	95.531	96.244
<b>Nome</b>	Anita				

Suite João Jorge I - FB-144

Composição da biotita

Porcentagem em peso de óxidos

	<i>C</i> ( <i>b</i> )	<i>C</i> ( <i>I</i> )	<i>C</i> ( <i>C</i> )	<i>C</i> ( <i>I</i> )	<i>C</i> ( <i>b</i> )
SiO <sub>2</sub>	37.528	37.133	37.366	37.445	37.305
TiO <sub>2</sub>	5.230	4.472	4.268	4.154	4.226
Al <sub>2</sub> O <sub>3</sub>	13.937	13.958	13.847	13.752	13.797
FeO	16.047	17.743	16.303	16.474	16.648
MnO	0.253	0.213	0.251	0.234	0.257
MgO	13.343	13.858	13.945	14.009	13.995
CaO	0.032	0.007	0.016	0.013	0.008
Na <sub>2</sub> O	0.059	0.077	0.059	0.033	0.056
K <sub>2</sub> O	9.518	9.514	9.248	9.285	9.172
Cl	0.100	0.101	0.097	0.079	0.089
F	0.650	0.903	0.707	0.583	0.763
Total	96.026	95.814	96.123	95.531	96.244
<b>Nome</b>	Anita				

Suite João Jorge I - FB-147

Composição da biotita

Porcentagem em peso de óxidos

	*C*(*b*)	*C*(*I*)	*C*(*C*)	*C*(*I*)	*C*(*b*)




<tbl\_r cells="6" ix="4" maxcspan="1" maxrspan="1" usedcols="

## Complexo Bacelar - FB-150

## Composição do anfíbolito

Porcentagem em peso de óxidos

	C1(b)	C1(i)	C1(c)	C1(b)	C1(i)	C1(b)	C1(i)	C1(b)	C1(i)	C1(b)	C1(i)	C2(b)	C2(i)	C2(b)	C2(i)
SiO <sub>2</sub>	41.571	41.905	42.188	41.846	41.766	40.642	41.990	41.346	40.636	40.986	41.671	41.100	41.336		
TiO <sub>2</sub>	1.019	0.800	0.979	1.565	1.065	1.173	1.496	0.586	0.895	1.232	0.730	0.762			
Al <sub>2</sub> O <sub>3</sub>	10.593	10.093	11.527	10.379	10.123	10.308	11.829	11.297	10.536	11.126	11.199				
Cr <sub>2</sub> O <sub>3</sub>	0.033	0.000	0.045	0.000	0.009	0.025	0.007	0.000	0.000	0.008	0.000	0.022	0.000		
FeO	23.024	22.866	22.610	22.147	22.650	23.701	22.590	22.792	23.496	23.290	22.764	23.114	23.181		
MnO	0.470	0.439	0.493	0.492	0.550	0.518	0.470	0.551	0.516	0.485	0.475	0.513	0.477		
MgO	6.593	6.881	7.028	6.959	6.944	6.048	7.039	5.948	6.230	6.521	6.399	6.397			
CaO	11.019	10.979	11.020	11.036	10.875	10.876	10.834	10.824	10.952	11.029	10.802	10.889	10.806		
Na <sub>2</sub> O	1.181	1.164	1.168	1.183	1.194	1.295	1.163	1.257	1.145	1.187	1.252	1.192	1.160		
K <sub>2</sub> O	1.238	1.253	1.182	1.352	1.311	1.255	1.443	1.358	1.259	1.279	1.262				
Total	96.861	96.880	96.806	98.495	96.783	97.132	96.644	96.588	96.401	96.765	96.582	96.344	96.580		
<b>Nome</b> Fe-ischnemakita															
Fórmula estrutural															
Si	6.398	6.429	6.479	6.476	6.418	6.266	6.453	6.403	6.291	6.332	6.436	6.355	6.365		
Al	1.602	1.571	1.521	1.524	1.582	1.734	1.547	1.597	1.709	1.668	1.564	1.645	1.635		
Al	0.341	0.344	0.305	0.282	0.298	0.360	0.287	0.285	0.450	0.388	0.353	0.382	0.397		
Fe(III)	0.792	0.843	0.790	0.595	0.843	0.850	0.828	0.709	0.891	0.797	0.713	0.881	0.903		
Ti	0.118	0.092	0.113	0.182	0.123	0.123	0.136	0.174	0.068	0.104	0.143	0.085	0.088		
Cr	0.004	0.000	0.005	0.000	0.001	0.003	0.001	0.000	0.001	0.000	0.003	0.000	0.000		
Fe(II)	2.090	2.090	2.124	2.271	2.072	2.075	2.075	2.151	2.211	2.227	2.108	2.081			
Mn	0.061	0.057	0.064	0.064	0.072	0.068	0.061	0.072	0.068	0.063	0.062	0.067	0.062		
Mg	1.513	1.574	1.609	1.605	1.591	1.390	1.613	1.517	1.373	1.435	1.501	1.475	1.468		
Ca	1.852	1.804	1.813	1.830	1.790	1.796	1.784	1.796	1.825	1.787	1.800	1.782			
Na	0.352	0.346	0.348	0.355	0.356	0.387	0.347	0.377	0.344	0.355	0.375	0.357	0.346		
K	0.243	0.245	0.232	0.269	0.257	0.294	0.246	0.285	0.255	0.268	0.262	0.252	0.248		
Total	15.412	15.396	15.392	15.453	15.403	15.477	15.376	15.458	15.416	15.448	15.424	15.410	15.377		

## Sulfe Arapari - FB-85

## Composição do anfíbolito

	C1(b)	C1(i)	C1(c)	C1(b)	C1(i)	C1(b)	C1(i)	C1(b)	C1(i)	C1(b)	C1(i)	C2(b)	C2(i)	C2(b)	C2(i)
SiO <sub>2</sub>	43.479	43.015	45.566	44.248	45.428	45.016	44.168	43.479	44.326	43.798	43.593	43.610	43.955		
TiO <sub>2</sub>	0.847	0.891	0.836	1.075	0.790	0.651	0.837	0.844	0.740	0.898	0.910	0.840	0.679		
Al <sub>2</sub> O <sub>3</sub>	9.700	9.564	9.74	7.863	9.027	8.419	8.625	9.365	9.435	9.116	9.277	9.390	9.216	9.095	
Cr <sub>2</sub> O <sub>3</sub>	0.000	0.031	0.020	0.002	0.000	0.010	0.007	0.037	0.009	0.000	0.025	0.020	0.041	0.070	
FeO	18.945	18.758	18.188	17.561	18.491	17.574	18.304	18.784	19.054	18.658	18.626	18.629	18.692		
MnO	0.513	0.546	0.571	0.569	0.571	0.560	0.544	0.551	0.532	0.488	0.537	0.520	0.493		
MgO	9.747	9.863	10.718	10.862	10.290	10.611	10.384	9.867	9.783	9.636	9.710	9.855	9.946	9.730	
CaO	11.032	11.004	10.781	11.026	10.746	11.072	10.942	11.059	10.938	10.939	10.920	10.917	11.008	11.160	
Na <sub>2</sub> O	1.416	1.416	1.393	1.362	1.154	1.377	1.377	1.296	1.253	1.286	1.343	1.288	1.218		
K <sub>2</sub> O	1.154	1.106	1.050	0.865	0.987	0.859	0.913	1.067	1.107	0.980	1.024	1.117	1.059	1.013	
Total	96.395	96.658	96.120	96.479	96.525	96.317	96.538	96.801	96.357	96.586	96.084	96.287	96.157	96.105	
<b>Nome</b> Mg-hornblendita															
Fórmula estrutural															
Si	6.520	6.550	6.749	6.813	6.630	6.797	6.731	6.634	6.571	6.671	6.627	6.585	6.594	6.660	
Al	1.480	1.450	1.251	1.187	1.370	1.203	1.269	1.366	1.429	1.329	1.373	1.415	1.406	1.340	
Al	0.247	0.248	0.158	0.198	0.224	0.281	0.251	0.291	0.251	0.288	0.281	0.256	0.236	0.285	
Fe(III)	0.858	0.819	0.949	0.715	0.930	0.740	0.861	0.741	0.814	0.789	0.769	0.808	0.827	0.715	
Ti	0.096	0.101	0.094	0.121	0.089	0.080	0.073	0.095	0.084	0.102	0.103	0.096	0.077		
Cr	0.000	0.004	0.002	0.000	0.000	0.001	0.001	0.004	0.001	0.000	0.003	0.005	0.008		
Fe(II)	1.537	1.544	1.331	1.480	1.386	1.459	1.428	1.591	1.609	1.592	1.542	1.529	1.653		
Mn	0.066	0.070	0.069	0.064	0.072	0.072	0.071	0.069	0.071	0.068	0.063	0.069	0.067	0.063	
Mg	2.216	2.316	2.421	2.298	2.367	2.315	2.209	2.204	2.162	2.190	2.219	2.198			
Ca	1.786	1.776	1.752	1.766	1.725	1.775	1.753	1.779	1.771	1.764	1.770	1.767	1.783	1.812	
Na	0.388	0.414	0.289	0.335	0.400	0.308	0.329	0.377	0.409	0.366	0.377	0.393	0.378	0.358	
K	0.222	0.213	0.201	0.185	0.189	0.164	0.174	0.204	0.213	0.190	0.198	0.215	0.204	0.196	
Total	15.397	15.402	15.221	15.266	15.314	15.247	15.256	15.361	15.394	15.320	15.345	15.375	15.365	15.365	

## Suite Arapari - FB-123

## Composição do anfíbolito

## Porcentagem em peso de óxidos

	C1(b)	C1(l)	C1(c)	C1(i)
SiO <sub>2</sub>	41.361	41.395	41.655	41.256
TiO <sub>2</sub>	0.845	0.936	0.882	0.759
Al <sub>2</sub> O <sub>3</sub>	10.446	10.500	10.211	10.588
Cr <sub>2</sub> O <sub>3</sub>	0.010	0.049	0.039	0.095
FeO	23.040	22.822	22.586	23.124
MnO	0.491	0.424	0.485	0.496
MgO	6.867	6.924	7.136	6.828
CaO	10.874	10.765	10.923	10.881
Na <sub>2</sub> O	1.387	1.379	1.272	1.281
K <sub>2</sub> O	1.304	1.355	1.366	1.383
Total	96.625	96.549	96.565	96.691

## Nome Fe-tschemakita

## Fórmula estrutural

Si	6.383	6.385	6.422	6.361
Al	1.617	1.615	1.578	1.639

## Composição do anfíbolito

## Porcentagem em peso de óxidos

	C1(b)	C1(l)	C1(c)	C1(i)
SiO <sub>2</sub>	43.687	44.504	44.341	43.103
TiO <sub>2</sub>	1.079	1.129	1.149	1.046
Al <sub>2</sub> O <sub>3</sub>	9.406	8.717	8.806	9.778
Cr <sub>2</sub> O <sub>3</sub>	0.000	0.000	0.000	0.030
FeO	19.007	18.577	18.323	19.720
MnO	0.632	0.605	0.604	0.575
MgO	9.668	10.220	10.158	9.656
CaO	11.151	10.974	11.255	11.011
Na <sub>2</sub> O	1.208	1.261	1.264	1.348
K <sub>2</sub> O	1.087	1.033	1.042	1.173
Total	96.944	96.923	96.778	97.038

## Nome Mg-hornblendita

## Fórmula estrutural

Si	6.658	6.660	6.497	6.435
Al	1.342	1.340	1.503	1.565

## Composição do anfíbolito

## Porcentagem em peso de óxidos

	C1(b)	C1(l)	C1(c)	C1(i)	C1(b)	C1(l)	C1(c)	C1(i)	C2(b)	C2(l)	C2(c)	C2(i)	C2(b)
SiO <sub>2</sub>	43.704	44.504	44.341	43.103	42.743	43.365	43.251	44.430	43.189	42.501	42.794	42.599	42.927
TiO <sub>2</sub>	1.079	1.129	1.149	1.046	1.186	1.199	1.199	1.199	0.924	0.996	1.023	1.023	1.096
Al <sub>2</sub> O <sub>3</sub>	9.406	8.717	8.806	9.778	10.233	9.641	9.628	8.853	9.795	10.276	10.095	9.938	10.097
Cr <sub>2</sub> O <sub>3</sub>	0.000	0.000	0.000	0.030	0.021	0.059	0.000	0.000	0.016	0.000	0.033	0.033	0.029
FeO	19.007	18.577	18.323	19.720	18.983	19.228	18.317	18.737	19.351	19.272	19.361	19.168	19.292
MnO	0.632	0.605	0.604	0.575	0.675	0.691	0.687	0.687	0.687	0.683	0.618	0.579	0.671
MgO	9.668	10.220	10.158	9.656	9.233	9.629	9.427	10.233	9.627	9.163	9.265	9.245	9.117
CaO	11.151	10.974	11.255	11.011	10.889	10.837	10.982	11.004	10.929	10.874	11.136	11.083	10.942
Na <sub>2</sub> O	1.208	1.261	1.264	1.348	1.209	1.261	1.267	1.252	1.382	1.223	1.258	1.268	1.320
K <sub>2</sub> O	1.087	1.033	1.042	1.173	1.261	1.155	1.178	1.040	1.174	1.244	1.177	1.194	1.216
Total	96.944	96.923	96.778	97.038	96.724	96.794	97.003	96.883	96.259	96.556	96.358	96.554	96.281

## Nome Mg-hornblendita

## Fórmula estrutural

Si	6.576	6.660	6.497	6.435
Al	1.424	1.342	1.340	1.503

**Suite João Jorge I - FB-131**  
**Composicão do anfíbio**

Suite João Jorge II - FB-20  
Composição do anfílio

Sítio João Jorge - FB-39

Composições do anfíbio

Composição do ambers									
Porcentagem em peso de óxidos									
	C1(b)	C1(i)	C1(c)	C1(j)	C1(b)	C2(b)	C2(i)	C2(c)	C2(b)
SiO <sub>2</sub>	50,528	50,012	51,779	51,277	49,583	49,220	50,512	50,903	50,841
TiO <sub>2</sub>	0,551	0,548	0,414	0,463	0,625	0,669	0,613	0,565	0,422
Al <sub>2</sub> O <sub>3</sub>	4,346	4,643	3,234	3,647	4,719	5,155	4,432	4,417	4,215
Cr <sub>2</sub> O <sub>3</sub>	0,000	0,000	0,031	0,004	0,016	0,065	0,019	0,014	0,000
FeO	13,612	14,884	13,031	13,409	14,015	14,245	14,195	13,545	14,072
MnO	0,461	0,574	0,491	0,481	0,500	0,455	0,438	0,456	0,501
MgO	14,614	13,643	15,264	14,984	14,398	14,210	14,567	15,008	14,560
CaO	11,299	11,135	11,288	11,006	11,052	11,000	11,097	10,974	10,951
Na <sub>2</sub> O	0,988	1,009	0,871	1,146	1,229	1,354	1,216	1,177	1,171
K <sub>2</sub> O	0,538	0,586	0,368	0,467	0,623	0,652	0,518	0,514	0,489
Total	96,937	97,034	96,771	96,884	96,760	97,025	97,607	97,302	97,284
NAME	Mg-hornblenda								
Fórmula estrutural									
Si	7,329	7,291	7,480	7,416	7,223	7,163	7,283	7,346	7,358
Al	0,671	0,709	0,520	0,584	0,777	0,837	0,717	0,654	0,642
Al	0,072	0,089	0,030	0,038	0,047	0,036	0,033	0,063	0,091
Fe(III)	0,590	0,627	0,591	0,627	0,691	0,703	0,684	0,753	0,696
Ti	0,060	0,060	0,045	0,050	0,068	0,073	0,066	0,061	0,046
Cr	0,000	0,000	0,004	0,000	0,002	0,007	0,002	0,000	0,000
Fe(II)	1,061	1,188	0,983	0,995	1,016	1,030	1,028	0,876	1,002
Mn	0,057	0,071	0,060	0,059	0,062	0,056	0,053	0,056	0,061
Mg	3,160	2,965	3,287	3,231	3,127	3,083	3,131	3,219	3,132
Ca	1,756	1,739	1,747	1,705	1,725	1,715	1,714	1,691	1,702
Na	0,278	0,285	0,244	0,321	0,347	0,382	0,340	0,328	0,328
K	0,100	0,109	0,068	0,086	0,116	0,121	0,095	0,094	0,090
Total	15,133	15,133	15,059	15,113	15,188	15,218	15,149	15,114	15,105
	Actinolita								
	Mg-hornblendita								
Si	7,329	7,291	7,480	7,416	7,223	7,163	7,283	7,346	7,358
Al	0,671	0,709	0,520	0,584	0,777	0,837	0,717	0,654	0,642
Al	0,072	0,089	0,030	0,038	0,047	0,036	0,033	0,063	0,091
Fe(III)	0,590	0,627	0,591	0,627	0,691	0,703	0,684	0,753	0,696
Ti	0,060	0,060	0,045	0,050	0,068	0,073	0,066	0,061	0,054
Cr	0,000	0,000	0,004	0,000	0,002	0,007	0,002	0,000	0,000
Fe(II)	1,061	1,188	0,983	0,995	1,016	1,030	1,028	0,876	1,002
Mn	0,057	0,071	0,060	0,059	0,062	0,056	0,053	0,056	0,061
Mg	3,160	2,965	3,287	3,231	3,127	3,083	3,131	3,219	3,132
Ca	1,756	1,739	1,747	1,705	1,725	1,715	1,714	1,691	1,702
Na	0,278	0,285	0,244	0,321	0,347	0,382	0,340	0,328	0,328
K	0,100	0,109	0,068	0,086	0,116	0,121	0,095	0,094	0,090
Total	15,133	15,133	15,059	15,113	15,188	15,218	15,149	15,114	15,105
	Actinolita								
	Actinolita								
Si	7,329	7,291	7,480	7,416	7,223	7,163	7,283	7,346	7,358
Al	0,671	0,709	0,520	0,584	0,777	0,837	0,717	0,654	0,642
Al	0,072	0,089	0,030	0,038	0,047	0,036	0,033	0,063	0,091
Fe(III)	0,590	0,627	0,591	0,627	0,691	0,703	0,684	0,753	0,696
Ti	0,060	0,060	0,045	0,050	0,068	0,073	0,066	0,061	0,054
Cr	0,000	0,000	0,004	0,000	0,002	0,007	0,002	0,000	0,000
Fe(II)	1,061	1,188	0,983	0,995	1,016	1,030	1,028	0,876	1,002
Mn	0,057	0,071	0,060	0,059	0,062	0,056	0,053	0,056	0,061
Mg	3,160	2,965	3,287	3,231	3,127	3,083	3,131	3,219	3,132
Ca	1,756	1,739	1,747	1,705	1,725	1,715	1,714	1,691	1,702
Na	0,278	0,285	0,244	0,321	0,347	0,382	0,340	0,328	0,328
K	0,100	0,109	0,068	0,086	0,116	0,121	0,095	0,094	0,090
Total	15,133	15,133	15,059	15,113	15,188	15,218	15,149	15,114	15,105